



Vyšeká škola strojní a textilní v Liberci  
Hálkova 6  
Katedra částí strojů

ÚNAVOVÁ PEVNOST CHEMICKOTEPELNĚ POVRCHOVĚ  
TVRZENÝCH OZUBENÝCH KOL

(Kandidátská disertační práce)

Aspirant: Ing. Nguyen van Phuc

Školitel: Prof. Ing. Oldřich Meduna  
nositel řádu práce

Autorské právo se řídí směrnicí MŠK pro výrobu  
závěratné sbírky č. j. 31/727/62-III/2 ze dne  
13. července 1962. Výrobk MŠK III, seřízení ze dne  
31.8.1962 § 19 autorécké zákon č 115/53 Z.

u 60 /1973

VYSOKÁ ŠKOLA STROJNÍ A TEXTILNÍ

Ustřední výbor výroby

LIBEREC 1, STUDENTSKÁ 6

Práce ukončena v červnu 1973

## 1. Úvod

Představou chemickotepelného zpracování je difusní zpracování povrchových vrstev ocelových součástí při zvýšené teplotě některým prvkem, který jim dodává důležité vlastnosti, zvláště tvrdost, edelnost proti opeřebení a únavě nebo edelnost proti korezi. Nejběžnější je sycení povrchu uhlíkem, dusíkem nebo jejich kombinacemi, kterými se dosahuje hlavně zvýšené tvrdosti a edelnosti proti opeřebení.

Chemickotepelné zpracování se provádí v prostředí s vysokou koncentrací příslušného prvku. Obecně to mohou být látky plynné nebo kapalné, které jsou schopny disociaci uvelňovat ve styku se žhavým povrchem prvek v atomárním, difuse scherném stavu.

Cementování není jediným prostředkem ke zvyšování povrchové tvrdosti strojních součástí. Snelu s nitridováním tvoří dvojici způsobů chemickotepelného zpracování, které difusí tvoří na povrchu součástí vrstvy velké tvrdosti, jež jsou uloženy na měkkém jádře.

Cementování má proti nitridování některé technické nedostatky. Nitridované vrstvy vynikají větší tvrdostí, větší edelností proti etéru, proti zvýšené teplotě a zadření i proti únavě za koreze. Nitridované součásti jako celek podléhají menším deformacím, protože u nich odpadá kalení a součásti se ohřívají na nízkou teplotu a v noci nemají chladneu. Cementování však má i některé technické výhody. Vrstvy jsou houževnatější a houževnatost se dá neporušením zvyšovat. Cementované součástky jako celek se dají snadněji

zpracovávat, a i když se více deformují, jsou houzevnatější a mohou se lépe vyrovnávat. Cementování má, jak jsme poznali, i přednosti technologického rázu. V celé této práci je poukázáno na mněhostrannost cementování, k němuž dospíváme nejrůznějšími postupy. Zařízení pro cementování bývá často jednodušší. U cementování byla úspěšně vyřešena nlynulá výroba v kontinuálních pecích. Cementování je také rychlejší, zejména při použití vyšších teplot, a lze při něm bez obtíží dosahovat vrstev velmi rezistantní tloušťky. Práce se součásti před cementováním nemusejí brusit a po cementování se mohou důdatečně obroušovat, takže výrobní náklady jsou nižší.

Nelza však přehlížet i technologické přednosti nitridování. I když zařízení pro ně je složitější, no chod je velmi jednoduchý a spolehlivý, přesně ředitelný. Výhodné je, že po nitridování odpadá další tepelné zpracování. Nitridování dnes již není úzkostlivě vázáno na jeden druh oceli; může se při něm používat i jiných druhů slitinových ocelí, podle toho, jaký cíl se jím sleduje - zda zvýšení tvrdosti nebo zlepšení odolnosti proti únavě nebo proti korezi.

Není pechyb o tom, že nitridování je nákladnější než hospodárné prováděné cementování. K nitridování se hodí pouze slitinové oceli, kdežto cementováním lze i obyčejné uhlíkové oceli dát vynikající vlastnosti. Uvážme-li, že při nitridování není zapotřebí tepelného zpracování a že součásti jsou neobyčejně trvanlivé, vidíme, že i hospodářsky může nitridování s cementováním soutěžit. "Elze tedy eba základní postupy chemické tepelného zpracování srovnávat a dávat jednomu nebo druhému z nich přednost,

protože každý má své výhody i nevýhody; rozhodující je účel.

Při výrobě ozubených kol v různých státech bylo mnohemkrát prokázáno, že mají nadříji na úspěšné zpracování, především ty způsoby chemicko-tepelného zpracování, které při příznivé únosnosti umožňují vypustit konečné broušení ozubení. K této nestupu náleží klasický způsob nitridace v plyně i nový postup, kterým je nízkotemperaturní karbenitridace. Vyšší únosnost nitridovaných kol, jak je prokázána v práci /1/, je nesrovnaným kladem stejně jako je výhodou jednoduchost a spolehlivost téhoto procesu. Nejdůležitějším nedostatkem je jeho vyšší časová náročnost a s tím spojené vysoké náklady na zpracování viz tab. 1.

Nízkotemperaturní karbenitridace je proces chemicko-tepelného zpracování, při kterém dochází ke komplexnímu sycení povrchu dusíkem a uhlíkem za teplotu kolem  $600^{\circ}\text{C}$ . Nízkotemperaturní karbenitridace umožňuje při příznivých vlastnostech velice podstatně zkrátit dobu sycení až na 2 - 4 hod. Přesto všechny průmyslově vyspělé země se intenzivně zajímají o tento postup. Karbenitridace v lánzi, která byla v odborné literatuře propagována především skupinou odborníků sdružujících se západoněmeckým nadnikem DEGUSSA v r. 1960. Na několika místech se zabývají vývojem karbenitridace v plyně. Sycení v plyně má řadu výhod, z nichž je nutné zejména jmenovat možnost průběžného řízení procesu a dále hledisko zdravotní. Tato technologie byla v ČSSR realizována v SVÚM Praha B. Přenosilem /2/. Účelem této práce je získat údaje o vhodnosti téhoto nového postupu pro aplikaci na ozubená kola.

V případě ozubených kol se jedná o velice speciální vědmínky kombinovaného namáhání. Sledujeme-li zejména únosnost ozubených kol při kontaktním namáhání, prakticky nemůžeme vycházet z výsledků získaných na standardních jednoduchých vzorcích hladkých nebo s vrubem. Přesnější odněvěd v tomto směru mohou dát především nečlivé experimenty získané při běhu ozubených kol v přímém záběru. Karbenitridace v lázni byla vyvíjena y NSR a ihned vzbudila veliký zájem, zejména pro svou ekonomickou výhodnost. Experimentální výzkumy Niemannova a Rettiga /3/, /4/ prokázaly, že v lázni karbenitridovaná ozubená kola mají velice příznivé hodnoty únosnosti. Příslušné hodnoty činí 46 - 70 % únosnosti cementovaných kol a vyšší o 50 - 180% proti zušlechtěným kolům. Přitom těchto vysokých hodnot kontaktní únosnosti bylo dosaženo i u kol z nízkouhlíkové oceli.

Nízkotepelná karbenitridace v plynu dává strukturně zcela obdobnou karbenitridační vrstvu jako karbenitridace v lázni. Jsou tedy všechny předpoklady pro její příznivé předpoklady pro její příznivé uplatnění i u ozubených kol.

Během vými zkouškami ozubených kol získané údaje o unavené pevnosti chemicko-technické zpracovávaných, nevrchově tvrzených ozubených kol, dávají technické veřejnosti potřebné hodnoty pro další zdokonalování technologie a pro pevnostní výpočet ozubení. Z těchto výsledků vyvozujeme jiný postup pro v pevnostní výpočet tvrzených ozubených kol. Současně zjišťujeme přesněji faktory ovlivňující kontaktní pevnost materiálu, nejdůležitější kriterium trvanlivosti tvrzených ozubených kol. /5/, /6/.

V závěru úvodní části bych chtěl poděkovat svému školi-  
teli Prof. Ing. Oldřichu Medunovi, nositeli Řádu práce a  
všem pracovníkům katedry částí strojů na strojní fakultě  
VŠST, za péči a čas, který mi ne dělu mého aspirantského  
studia věnovali a zejména pak za možnosti, které mi poskytli  
pro práci na úkolu, jehož výsledkem je tato kandidátská di-  
sertační práce.

## 2.1. Skluz po profilech zubů ozubených kol

Na obr. 2.1 je naznačeno vytváření evolventy odvinuté z kružnice  $k_z$  úhlovou rychlostí  $\omega$ . Vyšetříme rychlostní poměry v bodě D, ve kterém evolventa protíná tečnu k základní kružnici. Obvodová rychlosť  $R\omega$  bodu D na evolventě se rozkládá do složek  $v_z$  a  $v_e$ . Rychlosť  $v_z$  je rychlosť bodu záběru po záběrové přímce a rychlosť  $v = -v_e$ , je rychlosť, s jakou se záběrový bod pohybuje po evolventě. Rychlosť  $v$  se nazývá rychlosť otírání evolventy. Pomocí vyznačených veličin na obr. 2.1 lze vyjádřit :

$$v_z = R\omega \cos \beta = r_z \cdot \omega \quad (2.1)$$

$$v = R\omega \sin \beta = \rho \cdot \omega \quad (2.2)$$

Na obr. 2.2 jsou na evolventách  $e_1$  a  $e_2$  vyznačeny přidružené body G a H, které se setkají v bodě L. Obleuk DG na evolventě  $e_1$  se otře o oblouk DH na evolventě  $e_2$ . Zvolíme-li na záběrové přímce řadu rovnoměrně rozložených bodů L, pak dostaneme na evolventách  $e_1$ ,  $e_2$  přidružené body a mezi nimi sled úseků, které se vzájemně otřou. To dává možnost posoudit, jak se evolventy otírají. Okamžitý měrný skluz v bodu D na evolventě  $e_1$  je limita poměru  $\lambda = \frac{\overline{DG} - \overline{DH}}{\overline{DG}}$ , když se bod L neomezeně blíží k bodu D. Použijeme rychlosti otírání evolvent podle obr. 2.2 k vyjádření téhoto poměru. Za dobu  $d\tau$  bude  $\overline{DG}$  rovno  $d_1 d\tau$ ,  $DH = v_2 d\tau$ . Takže měrný skluz v bodě D na evolventě  $e_1$  je:

$$\lambda_1 = \lim \frac{\widehat{DG} - \widehat{DH}}{\widehat{DG}} = \frac{\nu_1 - \nu_2}{\nu_1}$$

$$\lambda_1 = \frac{\nu_1 d\varpi - \nu_2 d\varpi}{\nu_1 d\varpi} = \frac{\rho_1 \omega_1 - \rho_2 \omega_2}{\rho_1 \omega_1}$$

$$\lambda_1 = 1 - \frac{\rho_2 \omega_2}{\rho_1 \omega_1} = 1 - \frac{1}{i} \cdot \frac{\rho_2}{\rho_1}$$

(2.3)

Podebně měrný skluz v bodu D na evolventě  $\mathbf{e}_2$  je

$$\lambda_2 = \lim \frac{\widehat{DH} - \widehat{DG}}{\widehat{DH}} = \frac{\nu_2 d\varpi - \nu_1 d\varpi}{\nu_2 d\varpi}$$

$$\lambda_2 = \frac{\nu_2 - \nu_1}{\nu_2} = \frac{\rho_2 \omega_2 - \rho_1 \omega_1}{\rho_2 \omega_2}$$

$$\lambda_2 = 1 - \frac{\rho_1 \omega_1}{\rho_2 \omega_2} = 1 - i \frac{\rho_1}{\rho_2}$$

(2.4)

kde je  $i = \frac{\omega_1}{\omega_2}$  převod.

Tím jsou vyjádřeny měrné skluzy při záběru v libovolném bodě záběrové přímky nři záběru evolvent ve valivém bodě P bude  $D \equiv P$  a při použití obdobných trojúhelníků vyplýne výraz:

$$\frac{\rho_2}{\rho_1} = \frac{\overline{BP}}{\overline{AP}} = \frac{\overline{O_2P}}{\overline{O_1P}} = \frac{\omega_1}{\omega_2} = i$$

Po dosazení do (2.3) a (2.4) dostaneme  $\lambda_1 = \lambda_2 = 0$ . Je zde čisté valení evolvent po sobě. Bod P se nazývá záběrový pól, na něm je relativní rychles nulová. Nulová rychlosť skuzu mezi profily ve valivém bodě P není nijak na prospěch měrnému tlaku

na povrchu zuba, neboť při valení se zhoršují podmínky pro tvorjení olejové vrstvy mezi zuby. Tvoří se tu snadno dálky, t.j. drobné jamky.

V krajních bodech A a B záběrové přímky, kde by přišly do záběru body evelvent E,F, je v prvním případě  $\rho_1 = 0$ , v druhém případě  $\rho_2 = 0$ . Měrné skluzy jsou zde tedy:

$$\begin{array}{ll} \lambda_{1A} = -\infty & \lambda_{2A} = 1 \\ \lambda_{1B} = 1 & \lambda_{2B} = -\infty \end{array} \quad (2.5)$$

Pro myšlené průběhy skluzů  $\lambda_1$  a  $\lambda_2$  napravo od bodu B a nalevo od bodu A položíme jednou  $\rho_1 = \infty$ , podruhé  $\rho_2 = \infty$ . Protože

$\rho_1 + \rho_2 = 1$ , je v prvním případě  $\lim \frac{\rho_2}{\rho_1} = \lim \frac{1-\rho_1}{\rho_1} = -1$ , v druhém případě je rovněž  $\lim \frac{\rho_1}{\rho_2} = \lim \frac{1-\rho_2}{\rho_2} = -1$ .

V úběžných bodech jsou tedy měrné skluzy

$$\begin{array}{ll} \lambda_1 = 1 + \frac{1}{i} & \\ \lambda_2 = 1 + i & \end{array} \quad (2.6)$$

te jsou souřadnice asymptot křivek, podle nichž se mění měrné skluzy. Průběhy měrných skluzů znázorňuje obr. 2.3 z rovnací (2.3) a (2.4) snadno vyplývá, že tyto křivky jsou rovnosé hyperboly s vodorovnými asymptotami  $a_1$ ,  $a_2$ .

Relativní rychlosť mezi profily  $|v_{21}| = |v_{12}| = v_s$ , je rychlosť skluzová. Tato rychlosť se rovná rozdílu rychlostí otírání evolvent podle (2.2). Pro označení podle obrázku 2.2 bude platit:

$$\begin{aligned} v_1 - v_2 &= \rho_1 \omega_1 - \rho_2 \omega_2 = (\bar{AP} + \bar{PD}) \omega_1 - (\bar{BP} - \bar{PD}) \omega_2 \\ v_1 - v_2 &= \bar{PD} (\omega_1 + \omega_2) = v_s \end{aligned} \quad (2.7)$$

Můžeme tedy měrné skluzy obecně vyjádřit též takto:

$$\lambda_1 = \frac{v_s}{v_1} \quad \text{a} \quad \lambda_2 = \frac{v_s}{v_2} \quad (2.8)$$

Měrné skluzy  $\lambda_1$  a  $\lambda_2$  jsou navzájem vázány vztahem plynoucím z rovnic (2.3) a (2.4)

$$\lambda_2 = 1 - \frac{1}{1 - \lambda_1} \quad (2.9)$$

Pedle tohoto výrazu měrným skluzem  $\lambda$ , na jednom profilu je jednoznačně určen měrný skruz  $\lambda_2$  na druhém profilu. V praxi se používají jen extrémy měrných sklužů, které nastávají v bodech  $A_2$  a  $B_1$  na profilech na hlavových kružnicích (viz obr. 2.4) a jím přidružených bodech  $A_1$   $B_2$  na patách zuba protikola, které nájdou do záběru v průsečících A a B hlavových kružnic se záběrovou přímkou, t.j. na začátku a na konci záběru. Jde tu o vzájemné otření oblouků  $(S_{H_2}, S_{P_1})$  a  $(S_{H_1}, S_{P_2})$  přidružených zvoleným úsekům  $\overline{AC}$  a  $\overline{BD}$  na záběrové přímce. Pro jasnéjší srovnávání volíme úseky  $\overline{AC} = \overline{BD}$ . V limitě pro  $AC = 0$  a  $BD = 0$  vyjádříme toto otírání měrnými sklužy nemocí úseků  $(\rho_{1A}, \rho_{2A})$  a  $(\rho_{1B}, \rho_{2B})$ .

## 2.2 Skluzová a valivá rychlosť ozubených kol

### 2.2.1 Čelní kola s přímými a šikmými zuby

Při pohledu ve směru os soukeli se na roztečních kružnicích projevuje záběr zubů jako čisté valení, tedy zcela bez skluzu. S výjimkou záběrového bodu na roztečních kružnicích dochází v ostatních bodech na záběrové přímce ke skluzu. V obecném bodě záběru T je velikost rychlosti skluzu dána součinem relativní úhlové rychlosti a vzdálenosti bodu T od centrálního

bedu P (viz obr. 2.5).

Rychlosť skluzu dosáhne největší hodnoty, jestliže zabírájí zuby na počátku nebo na konci dráhy záběru. Rychlosť skluzu leží v rovině kolmě k osám ozubených kol a v uvažovaném záběrovém bodě je kolmá na společnou normálu boků. Velikost rychlosti skluzu je přibližně dána výrazem

$$V_s = k V \cdot \gamma \cdot \cos \beta \left( \frac{1}{z_1} + \frac{1}{z_2} \right) \quad [m/s] \quad (2.10)$$

kde  $V$  je větší z obou hodnot  $V_1$  a  $V_2$

$V \dots$  výnečková hodnota, nebo běžné jednotkové posunutí nástroje  $x$

Hodnota  $V$  může být v mezích

$$4 - \frac{10 \cdot \cos^3 \beta}{z_1} > V_1 > 1 + \frac{20 \cdot \cos^3 \beta}{z_1} \quad (2.11)$$

$$4 - \frac{10 \cdot \cos^3 \beta}{z_2} > V_2 > 1 + \frac{20 \cdot \cos^3 \beta}{z_2}$$

$V_1 \dots$  obvodová rychlosť pastorku ve střední výšce zuba  
 $V / m/s$

$\beta \dots$  úhel sklonu zuba pastorku a kola /°/

$k \dots$  souřinitel pro zuby podle standartu (např standartní systém B.S.,  $k = 2,75$ ).

Volíme-li hodnotu  $V$  ve shora uvedených mezích, je zaručeno, že zuby nebudou ani špičaté ani nedříznuté. Hodnota  $V$  může být ještě dána vztahem:

$$V = 2 + 2x$$

## 2.2.2 Kuželová kola

Pro kuželová kola můžeme použít výraz (2.10), dosadíme-li za

$$z_1 \text{ hodnota } \frac{z_1}{\cos \delta_1} \quad (2.12)$$

$$z_2 \text{ hodnota } \frac{z_2}{\cos \delta_2}$$

## 2.2.3 Šroubová seukelí

Na obr. 2.6 je náhled ve směru společné normály os  $\mathbf{e}_1$  a  $\mathbf{e}_2$  šroubových ozubených kol. Přímka  $t_{12}$  je společná tečnám boků zubů obou kol v bodu záběru, přímka  $n_{12}$  je pak normála, na tuto tečnu kolmá. Obvodová rychlosť  $v_1$  leží v rovině kolmé na osu  $\mathbf{e}_1$ , obvodová rychlosť  $v_2$  v rovině kolmé na osu  $\mathbf{e}_2$ . Z podmínky stálého záběru zubů vynikává, že složky obvodových rychlostí do směru společné normály musí být stejné  $v_{1n} = v_{2n} = v_n$ . Tečné složky  $v_{1t}$  a  $v_{2t}$  jsou obecně vzájemně různé a jsou dány výrazy:

$$v_{1t} = v_1 \cdot \sin \beta_1$$

$$v_{2t} = v_2 \cdot \sin \beta_2$$

Rozdíl těchto tečných složek určuje tzv. rychlosť skluzu podél zuba, kterou označíme  $v_{sh}$ . Rychlosť skluzevá podél zuba je kolmá ke společné normále os  $\mathbf{e}_1$  a  $\mathbf{e}_2$  a leží na společné tečné rovině boku zuba, procházející bodem jejich dotyku. V tomto smyslu je tedy rychlosť skluzu podél zuba dána výrazem

$$v_{sh} = v_1 \cdot \sin \beta_1 - v_2 \cdot \sin \beta_2$$

Přisoudíme-li úhlům  $\beta_1$  a  $\beta_2$  vzájemně opačná znaménka (jelikož patří k šroubovicím s pravým a levým stoupáním), pak

$$v_{sh} = v_1 \cdot \sin \beta_1 + v_2 \cdot \sin \beta_2$$

sležky obvádových rychlostí do směru společné normály musí být stejné, tedy

$$v_1 \cdot \cos \beta_1 = v_2 \cdot \cos \beta_2$$

Výraz pro rychlosť skulu podél zuba  $v_{sh}$  lze tudiž psát ve tvaru

$$v_{sh} = v_1 \cdot \cos \beta_1 \left[ \frac{\sin \beta_1}{\cos \beta_1} + \frac{\sin \beta_2}{\cos \beta_2} \right] =$$

$$= v_1 \cdot \cos \beta_1 (\operatorname{tg} \beta_1 + \operatorname{tg} \beta_2)$$

nebo  $v_{sh} = v_2 \cdot \cos \beta_2 (\operatorname{tg} \beta_1 + \operatorname{tg} \beta_2) \quad [m/s]$

(2.13)

nebo  $v_{sh} = \sqrt{v_1^2 + v_2^2 - 2v_1 v_2 \cos \theta} \quad [m/s]$

(2.14)

poslední výraz je odvozen na základě úvahy, že rychlosť skulu podél zuba je vektorovým rezdílem rychlosťí  $v_1$ ,  $v_2$  a rychlosťí mezi sebou svírající úhel rovný úhlu mezi kol.  $\theta$ .

Úhel mezi rychlosťí skulu a rychlosťí skulu podél zuba je ve většině praktických případů přibližně roven  $90^\circ$ . Je proto výsledná rychlosť skulu, daná vektorovým součtem rychlosťí  $v_{st}$  a  $v_{sh}$ , přibližně určena výrazem

$$v_s = \sqrt{v_{st}^2 + v_{sh}^2} \quad [m/s]$$

U šroubových soukeli s úhlem mezi rovným přibližně  $90^\circ$  je rychlosť skulu  $v_{st}$  proti rychlosťi skulu  $v_{sh}$  podél zuba obvykle zanedbatelná.

Skluzavou a valivou rychlosť ozubených kol môžeme počítať jiným způsobem, viz obr. 2.7.

Je-li  $v_1, v_2$  obvodová rychlosť pasterku v bode  $K$ , pak je:

$$v_1 = r_{x1} \cdot \omega_1$$

$$v_2 = r_{x2} \cdot \omega_2$$

kde  $r_{x1} = o_1 K$  a  $r_{x2} = o_2 K$ .

Tečné složky obvodové rychlosťi  $v_1$  a  $v_2$  jsou  $v_{1t}$  a  $v_{2t}$ :

$$v_{1t} = v_1 \cdot \cos \alpha_{x1}$$

$$v_{2t} = v_2 \cdot \cos \alpha_{x2}$$

kde

$$\cos \alpha_{x1} = \frac{\rho_1}{r_{x1}}$$

$$\cos \alpha_{x2} = \frac{\rho_2}{r_{x2}}$$

pak

$$v_{1t} = \omega_1 \cdot \rho_1$$

$$v_{2t} = \omega_2 \cdot \rho_2$$

$$\text{nebo } v_{2t} = \frac{\omega_1}{\iota} \cdot \rho_2$$

z čehož získáme

$$v_{1t} + v_{2t} = \left( \rho_1 + \frac{\rho_2}{\iota} \right) \omega_1 = \alpha_4 \cdot \omega_1 \quad (2.15)$$

kde

$$\alpha_4 = \frac{r_{o1}}{\iota} \left[ (1 \pm \iota) \cdot \operatorname{tg} \alpha + (\iota - 1) \cdot \theta_{x1} \right] \quad (2.15)$$

Z předešlých výpočtů jsme měli veličiny:

$$\rho_1 = r_{o1} \cdot \theta_{x1}$$

$$\rho_2 = r_{o1} \cdot \left[ (1 \pm \iota) \cdot \operatorname{tg} \alpha - \theta_{x1} \right] \quad (2.16)$$

kde  $\alpha$  . . . tlakový úhel nebo úhel záběru

i . . . převodový poměr

$$\theta_M = t \frac{A \cdot \sin \alpha - \sqrt{R_{e2}^2 - r_{e2}^2}}{r_{o1}}$$

A . . . osnová vzdálenost

$R_{e2}$  . . . poloměr hlavové kružnice ozubeného kola

$r_{e2}$  . . . poloměr patní kružnice ozubeného kola

V těchto výrazech platí, herní znak (plus) pro soukeli s vnějším záběrem, dělní znak (minus) pro soukeli s vnitřním záběrem.

Evolventní kola se šikmým ozubením počítáme opět pomocí výrazu (2.15) ale

$$\begin{aligned}\beta_1 &= \frac{1}{\omega s \beta_0} \left[ r_{o1} \cdot \theta_{x1} + (l+x) \cdot \sin \beta_0 \right] \\ \beta_2 &= \frac{1}{\omega s \beta_0} \left\{ r_{o1} \left[ (1+i) \cdot \operatorname{tg} \alpha_s - \theta_{x1} \right] - (l+x) \cdot \sin \beta_0 \right\} \end{aligned} \quad (2.17)$$

kde  $\alpha_s$  . . . čelní úhel záběru

l . . . polovina délky kontaktní čáry

Dostaneme rovnici

$$v_{et} + v_{st} = (a_4 + b_4 \cdot x) \cdot \omega, \quad (2.18)$$

kde

$$a_4 = \frac{r_{o1}}{i} \left[ (1+i) \cdot \operatorname{tg} \alpha_s + (i-1) \cdot \theta_{x1} \right] + b_4 \cdot l$$

$$b_4 = \sin \beta_0 \left( 1 - \frac{l}{i} \right) \quad (2.19)$$

Pro kuželová přímá kola počítáme podle (2.15), ale veličiny  $r_{o1}$  a i musíme nahradit veličinami:

$$r_0' \cdot \left( 1 - \frac{l - x}{L} \right) \quad \alpha \quad l^2$$

Máme tedy:

$$\begin{aligned} a_4' &= -\frac{r_0'}{l^2} \left[ (1 + l^2) \cdot \operatorname{tg} \alpha_s + (l^2 - 1) \cdot \theta_M \right] \\ a_4 &= \left( 1 - \frac{l}{L} \right) \cdot a_4' \\ b_4 &= -\frac{a_4'}{L} \end{aligned} \tag{2.120}$$

$r_{el}'$  . . . polemér základní redukované kružnice čelního kola.

### 2.3 Tření a koeficient tření na zubech ozubených kol

Při stáčivém pohybu spolu zuby ozubených kol zabírají. Profil zubů jednoho kola kleuže na profilech zubů druhého kola, a proto na povrchu zubů ozubených kol při pohybu vniká třecí síla. Třecí síla na povrchu zubů hnacích ozubených kol směruje od záběrového nálu k hlavě nebo patě zubů. Na povrchu zubů hnaných ozubených kol třecí síla naopak směruje od hlavy a paty zubů k záběrovému nálu. To proto, že směr třecí síly má opačný smysl, než skluzová rychlosť. Aromě skluzového tření ještě valivé tření na povrchu zubů. Ale valivé tření vzniká pouze v záběrovém nálu; t.j. na záběrové přímce; v tomto bodě je jenom valivá rychlosť, skluzová rychlosť je nulová. Valivé tření na povrchu zubů je malé při porovnání s třením skluzovým. Při výpočtu valivé tření zanedbává.

### 2.3.1 Výpočet koeficientu tření na zubech ozubených kol

Mějme ozubaný převod viz obr. 2.8. Označme následující veličiny:

$z_1, z_2 \dots$  počet zubů hnacího a hnaného kola

$f_2 \dots$  koeficient tření na zuba

$R_n \dots$  normální síla působící na zuba

$F \dots$  třecí síla

Z obr. 2.8 kreutící moment na zuba ozubeného kola 1 je:

$$M_1 = R_n \cdot r_1 \cdot \cos \alpha - F_1 (r_1 \cdot \sin \alpha - f)$$

Pedle zákona tření je třecí síla  $F_1$ :

$$F_1 = f_2 \cdot R_n$$

a od tuk je normálná síla vyjádřena jako

$$R_n = \frac{M_1}{r_1 \cdot \cos \alpha - f_2 (r_1 \cdot \sin \alpha - f)}$$

a třecí síla je:

$$F_1 = \frac{f_2 \cdot M_1}{r_1 \cdot \cos \alpha - f_2 (r_1 \cdot \sin \alpha - f)}$$

Záběrový nál leží na spojnici středů ozubených kol, normálná síla je v něm dáná

$$R_{nr} = \frac{M_1}{r_1 \cdot \cos \alpha + f_2 (r_1 \cdot \sin \alpha - f)}$$

a třecí síla je

$$F_1 = \frac{f_2 \cdot M_1}{r_1 \cdot \cos \alpha + f_2 (r_1 \cdot \sin \alpha - f)}$$

kde  $f \dots$  vzdálenost záběrového bodu na záběrové přímce od záběrového nálu.

Přibližně nečítáme takto:

$$F_1 = F_2 \approx f_2 \cdot \frac{M_1}{r_1 \cdot \cos \alpha} \quad (2.21)$$

Ztráta na zubech ozubených kol způsobená třením je vypočítána poměrem mezi výkonem tření ( $N_{tr}$ ) a výkonem kreuticího momentu ( $N_{M_1}$ ). Označme  $\varphi_2$  jako ztrátu na zubech ozubených kol. Potom je

$$\varphi_2 = \frac{|N_{(F_1, F_2)}|}{N_{(M_1)}}$$

kde

$$N_{(F_1, F_2)} = N_{tr} = - F \cdot v_s = - f_2 \cdot R_2 \cdot v_s$$

$v_s$  — skluzevá rychlosť

$$v_s = \oint (\omega_1 + \omega_2)$$

odtud

(2.22)

$$N_{(F_1, F_2)} = - F_2 \cdot \oint (\omega_1 + \omega_2)$$

a  $N_{(M_1)} = M_1 \cdot \omega_1$

(2.23)

Po dosazení (2.21), (2.22) a (2.23) do výrazu pro  $f_2$  dostaneme:

$$\varphi_2 = \frac{f_2 \cdot M_1 \cdot \oint (\omega_1 + \omega_2)}{r_2 \cdot \cos \alpha \cdot M_1 \cdot \omega_1} = \frac{f_2 \cdot \oint (\omega_1 + \omega_2)}{r_2 \cdot \cos \alpha \cdot \omega_1}$$

Hodnota ztráty je funkce veličiny přeměnné  $\oint$ . Při  $\oint = 0$  je pak  $\varphi_2 = 0$ , to je v případě, že skluzevá rychlosť v záběrového nálu se rovná nule.

Prakticky hodnota ztráty je vypočítána průměrnou hodnotou ztráty. V obr. 2.9 je funkce  $\varphi_2(x)$  graficky vyjádřena.

Je-li  $x = l_1 = \oint = l_2$  pak

$$\varphi_2 = \frac{f_2 \cdot l_1 \cdot (\omega_1 + \omega_2)}{r_2 \cdot \cos \alpha}$$

a

$$\varphi_2 = \frac{f_2 \cdot l_2 \cdot (\omega_1 + \omega_2)}{r_2 \cdot \cos \alpha}$$

Průměrná seřadnice grafu označuje střední hodnotu ztráty  $\varphi_{zs}$ .

Máme  $\varphi_{zs}$  takto:

$$\varphi_{zs} = \frac{\text{plocha grafu}}{\text{délka základního grafu}}$$

kde  $l_1 + l_2$  je délka záběrové čáry zuba ozubených kol.

Proto je také:

$$\varphi_{zs} = f_2 \cdot \frac{(\omega_1 + \omega_2) (l_1^2 + l_2^2)}{2 \cdot r_i \cdot \cos \alpha \cdot l_2 \cdot \omega_1}$$

Při ozubených převodech máme:

$$\frac{\omega_2}{\omega_1} = \frac{z_1}{z_2} \quad a \quad r_i = \frac{z_1 \cdot m}{2} \quad /$$

m . . . modul ozubených kol

Součinitel záběru  $\varepsilon$  (trvání záběru) je:)

$$\varepsilon = \frac{l_2}{t \cdot \cos \alpha}$$

t . . . rozteč zubů

$$l_z = \varepsilon \cdot t \cdot \cos \alpha = \varepsilon \cdot \pi \cdot m \cdot \cos \alpha$$

Pak je s dostatečnou přesností:

$$l_1 = l_2 \approx \frac{1}{2} l_z = \frac{1}{2} \cdot \varepsilon \cdot m \cdot \pi \cdot \cos \alpha$$

Po dosazení dostaneme výraz pro výpočet střední hodnoty na zubech ozubeného kola.

$$\varphi_{zs} = f_2 \left( \frac{1}{z_1} + \frac{1}{z_2} \right) \cdot \frac{l_1 + l_2}{\pi \cdot m^2 \cdot \cos^2 \alpha \cdot \varepsilon}$$

a

$$\varphi_{zs} = \pi \cdot f_2 \cdot \left( \frac{1}{z_1} + \frac{1}{z_2} \right) \cdot \frac{\varepsilon}{2}$$

(2.24)

Podobně jako pro větší záběr, platí při vnitřním záběru

ezubených kol

$$\omega = \omega_1 - \omega_2 \quad \text{a proto dostaneme } \varphi_{sz} :$$

$$\varphi_{sz} = \pi \cdot f_z \cdot \left( \frac{1}{z_1} - \frac{1}{z_2} \right) \cdot \frac{\varepsilon}{2} \quad (2.25)$$

Při záběru hřebenů je

$$\varphi_{sz} = \pi \cdot f_z \cdot \frac{1}{z_1} \cdot \frac{\varepsilon}{2} \quad / \quad z_2 = \infty$$

Z výrazu (2.24) víme, že hodnota ztráty na zubech ozubeného kola 1 je větší, než hodnota ztráty na zubech ozubeného kola 2 (hnaného kola). Hodnota ztráty na zubech ozubeného kola závisí na koeficientu tření na bocích zubů  $\varphi_z$ .

### 2.3.2 Koeficient tření jako funkce kontaktní teploty

Sovětští vědci prováděli mnohaleté pokusy pod vedením akademika M.A. Rebindera a došli k závěru, že veškerá práce třením se přeměňuje na teplo (asi 99,5 %). Práce tření závisí na koeficientu tření. Ale koeficient tření zase závisí na mnoha faktorech, a to především na skluzové rychlosti, tlaku, kontaktní teplotě atd. Koeficient tření se obvykle zjišťuje experimentálně, neboť se jej zatím nepodařilo stanovit početně.

Obecný výraz pro výpočet koeficientu tření, který uvádí N.V. Kračelskij je:

$$f = (a + b \cdot v) \cdot e^{-cv} + d \quad (2.26)$$

Víme, že rychlosť se mění, pak koeficient tření  $f$  může

rychle růst nebo klesat, nebo může být konstantní, podle vzájemných poměrů koeficientů a, b, c a d. Hedenoty těchto koeficientů závisí na materiálu soukeli, měrném talku a jiných faktorech a dále i na konkrétních podmínkách provozu soukeli.

Po studiu procesu tření s přihlédnutím k příčinám jeho vzniku byl uveden výpočetový výraz

$$\text{J} \cdot f_p v t = \frac{F_k \cdot c \cdot \gamma \cdot \Delta \cdot T'}{g} + \alpha \cdot \pi \cdot D \cdot \Delta \cdot T' \cdot t \quad (2.27)$$

kde J . . . ekvivalentní teplo jednotky práce

p . . . tlak

v . . . skluzová rychlosť

pv . . . výkon třecího tepla

t . . . čas

f . . . koeficient tření

F<sub>k</sub> . . . kontaktní plecha na bocích zubů

c . . . měrné teplo materiálu soukeli

$\gamma$  . . . měrná váha materiálu soukeli

$\Delta$  . . . hleubka, do jaké preniká třecí teplo

$T'$  . . . kontaktní teplota tělesa

$\alpha$  . . . koeficient předávání tepla na povrchu tělesa

D . . . průměr experimentálních vzorků

g . . . tíhové zrychlení

Hleubka, do které preniká třecí teplo byla vynechitána podle mnoha teorií. Na základě teorie tenelných vln M. M. Levického vypočítal tuto hleubku z následujícího výrazu:

$$\Delta = 2,2 \cdot \sqrt{\omega^2 \cdot t} \quad (2.28)$$

kde

$$\omega^2 = \frac{\lambda}{c \cdot \gamma} \quad - \text{teplná vědivost}$$

$\lambda$  , , , - koeficient tenelné vědivosti

Pro určení hodnot  $\Delta$  a  $t$  sestavíme soustavu dvou rovnací

$$\frac{C \cdot \varphi \cdot F_k \cdot \Delta \cdot T'}{g} = \alpha \cdot \varphi \cdot D \cdot \Delta \cdot T' \cdot t$$

$$\frac{C \cdot \varphi \cdot F_k \cdot \Delta \cdot T'}{g} = \frac{\lambda \cdot F_k \cdot T' \cdot t}{\Delta} \quad (2.29)$$

První rovnice je podmínkou rovnosti vzniklého a odevzdádaného tepla. Druhá rovnice - podmínka, při které se vzniklé teplo rozšiřuje v jádře pomocí tepelné vodivosti. Řešením první rovnice (2.29) dostaneme t

$$t = \frac{C \cdot \varphi \cdot F_k}{g \cdot \alpha \cdot \varphi \cdot D} \quad (2.30)$$

Řešením druhé rovnice (2.29) dostaneme  $\Delta$  a :

$$\Delta = 3,13 \cdot \sqrt{\omega^2 \cdot t} \quad (2.31)$$

Výraz (2.31) se liší od výrazu (2.28) hodnotou koeficientu před odmocninou, ale je získán jednodušším postupem.

Řešením soustavy rovnic (2.29) je mezní hodnota hloubky, do které pronikne teplo při tepelné rovnosti:

$$\Delta = 0,5 \cdot \sqrt{\frac{\lambda \cdot D}{\alpha}} \quad (2.32)$$

Po vyloučení času t z rovnice (2.27) dostaneme:

$$J \cdot f \cdot p \cdot v = 2 \cdot \Delta \cdot T' \cdot \alpha \cdot \varphi \cdot D \quad (2.33)$$

V rovnicích (2.27) a (2.33) je přítomna veličina  $T$ . Určení hodnoty veličiny  $T$  není snadné, protože konstantní teplota závisí na změně třecího výkonu pv.

Existuje několik způsobů pro určení kontaktní teploty, ale hlavně to jsou experimentální formulace /7/.

Výzkumy i experimenty na praktických schématech nám daly možnost přesnějšího určení kontaktní teploty, přičemž kontaktní teplota je určována v závislosti na tepelném výkonu tření.

Analýzou řešení rovnice (2.33) dle  $f$  dostaneme:

$$f = \frac{2 \Delta \cdot T' \alpha \cdot \pi \cdot D}{J \cdot \rho \cdot v} \quad (2.34)$$

Je-li třecí pár z různých materiálů, pak třecí koeficient je:

$$f = \frac{(\alpha_1 \Delta_1 + \alpha_2 \Delta_2) T' \pi \cdot D}{J \cdot \rho \cdot v} \quad (2.35)$$

$\Delta_1, \Delta_2 \dots$  hlebka, do které pronikne teplo v příslušném tělesu

$\alpha_1, \alpha_2 \dots$  koeficient přestupu tepla na povrchu příslušného tělesa

Určení koeficientu tření je možné následujícím postupem:

- určení kontaktní teploty  $T'$  graficky podle výkonu třecího tepla  $pV$
- určení koeficientu tření z výrazů (2.34) a (2.35) pomocí příslušných hodnot  $\lambda, \Delta, \alpha, D$  daného soukoli.

Pro znázornění matematického vztahu mezi kontaktním koeficientem tření a kontaktní teplotou z výrazu (2.33) přepíšeme

$$\frac{J \cdot \rho \cdot v \cdot f}{2 \cdot \Delta \cdot T'} = \frac{\alpha \cdot \pi \cdot D}{\theta} \quad (2.36)$$

označíme

$$J \cdot \rho \cdot v = A$$

$$2 \cdot \Delta \cdot \alpha \cdot \pi \cdot D = B$$

Po dosazení do (2.36) máme následující rovnici

$$A \cdot f - B \cdot \tau' = \theta \quad (2.37)$$

Rovnice (2.37) je vlastně část obecné rovnice přímky, která prochází počátkem souřadnicové soustavy ( $Ax + by + c = \theta$ )

Z rovnice (2.37) můžeme psát

$$f = \frac{B}{A} \cdot \tau' = \operatorname{tg} \varphi \cdot \tau'$$

kde

$$\operatorname{tg} \varphi = \frac{B}{A} = \frac{2 \cdot \Delta \cdot \pi \cdot \alpha \cdot D}{J \cdot p \cdot v}$$

nebo

$$\operatorname{tg} \varphi = \frac{(\Delta_1 \alpha_1 + \Delta_2 \alpha_2) \cdot \pi \cdot D}{J \cdot p \cdot v}$$

Graf rovnice (2.37) je znázorněn na obr. 2.10.

### 2.3.3 Studium koeficientu tření na zubech ozubených kol experimentem

Ztráty ozubeného převodu při záběru byly podle C. F. Ketova a N. I. Kolčina vypočítány pomocí skluzového tření. Účinnost je následujícím výrazem:

$$\eta = 1 - \frac{1}{2} \cdot f \cdot \left( 1 + \frac{z_1}{z_2} \right) \frac{(\operatorname{tg} \alpha - \theta_{10})^2 + (\theta_{11} - \operatorname{tg} \alpha)^2}{\theta_{11} - \theta_{10}}$$

kde  $\mu$  . . . koeficient skluzového tření na zubech

$\theta_{10}$  . . . úhel vnitřního bodu zubového profilu ozubeného kola  $z_1$  (hnacího kola)

$$\theta_{10} = \left(1 + \frac{z_2}{z_1}\right) \operatorname{tg} \alpha - \frac{z_2}{z_1} \cdot \theta_{22}$$

$\theta_{11}$  . . . úhel vnějšího bodu ozubeného profilu ozubeného kola  $z_1$

$\theta_{22}$  . . . úhel vnějšího bodu zubového profilu ozubeného kola  $z_2$  (hnáňného kola).

Rozdíl ( $\theta_{11} - \theta_{10}$ ) je vypočítán podle tabulek v práci F. Ketova a I. Kolčina /8/.

Má-li

$$\gamma = \frac{1}{2} \left(1 + \frac{z_1}{z_2}\right) \frac{(\operatorname{tg} \alpha - \theta_{10})^2 + (\theta_{11} - \operatorname{tg} \alpha)^2}{\theta_{11} - \theta_{10}}$$

nak je

$$\eta = 1 - \gamma f = 1 - u$$

kde

$$u = \gamma f$$

hodnota ztráty ozubeného převodu.

Vyjádříme-li veličinu  $u$  pomocí kroutícího momentu  $M_1$  a hodnoty ztráty na zubech  $m_z$  pak je:

$$u = \frac{m_z}{M_1}$$

odtud vypočítáme koeficient tření na zubech dle výrazu:

$$f = \frac{u}{\gamma}$$

Koeficient tření na zubech ozubeného kola není ustálený, pro-

tože ještě závisí na množství faktorů, které ještě přesně neznáme. Při pracovním procesu se koeficient tření na zubech ozubených kol mění a je nespojitý. Koeficient tření na zubech je maximální na začátku pracovního procesu /9/.

## 2.4 Faktory ovlivňující koeficient tření na zubech ozubených kol

Koeficient tření na zubech závisí na typu mazacího oleje a jeho viskozitě. Tato závislost se znázorňuje přibližně přímkou /9/.

$$f_x = f_0 + 0,026 (\log \eta_t - \log \eta_x)$$

kde  $f_x, f_0 \dots$  tření na dvou libovolných bodech této přímky  $\eta_t, \eta_x \dots$  příslušná hodnota viskozity mazacího oleje v  $^{\circ}\text{E}$ .

Má-li  $f_0, \eta_t$ , můžeme vypočítat koeficient tření na zubech v okamžiku  $x$ . V praxi počítáme jednodušeji, označíme-li koeficient tření  $f_t$  mezi zuby při mazání olejem s viskozitou  $1^{\circ}\text{E}$ . Odtud máme výraz

$$f_x = f_t - 0,026 \log \eta_x \quad (2.38)$$

Hodnota  $f_t$  se zjistí přibližným výrazem:

$$f_t = f_0 + 0,026 \log \eta_0 \quad (2.39)$$

kde:  $f_0, \eta_0 \dots$  koeficient tření a viskozita mazacího oleje z experimentu.

Závislost koeficientu tření u mazacího oleje znázorňuje na obr. 2.12. Koeficient tření na zubech závisí na počtu

pracovních cyklů ozubených kol (viz obr. 2.11).

Výrazy (2.38) a (2.39) ještě nezahrnují vliv počtu otáček na koeficient tření. Na obr. 2.13, vidíme, že zmenšuje-li se počet otáček, pak se zvyšuje koeficient tření na zubech. Mnohé výsledky sovětských vědců na experimentálním stroji Amslera ukázaly podobnost mezi výzkumem koeficientu tření na válcích a na zubech. Z předchozích výsledků vyplýnulo, že hodnota zatěžování, hodnota skluzové a valivé rychlosti jsou faktory ovlivňující záběrový proces zubů ozubených kol.

Změna zatěžování ovlivňuje koeficient tření na zubech ozubených kol málo, viz obr. 2.14.

Vliv skluzové rychlosti na koeficient tření na zubech ozubených kol je znázorněn na obr. 2.15. Je vidět, že když skluzová rychlosť je větší než hodnota  $0,2 \text{ m/s}$ , pak již skluzová rychlosť koeficient tření neovlivňuje. Většinou má příslušná valivá rychlosť hodnotu  $1 \div 8 \text{ m/s}$ . Změnuje-li se skluzová rychlosť pod  $0,2 \text{ m/s}$ , pak koeficient tření dosahuje maximální hodnoty v rozmezí skluzové rychlosti  $0,08 \div 0,1 \text{ m/s}$ .

Valivá rychlosť také ovlivňuje koeficient tření podle experimentu S. I. Jaukeviče. Podle experimentu S.I. Jaukeviče se koeficient tření na válcích zmenšuje při zvětšení součtu valivých rychlostí. Při převodech ozubenými koly, je součet valivých rychlostí na konci záběrové čáry větší než na začátku záběrové čáry. Proto koeficient tření na zubech na konci záběrové čáry je menší než na začátku záběrové čáry. Koeficient tření na zubech v záběrovém středu dosahuje maximální hodnoty. Podle autora je tato hodnota asi o 15 % vyšší při porovnání s průměrnými hodnotami vypočtenými dle předchozích

výrazů, viz obr. 2.16.

Podle výzkumných výsledků C.I. Jackeviča, A.I. Petrusoviča, I.E. Belkera, L.I. Kukanava a dalších autorů, pro třetí páry ocel-ocel s existencemi valivé a skluzové rychlosti, mazaný různými minerálními oleji a různými mazacími systémy a s různými pracovními podmínkami atd., má koeficient tření hodnotu, která je v intervalu 0,05 - 0,1 a většinou je normálně 0,05 až 0,08. Podle experimentálních výsledků Merritu, je hodnota koeficientu tření na zubech ocelových ozubených kol v intervalu 0,06 - 0,08. Kuebach dělal pokusy na zubech ozubených kol ocelových s otáčkami  $n = 1500$  ot/min, obvodovou rychlosťí  $v = 6,3 \text{ m/s}$  a zjistil hodnotu koeficientu tření v intervalu 0,03 - 0,04.

#### 2.4.1 Kontaktní teplota v oblasti kontaktní plochy zubů ozubených kol

Určení teploty na kontaktních plochách je nesnadné. Zvláště obtížné je určení teploty na kontaktních plochách zubů ozubených kol. Obyčejně zjišťujeme kontaktní teploty přibližně z experimentů.

Výpočet teploty na kontaktních plochách převodů je důležitý problém, protože třením vzniká teplo na kontaktních plochách a zahřívá je. Teplota v těchto případech může dosahovat až stovek stupňů. Vysoká teplota na kontaktních plochách způsobuje změnu struktury kovů a mazacího oleje kontaktní plochy.

Pracovní podmínky boků zubů ozubených kol jsou jiné. Každá část boků zubů vstupuje do záběru pouze na krátký čas. Kromě záběrových časů se zuby ozubených kol ochlazují a jsou mazány oleji. Právě proto zuby ozubených kol mohou pracovat dobře i v těžkých podmínkách: velký tlak, velké tření a vysoká rychlosť aj.

Teplota na kontaktní ploše ozubených kol byla studována teoreticky i experimentálně anglickým badatelem H. Blockem.

$$t_{max} = 0,85 \frac{f \cdot P_j \cdot (v_1 - v_2)}{[B_1 \sqrt{v_1} + B_2 \sqrt{v_2}] \cdot \sqrt{b}}$$

kde /  $f$  ... koeficient skluzového tření

$P_j$  ... měrné zatížení na jednotce délky kontaktní plochy  
[kp/cm]

$v_1, v_2$  ... obvodová rychlosť kola 1,2 v [cm/s]

$b$  ... polovina šířky kontaktní plochy v [cm]

$$B_1 = \sqrt{\lambda \cdot \gamma \cdot C_1}$$

$$B_2 = \sqrt{\lambda_2 \cdot \gamma_2 \cdot C_2}$$

$\lambda$  ... tepelná vodivost v [kp cm/cm s °C]

$\gamma$  ... měrná váha v [kp/cm³]

$C$  ... tepelná kapacita v [kp cm/kp °C]

Jsou-li tělesa ze stejného materiálu, pak  $B_1 = B_2 = B$

$$B = \sqrt{\lambda \cdot \gamma \cdot C}$$

Pro ocel ozubených kol můžeme uvažovat tyto hodnoty

$$\gamma = 0,00786 \text{ kp/cm}^3$$

$$C = 0,13 \text{ kal/g}^\circ\text{C} = 5550 \text{ kp cm/kp}^\circ\text{C}$$

$$\lambda = 5 \text{ kp cm/cm S } ^\circ\text{C}$$

$$B = \sqrt{\lambda \cdot \gamma \cdot C} = 14,8$$

Dosazením dostaneme výraz:

$$t_{max} = 0,056 \frac{f \cdot P_j \cdot (v_1 - v_2)}{(\sqrt{v_1} + \sqrt{v_2}) \cdot \sqrt{b}}$$

Vypočítáme přibližně veličinu b z výrazu:

$$b = \frac{2 P_j}{\gamma \cdot P} = \frac{2 P_0}{\gamma \cdot P \cdot L \cdot \cos \alpha \cdot \cos \beta}$$

[cm]

kde  $P_0$  ... obvodová síla

$P$  ... zatížení na zubech ozubených kol vyročitane podle Hertze v [ $\text{kp}/\text{cm}^2$ ]

$L$  ... minimální délka kontaktní čáry v [cm]

$\alpha$  ... úhel záběru ozubených kol v [ $^\circ$ ]

$\beta$  ... sklon úhlu zubů ozubených kol v [ $^\circ$ ]

V oblasti záběrového pětu dosahuje kontaktní teplota maximálních hodnot, protože je zde v záběru jen jeden pář zubů a koeficient tření se zvyšuje. Proto také je zde kontaktní únavová pevnost minimální.

## 2.5. Zatížení a síly na zubech ozubených kol

### 2.5.1 Velikost normálné síly

Normálná síla působící na zub se během záběru mění vlivem tření mezi zuby. V libovolném bodě záběrové čáry můžeme vypočítat normálnou sílu z rovnováhy momentů.

$$M_1 = P_0 \cdot r_1 = P_n [r_1 \cos \alpha - f(r_1 \sin \alpha - \delta)]$$

nebo

$$M_1 = P_0 \cdot r_1 = P_{n2} [r_1 \cos \alpha + f(r_1 \sin \alpha + \delta)]$$

kde  $P_0$  ... obvodová síla působící na rameni  $r_1$  (nebo  $r_2$ )

$P_{n1}$  ... normálná síla na zub před střední polohou

$P_{n2}$  ... normálná síla na zub po střední poloze

$f$  ... koeficient tření

$\delta$  ... vzdálenost detyku od roztečné kružnice

Normálná síla  $P_n$  se mění během záběru tak, že před střední polohou je vlivem tření větší než po střední poloze, ve které

nastává okamžik relativního klidu a změna smyslu tření.

Těsně před a po střední poleze, kdy  $\dot{\gamma} = 0$  platí

$$P_{n1} = \frac{P_0}{\cos \alpha - f \cdot \sin \alpha}$$

$$P_{n2} = \frac{P_0}{\cos \alpha + f \cdot \sin \alpha}$$

Koefficient tření na zubu je obvykle v rozmezí uvedeném v následující tabulce (2.1).

Materiál	Koefficient tření	
	pro valení $f_v$	pro valení se skluzem $f_s$
ocel HB = 181	0,02	0,06
ocel cement. a kalemá	0,02	0,07
litina	0,02	0,037

Tab. 2.1

U kol s přímými zuby počítáme, že je síla rozdělena podél délky zuba rovnoměrě a ve střední části záběru je přenášena jen jedním zubem. Na začátku a konci záběru se přenáší síla dvěma zuby ( při koeficientu trvání záběru větším než 1 a menším než 2 ).

U šikmých zubů je síla rozdělena po délce zubů, která je závislá na koeficientu trvání záběru  $\varepsilon$  a úhlu sklonu zubů  $\beta$ . Dotyk se děje v bodech nestejně vzdálených od rany zuba a zatížení zuba je tedy po délce zuba různé. Poloměry křivosti boků budou rovněž různé pro různé polohy dotyku po délce zuba. Specifický tlak, šířka dotykové plochy, stlačení, tloušťka oleje-vrstvy, se tedy mění.

## 2.5.2 Délka zubů v záběru

Pro pevnostní výpočet ozubených kol je třeba znát minimální celkovou délku zubů, která je v záběru, tj. minimální délku zuba, která přenáší obvodovou sílu. Pomoci této délky pak můžeme určit sílu, kterou ozubení přenese.

### 2.5.2.1 Přímé zuby

U přímých zubů je definován součinitel trvání záběru

$$\varepsilon = \frac{t_1}{t_2}$$

kde  $t_1$  ... čas, po který je jeden spolužabírající pár zubů v záběru

$t_2$  ... čas, který uplyne od okamžiku, kdy vstoupí spolužabírající pár zubů do záběru až do okamžiku, kdy vstoupí do záběru následující pár zubů. Dráhy úměrné časům  $t_1$ ,  $t_2$ , které uběhne záběrový bod po záběrové přímce jsou znázorněny na obr. 2.17.

Času  $t_1$  odpovídá BD. Z obr. 2.17 plyne:

$$\overline{BD} = \overline{AD} + \overline{BE} - \overline{AC} - \overline{CE}$$

Po dosazení:

$$\overline{BD} = \sqrt{r_{h1}^2 - r_{z1}^2} + \sqrt{r_{h2}^2 - r_{z2}^2} - \alpha \cdot \sin \alpha$$

Času  $t_2$  odpovídá nejkratší vzdálenost dvou stejnolehhlých boků zubů, tj. základní rozteč  $t_z$ :

$$t_z = \frac{\pi \cdot d_z}{z}$$

kde

$$d_z = d \cdot \cos \alpha$$

$$t_z = \frac{\tilde{t} \cdot d \cdot \cos \alpha}{z} = t_e \cdot \cos \alpha$$

Pro korigované zuby je  $a = a_v$  a  $\alpha = \alpha_v$

### 2.5.2.2 Šikmé zuby

Záhřevové pole šikmých zubů má tvar obdélníka se stranami  $b$  a  $\varepsilon \cdot t_c$ , kde  $b$  je šířka ozubeného kola. (viz obr. 2.18).

Toto pole můžeme rozdělit na dvě části:

Část I s délkou  $l_k \dots$  je to obdélník se stranami  $\varepsilon \cdot t_c$ ,  $b_k$

Část II s délkou  $l_p \dots$  je to obdélník se stranami  $\varepsilon \cdot t_c$ ,  $l_p$ .

Toto rozdělení provádíme proto, že v části I je činná délka zubu  $l_k$  během otáčení konstantní, zatím co v části II délka  $l_p$  je proměnlivá. Z obr. 2.18 plyne:

$$b = b_k + b_p$$

$$b_k = k \cdot t_c \frac{1}{\tan \beta}$$

kde  $k$  velíme podle této, kolik celých úhlopříček je délce  $\frac{t_c}{\sin \beta}$

se v šířce kola vyskytuje (v našem případě  $k = 1$ ).

Je tedy  $b_p < \frac{t_c}{\tan \beta}$ .

Celková délka zubů v záběru:

$$l = l_k + l_p .$$

Do vztahu pro  $l$  dosazujeme za  $l_p$  minimální hodnotu  $l_{pmin}$ , která je pro nevnosný výpočet nejmepříznivější.

$$l_k = \frac{\varepsilon \cdot t_c \cdot k}{\sin \beta}$$

$$l_{pmin} = m \cdot \frac{b}{\cos \beta} + \left[ \frac{b}{\cos \beta} - (n - \varepsilon) \frac{t_c}{\sin \beta} \right].$$

Vztah pro  $l_{\text{pmin}}$  výše uvedený platí za předpokladu, že

$$\left[ \frac{b}{P} \cos \beta - (n - \varepsilon) \frac{t_c}{\sin \beta} \right] > 0$$

jinak platí  $l_{\text{pmin}} = m \frac{b}{\cos \beta}$

kde čísla  $m, n$  jsou nejbližší nižší a nejbližší vyšší celé čísla než  $\varepsilon$ .

$$n > \varepsilon > m$$

### 2.5.3 Rozložení zatěžování na kontaktní čáře

Ve výrazech pro zjištění základních rozměrů ozubených kol používáme smluvné jednotkové zatížení rovnoměrně rozložené podél kontaktní čáry a označujeme ho  $q$ . V provozu je ovšem zatěžování na různých částech kontaktní čáry jiné. A proto je třeba v praxi výpočetové zatěžování  $q_v$  větší než smluvné jednotkové zatěžování  $q$ .

$$q_v > q.$$

Hodnota výpočetového zatěžování závisí na poloze kontaktní čáry na boku zubů, na tuhosti zubů, hřídelů a ložisek a na přesnosti výroby. Výpočetové zatěžování  $q_v$  je obvykle menší než maximální možné zatěžování při provozu, které závisí na deformacích hřídelů a ložisek a na přesnosti výroby.

Pro snadnější výpočet označujeme výrazem:

$$q_{\max} = q \cdot \theta \quad (2.40)$$

$\theta$  ... základní koeficient koncentrace zatížování, jeho hodnota je vypočítána přibližně:

$$\theta = 1 + \frac{0,3 \cdot \frac{b_p}{\delta} \cdot \operatorname{tg} \gamma}{d_p} + 0,1 \left( \frac{b_p}{d_p} \right)^2 \quad (2.41)$$

kde  $b_p$  ... šířka pastorku

$\gamma$  ... úhel sklenu shybové čáry hřídele

$\delta$  ... tuhost zábírajícího zubového páru

$d_p$  ... průměr pastorku.

Praktické zkušenosti při používání výrazu (2.41) ukázaly, že v některých případech je vhodné násobit druhý člen pravé strany navíc veličinou  $x$ , která vyjadřuje vliv deformace hřídelů a směru kreuticího momentu.

Zákon rozložení zatížení podél kontaktní čáry zubů je výsledkem řešení soustavy lineárních rovnic, z nichž každá je součtem proměnných bodů na diferenciálu kontaktní čáry /10/.

Experimentálně se podařilo zjistit křivky rozložení zatížení podél kontaktní čáry při deformaci hřídele. Rezber těchto křivek ukázal, že záběrové tvary a fáze styku zubů ozubených kol ovlivňují hodnotu základního koncentračního zatížení. Křivky rozložení zatížení podél kontaktní čáry se mění a závisejí na vzdálenosti kola od podpory, tj. na umístění kola na shybové čáře hřídele. Celá přímá ozubená kola - pastorek, který je neblíž středu shybové čáry, má jednu ohlast, ve které se zvyšuje zatížení ve vzdálenosti asi  $2 m_n$  ( $m_n$  ... normální modul) od čela kola, u středu kontaktní čáry se zatížení zmenšuje a rychle klesá v oblasti druhého čela. V okamžiku vstupu a výstupu ze záběru je koncentrace zatížení menší než ve středu záběru. Zde je totiž součet tuhosti /dvou zubů menší. Vzdaluje-li se pastorek od středu hřídele, koncentrace zatížení se zvyšuje.

A když se pasterek přiblíží opeře, pak se koncentrace zatížení postupně zmenšuje, je-li hřídel v opeře větkaut.

Při záběru šikmého ozubeného kola čelního se na konci kontaktních čar zvyšuje zatížení. Někdy dochází ke zvyšování zatížení také v oblasti pélou záběru. Když se úhel sklenu zubů  $\beta_5$  zvyšuje, zvětší se délka záběrové čáry a oblast peklesu zatížení na kontaktní čáře se predlouží. Při styku čelních povrchů zubů se zatížení zvyšuje (platí až do  $3 \text{ m}_\text{m}$  při  $\beta_5 = 15^\circ$ ).

Při záběru ozubeného kola s šípevými zuby se zatížení rezloží mezi dvěma šípevými zuby a délka kontaktní čáry se zmenší a právě proto je koncentrace zatížení menší než při záběru šikmého ozubeného kola. Oblast zvýšení zatížení u čela se rozšiřuje až na délku  $5 \text{ m}_\text{m}$  při úhlu  $\beta_5 = 30^\circ$  a větším.

Při výpočtech počítáme s pevností ozubeného kola, např. na ohýb, kontaktní únavu, zadírání, spotřebení, atd., avšak hodnota výpočetového zatížení je jiná. Z výrazu (2.40) máme:

$$\theta = \frac{q_{\max}}{q} = \frac{q + q_H}{q} = 1 + \frac{q_H}{q} = 1 + \theta_q \quad (2.42)$$

kde  $q_H$  ... růst zatížení na diferenciálu kontaktní čáry.

Pro výpočet ohýbu můžeme výraz (2.42) psát:

$$\theta_q = 1 + \frac{\delta_H}{\delta_{\max}} = 1 + \theta'_q \quad (2.43)$$

kde  $\theta'_q$  ... růst maximálního napětí při aerovnoměrném rezležení zatížení v porovnání s maximálním napětím při rovnoměrném rezležení zatížení.

Výpočetové zatížení včetně doplnkového zatížení ozubeného převodu je vyjádřeno výrazem:

$$q_v = q (1 + \theta_{q,\sigma} \cdot k_j) \quad (2.44)$$

kde  $k_f$  .... koeficient deplákového zatížení.

Tento koeficient závisí na režimu zatížení, materiálu ozubeného kola a mazání.

Z rezberů křivky základního rozložení zatížení, můžeme psát koeficient koncentrace zatížení v oblasti pélou záběru tvarem:

$$\theta = 1 + \left( k_k \cdot \frac{1}{k} + k_u + k_b + k_n + k_\Delta \right) k_f + k_e \quad (2.45)$$

kde  $k_k$  ... koeficient vlivu kroucení zubů ozubených kol

$k_u$  ... koeficient vlivu ohýbu hřídele a zubů ozubených kol

$k_b$  ... koeficient vlivu ohýbu silem, nezávisející na převodu

$k_n$  ... koeficient vlivu deformace ležiska

$k_\Delta$  ... koeficient vlivu přesnosti výroby

$k_f$  ... koeficient vlivu úhlu záběru

$k_e$  ... koeficient vlivu materiálu ozubených kol

Pro výpočet koeficientu  $k_k$  máme další závislosti a sice podle poehy přivedu kroužicího momentu. Pro čelo bližší ke vstupu kroužicího momentu:

$$k_k = 0,46 \left( \frac{b_p}{d_p} \right)^2 a_k \quad (2.46)$$

a pro čelo opačné:

$$k_k = -0,08 \left( \frac{b_p}{d_p} \right)^2 a_k \quad (2.47)$$

kde  $a_k$  ... koeficient závisející na způsobu zavedení kroužicího momentu z hřídele do pastorku a na tvaru zubů; jeho hodnoty se mění takto:

Pro hřídel čelního přímého a šikmého pasterek a pro smysl  
stáčení pouze jedním směrem, je  $a_k = 1$ .

Pro pasterek, který je uložen na hřídeli s přesahem je  $a_k = 0,8$ .

Pro pasterek, který je uložen na hřídeli s výlf je  $a_k = 0,7$ .

Pro ozubené kolo s šípevými zuby a pro stáčení jedním směrem  
je na straně přivedu kreuticího momentu  $a_k = 0,5$  a na straně  
opačné  $a_k = 0,25$ .

Koefficient  $k_u$  je zajišťován pomocí následujících závislostí

Pro hřídel s dvěma opěrami a pasterkem uprostřed:

$$k_u = 0,016 \left( \frac{b_p}{d_p} \right)^4 \left( 1,5 \frac{l}{b_p} - 0,5 \right) \left[ 1 \pm \left( \frac{d_p}{b_p} \right)^2 \cdot 5,3 \sin 2\pi \frac{a}{l} \right] \quad (2.48)$$

Pro pasterek uložený letmo

$$k_u = \pm 0,15 \left( \frac{b_p}{d_p} \right)^4 \left( 0,9 \frac{l}{b_p} + 1 \right) \cdot 2 \cdot \frac{a}{b_p} \quad (2.49)$$

kde  $l$  ... délka hřídele

$a$  ... vzdálenost mezi středem pasterku a opereu na straně  
přivedu kreuticího momentu

Ve významech (2.48) a (2.49) platí znaménko:

(+) pro stranu přivedu kreuticího momentu

(-) pro stranu opačnou.

Pedle výrazu (2.45) lze vypočítat také vliv deformace zubů  
ozubených kol hnaných, ale koefficienty  $k_k$  a  $k_u$  musíme nahradit  
koefficienty

$$k'_k = k_k \cdot \partial e_k \quad \text{a} \quad k'_u = k_u \cdot \partial e_u$$

Hodnota koefficientů  $\partial e_k$  a  $\partial e_u$  je následující:

V případě stáčení v jednom smyslu:

$$\partial e_k = \frac{i^2 + 1}{i^2} \quad \text{kde } i \dots \text{ převodový poměr}$$

V případě stáčení v obou smyslech počítáme  $\delta e_k$  dvěma způsoby:

a) pro  $k_k$  vypočítané z výrazu (2.46) je

$$\delta e_k = \frac{i^2 - 0,5}{i^2}$$

b) pro  $k_k$  vypočítané z výrazu (2.47) je

$$\delta e_k = \frac{i^2 - 2}{i^2} .$$

Koefficient  $\delta e_u$  počítáme pro všechny případy z výrazu:

$$\delta e_u = \frac{i^4 + 1}{i^4} .$$

Koefficient  $k_j$  se zjišťuje:

Pro přímá ozubená kola čelní  $k_j = 1.$

Pro šikmá ozubená kola čelní  $k_j = 1+0,75 \left( \frac{b_p}{d_p} \right)^{-1,35}$

(2.50)

Pro ozubená kola s šípevnými zuby  $k_j = 0,76.$

Koefficient  $k_e$  závisí na modulu pružnosti ekvivalentního materiálu seukelí  $E_e$  a zjistí se takto:

$$k_e = (1000 - 0,35 \sqrt{E_e}) \cdot E_e \cdot 10^{-9} \quad (2.51)$$

Pro čelní kola s přímými zuby s třídou přesnosti 7 může vyšší zácele, umístěná ve střední poloze mezi dvěma sněrami, vypočítatme  $\theta$  podle následujících výrazů:

Na straně vstupu kreutícího momentu:

$$\theta = 1 + 0,16 \left( \frac{b_p}{d_p} \right)^3 \delta e_k + 0,16 \left( \frac{b_p}{d_p} \right)^4 \cdot \left( 1,5 \frac{l}{b_p} - 0,5 \right) .$$

$$\cdot \left[ 1 + 5,3 \left( \frac{d_p}{b_p} \right)^2 \cdot \sin 2\pi \frac{a}{l} \right] \delta e_u$$

(2.52)

Na straně opačné:

$$\theta = 1 - 0,08 \left( \frac{b_p}{d_p} \right)^2 \alpha_k + 0,016 \left( \frac{b_p}{d_p} \right)^4 \cdot \left( 1,5 \frac{l}{b_p} - 0,5 \right) \cdot \left[ 1 - 5,3 \left( \frac{d_p}{b_p} \right)^2 \cdot \sin 2\pi \frac{\alpha}{l} \right] \alpha_u \quad (2.53)$$

Tyto výrazy jsou přesnější než výraz uvedený v (2.41) a uvažujeme je jen tehdy, že-li jejich hodnota vyšší než hodnota vypočtená z (2.41). Pro praktické použití jsou zpracovány tabulky, jež uvádějí hodnoty vyšší než vycházejí početně, neboť pestihuji větší množství vlivů.

V případech, kdy je koeficient  $\theta > 3$  a  $\theta < 0$  musíme změnit charakteristické poměry  $\frac{b}{d_p}$ ,  $\frac{b}{l}$  a  $\frac{a}{1}$ .

Je vidět, že výraz (2.46) platí pro výpočet kontaktní únavové pevnosti pittingu. Počítáme-li pevnost na shyb a zadírání, hodnota koeficientu  $\theta$  je jiná. Pro stanovení dalších faktorů používáme hodnot koeficientu z tabulky (2.2).

Hodnoty  $\theta$  v tabulce byly vypočítány z výrazů (2.41) a (2.45), kam byly pro každý případ dosazeny nejvhodnější hodnoty.

Při praktickém výpočtu zatížení na zubech kel musíme dát pozer na dva důležité faktory, a to na koncentrační zatížení a dynamické zatížení. Tyto dva faktory mají velký vliv na kontaktní i shybovou pevnost zubů ozubených kel. Skutečné zatížení  $P$  ozubených kel tudíž obsahuje tři slesky:

- 1) Jmenovité zatížení, tj. zatížení zjištěné za předpokladu rovnoramenného rozložení zatížení podél délky zubů  $P_m$ .
- 2) Koncentrační zatížení. Koeficient koncentrace zatížení označujeme  $k_k$ .
- 3) Dynamické zatížení. Koeficient dyn. zatížení označujeme  $k_d$ .

Přete lze psát:

$$P = P_n \cdot k_k \cdot k_f = P_n \cdot k$$

kde  $k$  ... koeficient zatížení

Koeficient koncentrace zatížení vypočítáme z následujícího výrazu:

$$k_k = (1-x) + x$$

kde  $x$  ... poměr průměrné a maximální hodnoty kroutícího momentu

$$x = \frac{\sum M_i \cdot t_i \cdot n_i}{M_{max} \sum t_i \cdot n_i}$$

$M_i$  ... kroutící moment

$t_i$  ... pracovní čas v [h]

$n_i$  ... příslušný počet otáček při i-tém režimu v [ot/s]

$M_{max}$  ... maximální kroutící moment

Když je průběh zatížení bez rázů, pak  $x = 1$  a  $k_k = 1$ .

Potom máme:

$$\theta = 1 + \frac{0,3 \cdot t g \varphi \cdot b_p}{\delta} + 0,1 \left( \frac{b_p}{d_p} \right)^2$$

Tuhost zubového páru při záběru je:

$$\tilde{\delta} = \frac{q_n}{c}$$

kde  $q_n$  ... maximální normálné zatížení šířky pracovního zuba  
v [kp/cm]

$c$  ... měrná tuhost zuba v [kp/cm<sup>2</sup>]

Podobně jako v předchozím případě tuhost zuba nezávisí na mo-

dulu a počítá se pro oblast pólu záběru:

Pro ocelová ozubená kola s přímými zuby	c = 180 000 kp/cm <sup>2</sup>
Pro ocelová ozubená kola se šikmými zuby při $\beta < 20^\circ$	c = 280 000 "
Pro ocelová ozubená kola se šikmými zuby a šípovými zuby při $\beta > 20^\circ$	c = 225 000 "
Pro přímá kola ozubená (ocel-litina)	c = 110 000 "
Pro litinová přímá ozub. kola	c = 75 000 "

Průměrná hodnota úhlu sklonu hřídelů:

$\operatorname{tg} \gamma = \frac{1}{500}$  při umístění kola blízko opory, velká vzdálenost  
mezi oporami, malá tuhost hřídele

$\operatorname{tg} \gamma = \frac{1}{1000}$  kolo blízko opory, velká vzdálenost opor, ale tuhý  
hřídel (ohybové napětí  $60 \leq 500 \text{ kp/cm}^2$ )

$\operatorname{tg} \gamma = \frac{1}{2000}$  kolo uprostřed opor

Dynamické zatížení vzniká nazubech ozubených kol v případech nepřesné výroby a montáže ozubeného kola na hřídel, při deformaci zubů, hřídelů i opor, při změně okamžitého převodového poměru, atd. Dynamické zatížení zapříčinuje v převodu hluk a chvění, pošaruje tenkou vrstvu mazacího oleje, zvyšuje se koeficient tření na boku zubů a dochází k rychlému porušení boku zubů ozubených kol.

Koeficient dynamického zatížení  $k_f$  se vypočítá empirickým výrazem závislým na obvodové rychlosti  $v$  [m/s]:

$$k_f = \frac{c_v + v}{c_v}$$

kde  $c_v$  ... koeficient, který se pohybuje v intervalu 6 až 12.

Hodnota koeficientu  $c_v$  závisí na přesnosti výroby a pevnosti materiálu ozubeného kola. Předpokladem bezrázového vstupu a výstu-

pu ze záběru jsou co možná nejpřesnější základní rozteče obou kol. Jestliže je rozteč základní kružnice hnaného kola větší než rozteč základní kružnice kola hnacího, dojde k rázům při vstupu do záběru. Jestliže rozteč základní kružnice hnaného kola je menší než rozteč základní kružnice kola hnacího, dojde k rázům při výstupu ze záběru.

Dynamické zatížení je vypočítáno z následujícího výrazu:

$$F_d = P_h + u \cdot b = P_h \cdot k_d$$

kde  $u$  .... dynamické zatížení na jednotkové šířce ozub.kola  
Hodnota veličiny  $u$  se zjišťuje přibližně výrazem:

$$u = 0,8 \cdot v \cdot \sqrt{\frac{A(\Delta_o - \Delta_h)}{i}} \quad [k_p/cm]$$

kde  $v$  ... obvodová rychlosť ozubeného kola  $v [m/s]$

$A$  ... osová vzdáenosť  $v [cm]$

$i$  ... převodový poměr

$\Delta_o = \sqrt{\Delta t_{o1}^2 + \Delta t_{o2}^2}$  ... maximální možný rozdíl mezi  
max. základní roztečí pastorku a minim. základní  
roztečí hnaného kola, [ $\mu m$ ]

$\Delta_h$  ... vyrovnávání chyb při záběru mazacím olejem

Když  $\Delta_o > 10 \mu m$ , pak je  $\Delta_h = 5 \mu m$

$\Delta_o < 10 \mu m$ , pak je  $\Delta_h = 0,5 \Delta_o \mu m$

Za mezní hodnotu dynamického zatížení je povážována síla, která způsobí takovou deformaci zubového páru, že je rovná výpočetové hodnotě chyby základní rozteče.

$$u_{max} = c \cdot (\Delta_o - \Delta_h) = 16,5 \cdot (\Delta_o - \Delta_h)$$

Takové dynamické zatížení by bylo na ozubených kolech, která by se otáčela s nekonečně velkou rychlosťí nebo by měla nekonečně

velkou hmotu. Jak je vidět, dynamické zatížení se zvyšuje přímo úměrně s obvodovými rychlostmi a hmotou a zmenšuje s růstem přesnosti výroby ozubeného kola. /11/

Při záběru šikmého ozubeného kola a šípového ozubeného kola je dynamické zatížení menší než při záběru přímého ozubeného kola. Hodnoty koeficientu dynamického zatížení z tab. 2.3 můžeme používat pro běžný technický výpočet ozubených kol.

## 2.6. Typy poškození zubů ozubených kol

Ozubené soukolí lze označit za porouchané, není-li schopno nadále přenášet rotační pohyb s dostatečně konstantním převodovým poměrem. Za výstižnější - i když méně přesnou - lze považovat tuto definici poruchy: ozubení je porouchané, jestliže zuby dosáhly takového stavu, že osoba odpovědná za správný chod soukolí dospívá k názoru, že toto soukoplí pravděpodobně nevydrží v provozu v uspokojivém stavu do doby dané požadovanou životností. Za zcela zřejmou poruchu soukolí je nutno považovat stav, při kterém vlivem lomu nebo deformací jednoho člena nedochází k přenosu rotačního pohybu na člen druhý. Tento druh poruchy se vyskytuje jen zřídka.

Každou viditelnou nebo slyšitelnou odchylku od původního stavu soukolí můžeme pokládat za poruchu, popř. počínající poruchu, a v tomto smyslu může být způsobena:

- a) vadným materiálem zub. kol,
- b) nesprávnou výrobou ozubených kol,
- c) nevhodným mazivem,
- d) cizím tělesem v mazivu,

e) nesprávnou montáží ozubených kol,

f) poddimensováním ozubených kol se zřetelem na přenášený výkon.

Ulamí-li se zub, znamená to, že vlivem zatížení došlo (alespoň místně) k překročení přípustného tahového napětí materiálu ozubeného kola, což může být způsobeno příčinami, uvedenými pod a), b), e) nebo f).

Nastane-li deformace boku zubů, pak vlivem zatížení došlo (alespoň místně) k překročení přípustného kontaktního napětí materiálu ozubeného kola, což může být způsobeno kteroukoli ze shora uvedených příčin. K zadírání, tj. k místnímu sváření materiálů obou členů, k jejich vytrhávání a přenášení ve směru relativního pohybu dochází tehdy, jsou-li kola mazána nevhodným mazivem, které nemůže vzdorovat kombinaci vlivů kluzné rychlosti a měrného tlaku nebo nedostatku maziva.

Tvorba pittingů může být takového rozsahu, že zasáhne téměř celou aktivní plochu zuba, takže pak dosud neporušené partie boku zuba jsou značně přetíženy a dochází k jejich odprýskání nebo ke značné plastické deformaci. Takto zdrsněné povrchy boků zubů se vzájemně odírají, čímž jsou zuby zeslabovány a mohou se ulomit.

Pitting je poškození povrchové vrstvy zubů ozubených kol.

Při opakovém místním působení vysokých specifických tlaků vznikají na povrchu materiálu únavové jevy. V praxi vzniká kontaktní únava zpravidla při opakovém odvalu nebo při odvalu s částečným skluzem. Při kontaktní únavě jsou první stadia rozvoje únavových jevů v podstatě stejná jako při únavě celku. Vznikají únavové poruchy, z nichž některé se stanou kritickými a mohou být zárodkiem únavového lomu. Zárodek únavového lomu se šíří a vzniká únavová trhlina. Další stadium je typické pro

kontaktní únavu. Přesobením napětí v okolí trhlinky se materiál vydroluje a vzniká důlek, který se popř. dále zvětšuje.

Kontaktní úava povrchu způsobuje tvoření důlků u velmi namáhaných ozubených kol. Rovněž způsobuje otloukání čel přesouvaných ozubených kol převodovek. Podle Hertzovy analýzy, rozložení napjatosti ve válcových tělesech, která jsou na sebe navzájem přitlačována, není maximum smykového napětí na povrchu, ale v určité hloubce pod povrchem.

Při kontaktní úavě povrchu se tvoří dva typy důlků, Malé důlky, které se zpravidla už dále nešíří a nebývají škodlivé. Hloubka těchto důlků je podstatně menší než hloubka, ve které jsou největší smyková napětí a obyčejně neořesahuje 0,05 až 0,1 m. Podle Buckinghama se malé důlky tvoří z trhlinek vznikajících na povrchu. Hlavní úlohu při jejich tvoření má povrch jako oblast náchylná k rozvoji únavových jevů. V pozdějších stadiích dochází ke vzniku hlubokých důlků, které se dále šíří a vedou k rozrušení povrchu. Podle Buckinghama se tyto hluboké důlky tvoří z trhlin vznikajících pod povrchem v oblasti největších smykových napětí.

V těsné blízkosti míst, v nichž dochází k plastické deformaci materiálu, jsou místa, v nichž existují vysoká napětí blízká mezi pružnosti materiálu. Při rotaci ozubeného kola působí na styčné plochy opakováne zatížení, které má za následek rozširování podpovrchových trhlinek. Tyto trhlinky obvykle leží v rovinách nejvyššího smykového napětí, které jsou k povrchu boku zuba skloněny pod úhlem  $45^{\circ}$ . To usnadňuje pochopení vzniku pittingů na povrchu boků po dlouhodobém provozu ozub. kol.

Uvážíme-li vliv současného působení měrného skluzu mezi oběma povrhy boků zubů, vliv rohybu stykové čáry a vliv hydrodynamickeho účinku maziva, pak lépe pochopíme proč pittingy obvykle

vznikají v značném počtu v oblasti pod valivou kružnicí, zatím co na ostatních částech boků zubů se prakticky nevyskytuje. Za zvláštních okolností může ovšem docházet k tvorbě pittingů i nad valivou kružnicí. Můžeme si představit, že alespoň v oblastech velké kluzné rychlosti je část zatížení přenášena pomocí hydrodynamického tlaku a klinového účinku olejového filmu. Dnes převládá názor, že tento vliv není podstatný, zatím co rozbor naznačuje, že za přítomnosti olejového filmu mohou místní napětí nabýt vyšších hodnot než při styku zubů bez oleje. Lze předpokládat, že tlustý olejový film hustého oleje bude mít vliv na snížení dynamických zatížení zubů. Tento předpoklad byl několikanásobně prokázán pokusem. Jiné pokusy ukázaly, že dynamické zatížení zubů klesalo se zmenšováním vizekzity oleje.

## 2.7. Výpočet kontaktní pevnosti ozubených kol

### 2.7.1 Základní výrazy podle Hertze a Beljajeva

Na základě výsledků Hertzova řešení dvou pružných válců stanovil Beljajev konkrétní postup při výpočtu kontaktního namáhání ozubených kol.

Dva pružné válce se stýkají v přímce. Zavedeme-li v bodu záběru souřadný systém X0Y, pak vzdálenost dvou bodů je (viz obr. 2.7):

$$z = f(x) \cdot y^2$$

kde  $f(x)$ ... polovina součtu maximálních křivostí stykových ploch v bodech styku na počátku stlačování.

Síly vyvolávající zatížení na válcích mají stejnou velikost a leží na ploše X0Z na kontaktní přímce. Přiblížení dvou

pružných válců vypočítáme: /

$$\omega_0 = A_0 (1 + A_1 x)$$

kde  $A_0$  a  $A_1 \dots$  konstanty

Polovina šířky stykové plochy je:

$$b(x) = \sqrt{C \cdot \frac{1 + A_1 x}{f(x)}}$$

kde  $c = \mathcal{J} \cdot \frac{P}{l}$

$$\mathcal{J} = \frac{1 - \nu_1^2}{\pi \cdot E_1} + \frac{1 - \nu_2^2}{\pi \cdot E_2}$$

kde  $A_1 \dots$  koeficient charakterizující změnu šířky stykové plochy podél souřadnice x

P ... zatížení

l ... polovina délky stykové plochy

$\nu_1, \nu_2 \dots$  Poissonova konstanta materiálu

$E_1, E_2 \dots$  moduly pružnosti materiálů

Odtud jednotkový tlak  $P'$  působící na stykové ploše je:

$$P' = \frac{P}{2l} (1 + A_1 x)$$

Rozložení tlaku podél stykové přímky na počátku stlačování P(x, 0) a tlak v libovolném bodě stykové plochy se vypočítají:

$$P(x, 0) = \frac{2P'}{\pi \cdot b(x)}$$

$$P(x, y) = \frac{2P'}{\pi \cdot b(x)} \cdot \sqrt{1 - \left[ \frac{y}{b(x)} \right]^2}$$

Napětí v libovolném bodě stykové plochy lze zjistit z následujících výrazů:

$$\tilde{\sigma}_x = - \frac{4 \cdot \nu \cdot P'}{\pi \cdot b(x)} \cdot e^{-\alpha} \sin \beta$$

$$\tilde{\sigma}_y = - \frac{2P'}{\pi \cdot b(x)} \cdot \left\{ e^{-\alpha} \sin \beta - \sin \beta \cdot \sinh \alpha \cdot \left[ 1 - \frac{\sinh 2\alpha}{\cosh 2\alpha - \cos 2\beta} \right] \right\}$$

$$\tilde{\sigma}_z = - \frac{2P'}{\pi \cdot b(x)} \cdot \left\{ e^{-\alpha} \sin \beta + \sin \beta \cdot \sinh \alpha \cdot \left[ 1 - \frac{\sinh 2\alpha}{\cosh 2\alpha - \cos 2\beta} \right] \right\}$$

$$\tilde{\tau}_{yz} = - \frac{2P}{\pi \cdot b(x)} \cdot \sinh \alpha \cdot \sin \beta \cdot \frac{\sin 2\beta}{\cosh 2\alpha - \cos 2\beta}$$

$$\tilde{\tau}_{xy} = \tilde{\tau}_{zx} = 0$$

Pro body na stykové ploše při  $\alpha = 0$  a  $\cos \beta = \frac{y}{b(x)}$

pak platí:

$$\tilde{\sigma}_x = - \frac{4 \cdot \vartheta \cdot P'}{\pi \cdot b(x)} \cdot \sqrt{1 - \left(\frac{y}{b(x)}\right)^2}$$

$$\tilde{\sigma}_y = \tilde{\sigma}_z = - \frac{2P'}{\pi \cdot b(x)} \cdot \sqrt{1 - \left(\frac{y}{b(x)}\right)^2}$$

$$\tilde{\tau}_{xy} = \tilde{\tau}_{yz} = \tilde{\tau}_{zx} = 0$$

Maximální napětí na stykové ploše dostaneme na ose OX při  $y = 0$ :

$$\tilde{\sigma}_x = - \frac{4 \cdot \vartheta \cdot P'}{\pi \cdot b(x)}$$

$$\tilde{\sigma}_y = \tilde{\sigma}_z = - \frac{2P'}{\pi \cdot b(x)}$$

$$\tilde{\tau}_{xy} = \tilde{\tau}_{yz} = \tilde{\tau}_{zx} = 0$$

Podle třetí teorie nevnosti Beljajev ukazoval, že maximální tangenciální napětí je v hloubce pod povrchem. Tato hloubka se vypočítá z následujícího výrazu:

$$z = 0,786 b(x);$$

hodnota největšího tangenciálního napětí v tomto bodě je:

$$\tau_{max} = 0,304 \cdot p(x; 0)$$

Rozložení namáhání na stykové ploše je znázorněno na obr. 2.19 /12/.

U ozubeného převodu mazaného olejem, tloušťka olejové vrstvy ovlivňuje základní stav napětí materiálů. Proto je potřeba vyčítat tloušťku mazací olejové vrstvy mezi zuby:

$$h(x) = \frac{1,13}{[P/2l \cdot \eta]^{0,091}} \cdot \left\{ \frac{[\mu, \ln(v_1 + v_2)]^2}{2 \cdot f(x)} \right\}^{0,364}$$

kde  $v_1$  a  $v_2$  ... obvodová rychlosť boků zubů.

$\mu$ , ... výzkozita oleje a při  $(v_1 - v_2) \leq 10 \text{ m/s}$  za ní můžeme dosazovat výzkozitu oleje při atmosferickém tlaku a teplotě, která je shodná s teplotou pohybujících se povrchů. Hodnotu veličiny a při  $(v_1 - v_2) \leq 10 \text{ m/s}$  můžeme položit rovnou piezoeffekcienu výzkozity při stejných podmínkách. Při  $(v_1 - v_2) \geq 10 \text{ m/s}$  se hodnota  $\ln(v_1 + v_2)$  zmenšuje o 30% oproti hodnotě při  $(v_1 - v_2) \leq 10 \text{ m/s}$ .

Pоловinu šířky stykové plochy v tomto případě lze vypočítat z výrazu:

$$b(x) = \frac{\sqrt{c' \cdot (1 + A_0 \cdot x + \frac{h(x) - h_{min}}{A_0})}}{f(x)}$$

kde

$$c' = \eta \cdot D$$

$$D = \frac{P}{(1 - \frac{h_{min}}{A_0}) \cdot l + N}$$

$$N = \frac{1}{2 \cdot A_0} \cdot \int_{-l}^{+l} h(x) \cdot dx$$

$$A_0 = c \cdot \left[ \ln l \sqrt{\frac{f(0)}{c}} + 1,8864 \right]$$

kde  $l \dots$  polovina délky stykové přímky.

Odtud se vypočítají veličiny následující:

$$P' = \frac{D}{2} \cdot \left[ 1 + A_0 \cdot x + \frac{h(x) - h_{\min}}{A_0} \right]$$

$$P(x, 0) = \frac{2P'}{\pi \cdot b(x)}$$

$$P(x, y) = \frac{2P'}{\pi \cdot b(x)} \cdot \sqrt{1 - \left( \frac{y}{b(x)} \right)^2}$$

Všechna základní napětí v oblasti namáhání lze vypočítat podle výrazů Beljajeva, ale musíme do nich dosadit veličiny  $P'$  a  $b(x)$  platné pro výpočet s ohledem na mazání. Víme, že rozložení tlaků na stykové ploše ovlivňuje koeficient tření stykové plochy. Mnoho autorů vyřešilo tuto úlohu s předpoklady:

- třecí síla neovlivňuje zákonitost rozložení normálního namáhání a šířku stykové plochy
- tangenciální zátížení v každém bodě stykové plochy je přímo úměrné normálnemu tlaku:

$$-q(y) = f p(y)$$

kde  $f \dots$  koeficient tření skluzového.

Jednotlivá napětí včetně koeficientu tření se vypočítají z následujících výrazů M.M. Saverina:

$$\tilde{\sigma}_x = \frac{4 \cdot \vartheta \cdot P'}{\pi \cdot b(x)} \cdot e^{-\alpha} \left[ f_t \cdot \cos \beta - \sin \beta \right]$$

$$\tilde{\sigma}_y = \frac{2P'}{\pi \cdot b(x)} \cdot \left[ f_t \left( 2e^{-\alpha} \cos \beta - \sin \beta \cdot \operatorname{sh} \alpha - \frac{\sin 2\beta}{\operatorname{ch} 2\alpha - \cos 2\beta} \right) + \right.$$

$$\left. - e^{-\alpha} \sin \beta + \sin \beta \cdot \operatorname{sh} \alpha \left( 1 - \frac{\operatorname{sh} 2\alpha}{\operatorname{ch} 2\alpha - \cos 2\beta} \right) \right]$$

$$\tilde{\sigma}_z = \frac{2P^1}{\pi \cdot b(x)} \cdot \left[ f_1 \cdot \sin \alpha \cdot \sin \beta \cdot \frac{\sin 2\beta}{\sin 2\alpha - \cos 2\beta} - e^{-\alpha} \sin \beta + \right.$$

$$\left. - \sin \beta \cdot \sin \alpha \left( 1 - \frac{\sin 2\alpha}{\sin 2\alpha - \cos 2\beta} \right) \right]$$

$$\tilde{\sigma}_{yz} = \frac{2P^1}{\pi \cdot b(x)} \left\{ f_1 \left[ e^{-\alpha} \sin \beta - \sin \beta \sin \alpha \left( 1 - \frac{\sin 2\alpha}{\sin 2\alpha - \cos 2\beta} \right) \right] + \right.$$

$$\left. - \sin \alpha \cdot \sin \beta \cdot \frac{\sin 2\alpha}{\sin 2\alpha - \cos 2\beta} \right\}$$

$$\tilde{\sigma}_{xy} = \frac{2P^1}{\pi \cdot b(x)} \cdot f_2 \cdot e^{-\alpha} \cos \beta$$

$$\tilde{\sigma}_{zx} = \frac{2P^1}{\pi \cdot b(x)} \cdot f_2 \cdot e^{-\alpha} \sin \beta$$

kde je  $f_1 = f_1 \cdot \sin \varphi$  a  $f_2 = f_2 \cdot \cos \varphi$

$$\sin \alpha = \frac{1}{b(x)} \cdot \frac{z}{\sin \beta}$$

$$\cosh \alpha = \sqrt{1 + \sin^2 \alpha}$$

$$e^{-\alpha} = \cosh \alpha - \sinh \alpha$$

kde  $\varphi$  ... úhel, který je tvořen směrem tangenciálního napětí s počáteční stykovou přímkou ve stykové ploše.

Všechny horní výrazy jsou odvozeny v následujících křivkových elipsovité souřadnicích

$$y = b \cdot \cosh \alpha \cdot \cos \beta$$

$$z = b \cdot \sinh \alpha \cdot \sin \beta$$

Maximální hodnoty ekvivalentního normálného napětí se ve statickém stavu (pro pružný a křehký materiál) nebo v dynamickém stavu (pro pružný materiál) vypočítají podle výrazů M.M. Saverina:

$$\rho_{(H)} = \frac{\rho \cdot R_{tl}}{\tilde{\sigma}_{ek} / \rho_{(H)}}$$

kde  $\delta$  ... konstanta, která vyjadřuje vliv nehomogenního stavu namáhaní v nebezpečné oblasti.

$R_u$  ... přípustné napětí v tlaku

$\tilde{\sigma}_{ek}$  ... ekvivalentní napětí, které je největší ze tří níže uvedených hodnot.

Rozborom teorie ukázal M.M. Saverin, že existují tři oblasti stykové plošky, kde může být ekvivalentní napětí největší: a) v určité hĺbce pod povrchem stykové plochy;  
b) na obvodu stykové plochy;  
c) na povrchu stykové plochy.

Označíme-li příslušná ekvivalentní napětí  $\tilde{\sigma}_{ek.hl}$ ,  $\tilde{\sigma}_{ek.p}$ ,  $\tilde{\sigma}_{ek.k}$ , pak můžeme psát:

$$\tilde{\sigma}_{ek.hl} = P_{(H)} \cdot 0,56 \cdot \sqrt[3]{k} \cdot (1 + 1,6 \cdot f^2)$$

$$\tilde{\sigma}_{ek.p} = 1,73 \cdot P_{(H)} \cdot \frac{f}{k} \cdot \sqrt{1 - (1-k) \cdot \cos 2\varphi}$$

$$\tilde{\sigma}_{ek.k} = P_{(H)} \cdot \sqrt{k} \cdot \left[ \sqrt{0,16 + 3f^2} - 0,2 \cdot (1-k) \right]$$

kde je:

$$\begin{aligned}\tilde{\sigma}_{ek} &= \frac{1-k}{2} \left[ \tilde{\sigma}_x + \tilde{\sigma}_y + \tilde{\sigma}_z \right] + \\ &+ \sqrt{\left(\frac{1-k}{2}\right)^2 (\tilde{\sigma}_x + \tilde{\sigma}_y + \tilde{\sigma}_z)^2 + \frac{k}{2} \left[ (\tilde{\sigma}_x - \tilde{\sigma}_y)^2 + (\tilde{\sigma}_y - \tilde{\sigma}_z)^2 + (\tilde{\sigma}_z - \tilde{\sigma}_x)^2 + \right.} \\ &\quad \left. + 6 (\tilde{\tau}_{xy}^2 + \tilde{\tau}_{yz}^2 + \tilde{\tau}_{zx}^2) \right]}\end{aligned}$$

$$\tilde{\sigma}_{ek} \leq \tilde{\sigma}_{ktl}$$

$$k = \frac{\tilde{\sigma}_{kt}}{\tilde{\sigma}_{ktl}}$$

Když je tangenciální zatížení malé, pak vypočítáme a pro stanovení bezpečnosti uvažujeme  $\tilde{\sigma}_{ek.hl}$ . Když je tangenciální zatížení velké, pak pracujeme se  $\tilde{\sigma}_{ek.p}$  pro pružný materiál a se  $\tilde{\sigma}_{ek.k}$  pro křehký materiál, protože křehký materiál má pevnost v tahu nižší než pevnost v tlaku a na obvodu stykové plochy

je tahové namáhání.

Prakticky pro pružný materiál hodnotíme únavovou pevnost v provozu při nesouměrném cyklu s malým napětím podle následujícího výrazu:

$$\tilde{\sigma}_{ek}^* = \frac{1}{\sqrt{2}} \cdot \sqrt{(\tilde{\sigma}_x - \tilde{\sigma}_y)_v^2 + (\tilde{\sigma}_y - \tilde{\sigma}_z)_v^2 + (\tilde{\sigma}_z - \tilde{\sigma}_x)_v^2 + 6(\tilde{\epsilon}_{xy}^2 + \tilde{\epsilon}_{yz}^2 + \tilde{\epsilon}_{zx}^2)_v}$$
$$\tilde{\sigma}_{ek}^* \leq \tilde{\sigma}_{-1}$$

Obdobným rozborom jako dříve bylo  $\tilde{\sigma}_{ek}$  vypočítáno dosazéním z místo  $\alpha$  podle podmínky Lame'a a nyní máme dva body v oblasti stykové plochy, kde může být  $\tilde{\sigma}_{ek}^*$  největší:

- v určité hloubce pod povrchem stykové plochy
- na obvodu stykové plochy.

Maximální hodnota se vypočítá:

$$P_{(H)} = \frac{\xi \cdot \tilde{\sigma}_{-1}}{\tilde{\sigma}_{ek}^* / P_{(H)}}$$

kde  $\tilde{\sigma}_{ek}^*$  ... ekvivalentní napětí, za nějž dosazujeme větší ze dvou následujících výrazů:

$$\tilde{\sigma}_{ek,H}^* = (0,54 + 0,17f) \cdot P_{(H)}$$

$$\tilde{\sigma}_{ek,K}^* = [0,2 + 0,93 \cdot \sqrt{6f_1^2 + f_2^2} + 1,5(f_2^2 - f_1^2)] \cdot P_{(H)}$$

kde  $\tilde{\sigma}_{-1}$  ... mezi únavy ve střídavém souměrném tahu.

Index v ve výrazu pouze vyjadřuje, že amplituda namáhání má hodnotu "plus" nebo "minus".

$$\xi = \frac{(\tilde{\sigma}_{-1})_o}{\tilde{\sigma}_{-1}} \quad \text{a} \quad (\tilde{\sigma}_{-1})_o \quad \dots \text{mezi únavy v ohybu za rotační materiálu.}$$

Když je tangenciální zatížení nízké, pak počítáme dále se a když je tangenciální zatížení velké, pak musíme použít  $\tilde{\sigma}_{ek,K}^*$ .

Všechny výše uvedené výrazy můžeme použít i pro jiné případy záběru boků zubů s kontaktními přímkami a také je můžeme použít pro výpočet Archimedova šnekového soukoli.

Veličina  $f(x)$  vypočítá se takto:

Pro čelní přímá ozubená kola:

$$f(x) = a_0 = \text{const.}$$

kde

$$a_0 = \frac{1}{2r_0 \cdot \theta_{x1}} \left[ 1 + \frac{1}{\frac{1}{\theta_{x1}} \cdot (1 \pm i) \cdot \operatorname{tg} \alpha - 1} \right]$$

Pro čelní šikmá ozubená kola je:

$$f(x) = \frac{1}{a_1 x^2 + b_1 x + c_1}$$

Pro přímá kuželová ozubená kola je:

$$f(x) = \frac{1}{a_2 x + b_2}$$

Do výše uvedených výrazů dosazujeme:

$$\theta_{x1} = \pm \frac{A \sin \alpha_c - \sqrt{R_{e2}^2 - r_{o2}^2}}{r_{o1}}$$

kde A ... osová vzdálenost ozubeného kola

$\alpha_c$  ... záběrový úhel čelní

$$\alpha_1 = -2 \frac{\sin \beta_0 \cdot \operatorname{tg} \beta_0}{\alpha'}$$

$$b_1 = 2 \cdot \operatorname{tg} \beta_0 \cdot \left( 1 - 2 \frac{b'}{\alpha'} \right)$$

$$\alpha' = r_{o1} \cdot (1 \pm i) \cdot \operatorname{tg} \alpha_c$$

$$b' = r_{o1} \cdot \theta_{x1} + 1 \cdot \sin \beta_0$$

$$c_1 = \frac{2}{\cos \beta_0} \cdot b' \left( 1 + \frac{b'}{\alpha'} \right)$$

$$a_2 = 2 \frac{r_{o1}}{r_{o1} \cdot \theta_{x1}} \left( 1 - \frac{1}{L} \right) \left[ 1 - \frac{\theta_{x1}}{(1+i^2) \cdot \operatorname{tg} \alpha} \right]$$

$$b_2 = - \frac{a_2}{L \gamma l}$$

Potom vypočítáme hodnoty  $A_1$  a  $h(x)$ :

Pro čelní ozubená kola  $A_1 = 0$ ;

Pro kuželová kola  $A_1 = -\frac{1}{L}$ ;

Pro čelní přímá ozub. kola :

$$h(x) = k_1 = \frac{1,13}{\left(\frac{P}{2l} \cdot M\right)^{0,091}} \left[ \frac{(c_{u_1} \ln a \cdot a_4 \cdot \omega_r)^2}{2a_0} \right]^{0,364}$$

Pro čelní šikmá ozub. kola:

$$h(x) = k_2 \cdot \left[ (a_2 x^2 + b_2 x + c_2)(a_4 + b_4 x)^2 \right]^{0,364}$$

$$k_2 = \frac{1,13}{\left(\frac{P}{2l} \cdot M\right)^{0,091}} \left[ \frac{(c_{u_1} \ln a \cdot \omega_r)^2}{2} \right]^{0,364}$$

Pro přímá kuželová ozubená kola:

$$k_3 = k_2$$

$$h(x) = k_3 \left[ (a_2 + b_2 x)(a_4 + b_4 x)^2 \right]^{0,364}$$

$$b_4 = \sin \beta_0 \left( 1 - \frac{1}{c} \right)$$

$$a_4 = \frac{r_{01}}{c} \left[ (1+i) \tan \alpha_{i'} + (i-1) \cdot \theta_{x1} \right] + b_3 \cdot l$$

## 2.7.2 Výpočet podle normy ČSN 01 4686

V ČSSR byl výpočet čelních a kuželových kol normalizován v ČSN 01 4686, řešení je založeno v podstatě na upravené metodě Merrittově.

Výpočet se provádí na ohyb a na otlačení. Při kontrole rozměrů ozubení se vychází ze vztahu pro přípustnou sílu

$$P_o = \pi \cdot c \cdot b \cdot m$$

při čemž srovnávací hodnota  $c$  není jen funkcí  $\tilde{\sigma}_{Dov}$ , ale je závislá na základním dovoleném napětí  $\tilde{\sigma}_D$ , na činiteli rychlostním  $r$  a na tvarovém součiniteli  $y$ . Srovnávací hodnoty se vyšetřují

pro pastorek i pro kolo, takže vzniknou čtyři hodnoty, z nichž nejmenší c je rozhodující pro určení přípustné síly.

Pro ohyb bude tedy platit:

$$P_o = \pi \cdot c_o \cdot b \cdot m$$

Pro pastorek je:

$$c_{o_1} = \frac{\tilde{b}_{D_{o_1}} \cdot r_{o_1}}{y_{o_1}}$$

Pro kolo je:

$$c_{o_2} = \frac{\tilde{b}_{D_{o_2}} \cdot r_{o_2}}{y_{o_2}}$$

Pro otlačení platí vztahy:

$$P_{d_d} = \pi \cdot c_d \cdot b \cdot m$$

Pro pastorek je:

$$c_{d_1} = \frac{\tilde{b}_{D_{d_1}}}{u} \cdot r_{d_1} \cdot \frac{1}{y_d}$$

Pro kolo je:

$$c_{d_2} = \frac{\tilde{b}_{D_{d_2}}}{u} \cdot r_{d_2} \cdot \frac{1}{y_d}$$

Hodnoty  $\tilde{b}_o$  a  $\tilde{b}_{d_d}$  závisí na materiálu a jeho zpracování a jsou uvedeny v tabulce (2.4); činitelé rychlostní  $r_o$ ,  $r_d$  závisí na otáčkách řešeného pastorku nebo kola a na požadované trvanlivosti v hodinách; hodnoty jsou uvedeny v obr. 2.20. Tvarový součinitel pro ohyb  $y_o$  závisí na druhu ozubení, úhlu záběru  $\alpha$ , počtu zubů pastorku  $z_1$  a převodu  $i = \frac{z_2}{z_1}$ ; hodnoty  $y_o$  pro ozubení běžné jsou na obr. 2.21 a pro ozubení korigované na obr. 2.22. Tvaroví činitelé platí pouze pro korekci dle Merritta, při jiných korekcích se liší a je třeba je zvláště vyšetřit (např. kreslením). Výraz  $u = \left(\frac{m}{10}\right)^{\alpha^2}$  je zakreslen v obr. 2.23.

Tvarový činitel  $y_d$  (pro pastorek i kolo) závisí na druhu ozubení, úhlu záběru  $\alpha$ , počtu zubů pastorku  $z_1$  a převodu  $i$ :

je zakreslen pro ozubení běžné na obr. 2.24 a pro ozubení korigované na obr. 2.25. U vnitřního ozubení se hodnota  $y_{02}$  pro kolo dělí výrazem  $\delta e = 1 + \frac{10}{z_2}$  a hodnota  $y_d$  násobí hodnotou  $f = \left(\frac{i-1}{i+1}\right)^{0.8}$ , která je zobrazena na obr. 2.26. Postup při hledání tvarových činitelů je uveden v tabulkách /13/.

Všechny čtyři srovnávací hodnoty c mají být s ohledem na hospodárné dimenze soukolí přibližně stejné. Důležitou roli zde hraje volba vhodných materiálů spoluzabírajícího pastorku a kola; z minimální hodnoty c vyplývá  $B = \pi c b m$  a přeúšený výkon :

$$N_D = \frac{B \cdot v}{75} \quad [k]$$

$$v = \frac{\pi \cdot d_1 \cdot n_e}{60} \quad [m/s]$$

Uvedené hodnoty platí pro 6. stupeň přesnosti ozubení: pro jiné stupně přesnosti nabude rovnice pro přípustnou sílu výrazu

$$P_D = \pi \cdot c b m \zeta u$$

kde  $\zeta u = 1,10$  pro 4. stupeň přesnosti

$\zeta u = 0,80$  pro 8. stupeň přesnosti.

### 3. Výpočet kontaktní pevnosti tvrzených ozubených kol

#### 3.1. Kontaktní namáhání

Namáhání zubů v otlačení závisí na velikosti Hertzova kontaktního tlaku ve valivém bodě. Jeho velikost se vypočte ze vztahu:

$$\rho_H = \sqrt{0,35 \cdot \frac{\rho_n \cdot E}{2b} \cdot \frac{\rho_1 + \rho_2}{\rho_1 \cdot \rho_2}}$$

kde  $\rho_n$  ... normálná síla na zub

$E$  ... modul pružnosti

$b$  ... délka zuba v záběru

$\rho_1, \rho_2$  ... poloměry křivosti boků zuba ve valivém bodě.

Kontaktní napětí v podmínkách záběru boků zuba vyvolává v materiálu trojosou napjatost. Pro houževnaté materiály je rozhodující redukované hlubinné napětí

$$\tilde{\sigma}_H = 0,56 \cdot \rho_H \cdot \sqrt[k]{(1 + 1,6 \cdot f^2)}$$

kde

$$k = \frac{\tilde{\sigma}_{kt}}{\tilde{\sigma}_{kh}}$$

$f$  ... koeficient tření mezi boky zuba.

Toto hlubinné napětí vzniká pod povrchem v hloubce z:

$$z = 1,155 \cdot \sqrt{\frac{\rho_n}{b \cdot E} \cdot \frac{\rho_1 \cdot \rho_2}{\rho_1 + \rho_2}}$$

a má charakter tlakového míjivého namáhání.

K určení kontaktní únosnosti zuba je třeba stanovit mez únavy při míjivém namáhání v tlaku. Z výsledků běhových zkoušek ozubených kol vyplývá, že únosnost boků zuba v otlačení závisí na tvrdosti, průběhu tvrdosti a hloubce povrchové tvrzené vrstvy

a na jakosti materiálu, jakosti povrchové vrstvy a pevnosti jádra zuba.

Mez únavy při střídavém namáhání povrchové tvrzeného materiálu vypočteme ze vztahu:

$$\tilde{\sigma}_{\text{ad}} = (1 - \eta_d) \cdot \tilde{\sigma}_{pj} + 0,13 (\tilde{\sigma}_{pp} - \tilde{\sigma}_{pj})$$

kde  $\eta_d = \left( \frac{\tilde{\sigma}_{pj}}{\tilde{\sigma}_{pp}} \right)^2 \left[ \frac{2(1+\gamma)}{3} \right]$

$\eta_d$  ... citlivost materiálu

$\tilde{\sigma}_{pj}$  ... mez pevnosti jádra v tahu

$\tilde{\sigma}_{pj}$  ... mez kluzu jádra v tahu

$\tilde{\sigma}_{pp}$  ... mez pevnosti povrchové tvrzené vrstvy v tahu, zjištěná z tvrdosti povrchu.

Mez únavy míjivého namáhání v tahu  $\tilde{\sigma}_{\text{ad}}$  vypočteme výrazem:

$$\frac{\tilde{\sigma}_{\text{ad}}}{2} = \frac{\tilde{\sigma}_{\text{ad}}}{1 - (1 - \eta_d) \cdot \frac{\tilde{\sigma}_{pj}}{\tilde{\sigma}_{pp}} \cdot \eta_d}$$

Takto vypočtené  $\tilde{\sigma}_{\text{ad}}$  je mez únavy zubů při míjivém namáhání v tlaku pro celkový počet cyklů  $N_0 = 5 \cdot 10^6$  a musí tedy platit:

$$\tilde{\sigma}_h \leq \tilde{\sigma}_{\text{ad}}$$

Při stanovení únosnosti zubů v otlačení zjistíme skutečný počet cyklů  $N$  za dobu životnosti a vypočteme přípustnou mez  $\tilde{\sigma}_{\text{ad}}$  podle charakteru únavové křivky:

$$(\tilde{\sigma}_{\text{ad}}^N)^m \cdot N = (\tilde{\sigma}_{\text{ad}}^m)^m \cdot N_0$$

$$\tilde{\sigma}_{\text{ad}}^N = \tilde{\sigma}_{\text{ad}}^m \sqrt[m]{\frac{N_0}{N}}$$

Pro podmínky namáhání zubů ozubených kol je

$$m = 6 + 14,0; \text{ při } N_0 = 5 \cdot 10^6$$

a pak

$$\tilde{\sigma}_{\text{ad}}^N = \tilde{\sigma}_{\text{ad}}^m \sqrt[m]{\frac{5 \cdot 10^6}{N}} \geq \tilde{\sigma}_h$$

Bezpečnost zuba v otlačení je:

$$s_d = \frac{\tilde{\sigma}_{ad}}{\tilde{\sigma}_{hl}} \quad ; \text{ pro míjivý cyklus}$$

$$s_d = \frac{\tilde{\sigma}_{ad}}{\tilde{\sigma}_{hl}} \quad ; \text{ pro souměrný cyklus.}$$

Pro kontrolní výpočet zubů ozubených kol v ohýbu můžeme použít následujících výrazů:

Mez pevnosti celého zuba je:

$$\tilde{\sigma}_{pc} = \frac{1}{2} (\tilde{\sigma}_{p\rho} + \tilde{\sigma}_{p\delta})$$

Mez únavy zuba v ohýbu je:

$$\tilde{\sigma}_{eo} = (1 - \eta_o) \cdot \tilde{\sigma}_{ke}$$

$$\eta_o = \left( \frac{\tilde{\sigma}_{ke}}{\tilde{\sigma}_{pc}} \right)^2 \frac{2(1+\vartheta)}{3}$$

$$\tilde{\sigma}_{ke} = (0,7 + 0,9) \cdot \tilde{\sigma}_{pc}$$

Mezné míjivé napětí v ohýbu je:

$$\tilde{\sigma}_{awo} = \frac{2 \cdot \tilde{\sigma}_{eo}}{1 + (1 - \eta_o) \cdot \frac{\tilde{\sigma}_{ke}}{\tilde{\sigma}_{pc}} \cdot \eta_o}$$

Potom se bezpečnost zuba v ohýbu vypočte:

Pro míjivý cyklus:

$$s_o = \frac{\tilde{\sigma}_{awo}}{\tilde{\sigma}_h}$$

Pro střídavý cyklus:

$$s_o = \frac{\tilde{\sigma}_{eo}}{\tilde{\sigma}_h}$$

### 3.2. Kontaktní namáhání a požadavky na tloušťku vrstvy

Namáhání zubních boků odpovídá v obecnějším vyjádření kontaktním poměrům na dvou válcových plochách zatížených normálnou a tečnou třecí silou. Zjednodušíme si úlohu tím, že nebudeme uvažovat třecí sílu. Neuvažujeme také odchyly v rozložení měrného stykového tlaku vlivem složitých hydrodynamických podmínek v mazacím filmu, určitou rozdílnost modulů pružnosti vrstvy a jádra, ani účinek tahových pnutí v oblasti pod vrstvou.

Z hlediska kontaktního porušování jsou v případě tvrzených zubů kromě povrchu kritické ještě dvě významné oblasti pod povrchem:

a) Oblast největšího smykového napětí

Průběh smykového napětí  $\tau_{yz}$  (v dalším označeno  $\tau$ ) v podporovrchové oblasti podle A. Camerona je dán vztahem /14/:

$$\tau = P_H \left\{ 1 - \frac{\frac{z}{b}}{\sqrt{1 + \left(\frac{z}{b}\right)^2}} \right\} \frac{z}{b} \quad (3.1)$$

kde  $z$  ... souřadnice ve směru normály k povrchu

$b$  ... polovina šířky stykové plošky

$$b = 2\bar{\tau} (k_1 + k_2) \cdot \frac{P_H}{\frac{1}{P_1} + \frac{1}{P_2}} \quad (3.2)$$

kde  $P_1, P_2$  ... poloměry křivosti válcových ploch v místě

$$k_{1,2} = \frac{1 - \frac{r^2}{R_{1,2}}}{\pi E_{1,2}}$$

Uvažujeme-li  $R_{1,2} = r = 0,3$ ,  $E_{1,2} = 2,2 \cdot 10^4 \text{ kp/mm}^2$

(pro ocel), pak:

$$b = 1,6476 \cdot 10^{-4} \cdot \frac{P_H}{\frac{1}{P_1} + \frac{1}{P_2}} \quad (3.3)$$

Pro evolventní ozubená kola  $\alpha = 20^\circ$  a pro styk zubů ve valivém bodě platí:

$$\rho_{1,2} = R_{1,2} \cdot \sin \alpha = m \cdot \frac{z_{1,2}}{2} \cdot \sin \alpha$$

kde  $m$  ... modul

$z_{1,2}$  ... počet zubů hnacího a hnaného kola

Pak:

$$b = 2,82 \cdot 10^{-5} \cdot \frac{P_H \cdot m}{\frac{1}{z_1} + \frac{1}{z_2}} \quad (3.4)$$

Maximální hodnota snykového napětí ve vztahu (3.1)

$$\sigma_{max} = 0,304 P_H \quad (3.5)$$

je v hloubce

$$z^* = 0,786 b \quad (3.6)$$

b) Oblast maximálního proměnného namáhání  $\Delta \sigma$

Při záběru zubů jde o opakování namáhání na povrchu i pod povrchem. Maximální změna snykových napětí dosahuje hodnoty  $\Delta \sigma_{max}$  v hloubce  $z^{**}$ .

$$\Delta \sigma_{max} = 0,6 P_H \quad (3.7)$$

$$z^{**} = 0,6 b \quad (3.8)$$

Výraz (3.4) platí pro čelní přímá ozubená kola. Pro šikmá ozubená kola můžeme použít také výrazu (3.4), ale musíme dosazovat následující hodnoty:

- modul  $m$  je normální modul  $m_n$

- počet zubů  $z$  je tedy  $z_{ek}$  - ekvivalentní počet zubů

$$z_{ek} = \frac{z}{\cos^3 \beta}$$

kde  $\beta$  ... úhel sklonu zuba ozubeného kola

Pro kuželová ozubená kola se také používá výrazu (3.4) s následujícími hodnotami:

- modul je čelní modul  $m_n = m_c \cos \beta$
- počet zubů  $z_{ek}$

$$z_{ek} = \frac{z}{\cos \delta \cdot \cos^3 \beta}$$

kde  $\delta$  ... úhel vrcholového kuželeta ozubeného kuželového kola.

Kromě povrchu může při nedostatečné tloušťce vrstvy rozehodnout o porušení boku zuba vznik plasticke deformace v jádře účinkem  $\tau$  (3.1), nebo únavové porušení vlivem proměnlivého namáhání  $\Delta\tau$  (3.7). Plasticke deformace v oblasti pod vrstvou vede k přidavnému namáhání vlastní vrstvy. Uvažujeme-li hypotézu mezních snykových napětí, pak k prvé plasticke deformaci dochází při hodnotě

$$\tau = \tau_e$$

Hodnota  $\tau_e$  podle této hypotézy je

$$\tau_e = 0,5 \cdot \tilde{\sigma}_{ek}$$

Pro daný Hertzův tlak  $P_H$  lze pak ze vztahu (3.1) určit kritickou hodnotu  $\frac{z}{b}$ , při které právě dochází pod povrchem k prvé plasticke deformaci, a dále odpovídající minimální tloušťku vrstvy  $t_{min} = z$  ze vztahu (3.4)

$$\frac{z}{b} = 0,5 \cdot \tilde{\sigma}_{ek} = P_H \cdot \left\{ 1 - \frac{\frac{z}{b}}{\sqrt{1 + (\frac{z}{b})^2}} \right\} \cdot \frac{z}{b} \quad (3.9)$$

Ze dvou hodnot  $z/b$  stanovených z (3.9) lze využít jen hodnoty větší. Pokud je ve (3.9)  $\frac{\tilde{\sigma}_{ek}}{P_H} > 0,3$ , pak nebezpečí plastic-

/ kde deformace jádra a tudíž i nebezpečí proložení vrstvy nehozí.  
Ze vztahu (3.9) vyplývá i příznivý účinek zvýšené pevnosti a meze  
kluzu materiálu jádra na kontaktní nosnost.

Vztahů (3.4) a (3.9) lze použít pro orientační stanovení minimální tloušťky povrchově tvrzené vrstvy u ozubených kol všeobecně, nejen pro určitý případ vlastní.

Na rozdíl od této práce Glaubitza /15/ ve svém rozboru dochází k požadavku vrstvy  $t_{min}$  větší než  $z^*$ , kde  $z^*$  je hloubka maxima snykových napětí pod povrchem. Se zřetelem na bezpečnost doporučuje pro praxi bez hlubších teoretických důkazů  $t = 2z^*$ . Pokud tloušťka povrchově tvrzené vrstvy vyhovuje podmínce (3.9), leží oblast s maximální změnou snykového napětí  $\Delta \sigma$  v rozmezí vrstvy a stěží se může nepříznivě uplatnit.

### 3.3. Kritérium k posouzení kontaktní únosnosti

Jako kritérium k posouzení nosnosti je zde uvažován určitý kritický stupeň poškození zubních boků. V souhlase se způsobem používaným Richterem /16/ byla za kritické poškození zubních boků pokládána hodnota

$$B_{krit} = B_{past} + B_{kol.} = 2\%$$

kde  $B_{krit}$  ... celkové poškození boků zubů zabírajícího páru kol  
Označíme-li plochu všech poškození na bocích jednoho kola  $\Sigma F_p$   
a činnou plochu všech zubů  $F$ , bude

$B_{past}$  ... celkové poškození boků zubů pastorku

$$B_{past} = \frac{\Sigma F_p}{F}$$

$B_{kola}$  ... celkové poškození boků zubů kola

$$B_{kola} = \frac{\Sigma F_p}{F}$$

$$\text{pak } B_{\text{past}} + B_{\text{kola}} = \left[ \frac{\sum F_p}{F} \right]_{\text{past}} + \left[ \frac{\sum F_p}{F} \right]_{\text{kola}}$$

$$F_{\text{past}} = F_1 = \pi \cdot D_1 \cdot b \cdot E \cdot \left[ \sin \alpha + \frac{\pi \cdot \cos \alpha}{z_1} (E_{k_1} - E_{k_2}) \right]$$

$$F_{\text{kola}} = F_2 = \pi \cdot D_2 \cdot b \cdot E \cdot \left[ \sin \alpha + \frac{\pi \cdot \cos \alpha}{z_2} (E_{k_2} - E_{k_1}) \right]$$

kde  $D_1, D_2 \dots$  průměry roztečných kružnic

$b \dots$  šířka ozubení

$E \dots$  součinitel trvání záběru

$E_{k_1}, E_{k_2} \dots$  složky součinitele trvání záběru

$\alpha \dots$  úhel záběru /

$z_1 \dots$  počet zubů pastorku

$z_2 \dots$  počet zubů kola

Při hodnocení výsledků jsme museli použít ještě dalšího pomocného kriteria: poškození jsme pokládali rovněž za nadmerné, pokud na jednotlivém zubu plocha poškození přestoupila  $8 \text{ mm}^2$ , a to i v případech, kdy celkové poškození B ještě nedosahovalo kritické velikosti 2%.

Tohoto způsobu hodnocení se použilo u povrchově tvrzených zubů z tepelného a chemicko-tepelného zpracování, kdy docházelo ke vzniku poškození velmi značného rozsahu, i když celkově na malém počtu zubů. Konkrétní plošná velikost poškození zubních boců byla odečítána po skončení běhových zkoušek a po demontování kol pomocí jednoduchých měrek s otvory. Příslušné soupravy měrek zahrnovaly celkem 16 etalonových otvorů o rozměrech 0,2 mm až do 3,2 mm. Porovnáním poškození na jednotlivých bocích s etalonovými otvory na měrkách byly získány podklady potřebné k stanovení velikosti  $\sum F_p$  a B.

4. Základní teorie o povrchovém tvrzení ozubených kol  
chemickotepelným zpracováním

---

4.1 Sycení povrchu oceli uhlíkem a dusíkem při chemicko-  
tepelném zpracování

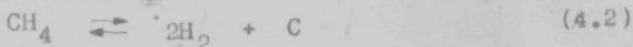
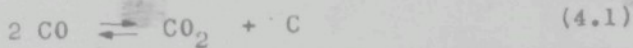
---

Pro karbonitridaci lze použít jakékoli atmosféry, která má při teplotě pochodu schopnost nasytit povrch oceli uhlíkem a dusíkem. Tato podmínka je splněna různými typy. V rámci této kapitoly budeme uvažovat učinek nejobecnější karbonitridační atmosféry, která je vytvořena směsí čpavku a cementační atmosféry, obsahující kysličník uhličitý, kysličník uhelnatý, vodní páru, vodík, metan a jako další složku dusík. Z rozboru reakcí probíhajících v této atmosféře lze odvodit zákonitosti sycení oceli uhlíkem a dusíkem v jakékoliv karbonitridační atmosféře.

4.1.1 Sycení uhlíkem

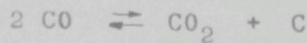
---

Sycení oceli uhlíkem při chemickotepelném zpracování probíhá v podstatě stejně jako při cementaci. Nauhličování v atmosféře obsahující uvedené složky můžeme popsat reakcemi



Uhlík uvolňující se při reakcích (4.1), (4.2) nasycuje povrch oceli. Reakce (4.1), (4.2) jsou vratné a jejich průběh může být doprovázen také oduhlíčováním.

Uvažujeme nejprve dílčí soustavu popsanou rovnicí:



V této soustavě je i uhlík vždy obsažen v plynne fázi v atomární formě a vyvozuje tedy parciální tlak. Parciální tlak uhlíku závisí na parciálním tlaku kysličníku uhelnatého a kysličníku uhličitého. Vzájemná rovnováha je určena v izobaricko-izotermických podmínkách podle zákona o termodynamické rovnováze vztahem:

$$K_I' = \frac{P_{\text{CO}_2} \cdot P_{\text{C}}}{P_{\text{CO}}^2} \quad / \quad (4.3)$$

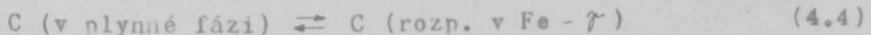
kde  $K_I'$  . . . rovnovážná konstanta

$P_{\text{CO}_2}$  . . . parciální tlak kysličníku uhličitého

$P_{\text{CO}}$  . . . parciální tlak kysličníku uhelnatého

$P_{\text{C}}$  . . . parciální tlak uhlíku

Přechod uhlíku z atmosféry do tuhého roztoku v austenitu můžeme vyjádřit rovnicí



Jestliže je uhlík rozpuštěn v austenitu, vytvoří se nad touto fází určitý parciální tlak železa i uhlíku. O tom, zda nastane nauhličování nebo oduhlíčování, rozhodne parciální tlak uhlíku v plynne fázi, který je v rovnováze se složkami atmosféry a parciální tlak uhlíku v rovnováze s tuhým roztokem v atmosféře.

Označíme-li parciální tlak uhlíku v rovnováze s tuhým roztokem v austenitu  $\underline{P_C}$  a parciální tlak uhlíku v plynne

fázi  $\rho_e$ , vyplývá změna volné entalpie při nauhličování z rovnice (4.4) a je v izotermických podmírkách dáná vztahem

$$\Delta G = -RT \ln \frac{\rho_e}{\rho_c} \quad (4.5)$$

kde  $\Delta G$  . . . je změna volné entalpie

R . . . je plynová konstanta rovná 1,98 cal/grad

T . . . je absolutní teplota ve  $^{\circ}\text{K}$

Je-li změna volné entalpie  $\Delta G$  záporná, dochází k nauhličování, je-li kladná, nastane oduhličování. Při  $\Delta G = 0$  je atmosféra v rovnováze s uhlíkem v oceli a nenastane ani nauhličování ani oduhličování. Kvalitativně platí, že se ocel nauhličuje, jestliže parciální tlak uhlíku v plynné fázi je větší než parciální tlak uhlíku, který je v rovnováze s tuhým roztokem v austenitu a naopak. Rovnováha je dáná rovnosítlí tlaku, když výraz  $\ln \frac{\rho_e}{\rho_c}$  je rovný nule.

Ve skutečnosti nemusíme hodnoty  $\rho_e$ ,  $\rho_c$  znát, ale nahrazujeme je termodynamickými aktivitami  $\alpha_e$ ,  $\alpha_c$ . Termodynamické aktivity jsou hodnoty přímo uměrné rovnovážným tlakům. Vztahujeme je ke vhodnému standartnímu stavu. U uhlíku volíme jako standartní stav grafit.

$$\alpha_c = \frac{\rho_c}{P_{c0}} \quad (4.6)$$

kde  $P_{c0}$  . . . tlak uhlíku ve standartním stavu.

Aktivitu standartního stavu volíme vždy rovnou 1.

Zavedením aktivity nabude vztah (4.3) tvaru

$$K_I = \frac{P_{co_2}}{P_{to}^2} \cdot \alpha_c \quad (4.7)$$

a z něj

$$a_c = K_I \cdot \frac{P_{CO}}{P_{CO_2}} \quad (4.8)$$

Obdobně přejde při použití aktivity vztah (4.5) ve tvar:

$$\Delta G = -RT \ln \frac{a_c}{a_{\underline{c}}} \quad (4.9)$$

nebo

$$\Delta G = -RT \ln \frac{K_I \cdot \frac{P_{CO}}{P_{CO_2}}}{a_c} \quad (4.10)$$

Podmínka rovnováhy podle rovnice (4.9) a (4.10) pak obecně zní:

$$\Delta G = 0 \\ a_c = a_{\underline{c}} = K_I \cdot \frac{P_{CO}}{P_{CO_2}} \quad (4.11)$$

Označíme-li koncentraci uhlíku  $\underline{c}_C$  a koeficient aktivity uhlíku  $\underline{f}_C$ , platí

$$a_c = \underline{f}_C \cdot \underline{c}_C \quad (4.12)$$

Dosazením ze vztahu (4.12) do rovnice (4.11) dostaneme:

$$\underline{c}_C = \frac{1}{\underline{f}_C} \cdot K_I \cdot \frac{P_{CO}}{P_{CO_2}} \quad (4.13)$$

Z rovnice (4.13) můžeme přesně určit, s jakým obsahem uhlíku v austenitu je atmosféra v rovnováze. Obsah uhlíku v austenitu v rovnováze s atmosférou se v literatuře často označuje jako tzv. potenciál uhlíku atmosféry nebo nauhličovací potenciál atmosféry.

Číselně lze teplotní závislost rovnovážné konstanty reakce (4.1) uspokojivě vyjádřit rovnici (4.14):

$$\log K_I = \log \frac{P_{CO_2}}{P_{CO}^2} = -\frac{A}{T} + B = +\frac{8870}{T} - 9,060$$

(4.14)

Několik přesnějších hodnot uvádí také tebulka (4.1).

Smith stanovil hodnoty koeficientů aktivity při  $800^{\circ}\text{C}$  a  $1000^{\circ}\text{C}$  pomocí studia rovnováhy uhlíku v tuhém roztoku austenitu jednak s dvojicí  $\text{CO}$  a  $\text{CO}_2$  a jednak s dvojicí  $\text{CH}_4$  a  $\text{H}_2$ . Smithovy výsledky lze vyjádřit vztahem:

pro  $800^{\circ}\text{C}$

$$\ln \alpha_c = \ln \frac{N_c}{N_{Fe}} + 6,3 \cdot \frac{N_c}{N_{Fe}}$$

(4.15)

pro  $1000^{\circ}\text{C}$

$$\ln \alpha_c = \ln \frac{N_c}{N_{Fe}} + 6,9 \cdot \frac{N_c}{N_{Fe}}$$

Kde  $N_c$  a  $N_{Fe}$  jsou molární zlomky uhlíku a železa v austenitu při dané koncentraci uhlíku, přičemž jako standartní stav je volen nekonečně zředěný roztok uhlíku v austenitu.

Aktivity uhlíku vypočtené na základě rovnice (4.15), avšak s grafitem jako standartním stavem, jsou v tabulce (4.2). Na obr. (4.1) jsou uvedeny přímé experimentální výsledky Smitha /R.P. Smith, J.Am. Chem. Soc. 68 - 1946/

Z obr. 4.1 je vidět, že se uhlík v tuhém roztoku austenitu nechová ideálně. Aktivita uhlíku neroste s koncentrací lineárně, ale roste ve skutečnosti rychleji. Dochází tedy k vytěsnování uhlíku uhlíkem v austenitu.

Z rozboru nauhličovácí rovnováhy je zřejmé, že uhlík v austenitu je v rovnováze s cementitem a nikoliv s grafitem. Uhlík v rovnováze s cementitem musí mít proto vyšší aktivitu a tedy i větší rozpustnost než v rovnováze s grafitem viz tab. (4.2).

Teoreticky by proto nikdy nemělo reakci  $2\text{CO} \rightleftharpoons \text{CO}_2 + \text{C}$  dojít k úplnému nasycení austenitu až do rovnováhy s cementitem. Při parciálním tlaku kysličníku uhelnatého vyšším než odpovídá rovnováze s grafitem, by se měl přebytečný uhlík vyloučit ve formě sazí. Protože však je vylučování sazí poměrně pomalým dějem, nemusí k němu ve větší míře docházet a soustava kysličník uhelnatý - kysličník uhličitý může vydít dokonce vyšší aktivitu uhlíku než odpovídá rovnováze s cementitem.

### Dílčí soustava metan - vodík

Rovnováha nauhličovací reakce  $\text{CH}_4 \rightleftharpoons 2\text{H}_2 + \text{C}$  je podle zákona o termodynamické rovnováze popsána rovnicí

$$K_{\bar{I}}' = \frac{P_{\text{H}_2}^2 \cdot \rho_c}{P_{\text{CH}_4}} \quad (4.16)$$

v rovniči (4.16) můžeme podobně jako v předechozích rovnicích parciální tlak atomárního uhlíku  $\rho_c$  nahradit aktivitou uhlíku  $a_c$ , vztaženou ke grafitu jako ke standartnímu stavu.

$$K_{\bar{I}} = \frac{P_{\text{H}_2}^2}{P_{\text{CH}_4}} \cdot a_c \quad (4.17)$$

Přechod uhlíku z atmosféry do tuhého roztoku v austenitu se může opět uskutečnit jen tehdy, je-li spojen s úbytkem volné entalpie. To znamená, že  $\Delta G$  v rovniči (4.18) musí mít zápornou hodnotu

$$\Delta G = -RT \ln \frac{a_c}{\alpha_c} = -RT \frac{K_{\bar{I}} \cdot \frac{P_{\text{CH}_4}}{P_{\text{H}_2}^2}}{\alpha_c} \quad (4.18)$$

Rovnováha mezi atmosférou a uhlíkem v tuhém roztoku v austenitu nastane, je-li  $\Delta G$  rovno nule, tzn. je-li

$$\alpha_c = \underline{\alpha}_c$$

Teplotní závislost konstanty  $K_{\text{I}}$  je podobně jako u reakce (4.1) dána vztahem:

podle Wagmana:

$$\log K_{\text{I}} = \log \frac{P_{\text{H}_2}^2}{P_{\text{CH}_4}} = - \frac{4650}{T} + 5,770 \quad (4.19a)$$

podle Richardsona:

$$\log K_{\text{I}} = - \frac{4649}{T} + 5,672 \quad (4.19b)$$

### Vzájemná rovnováha dílčích soustav

Pro rozbor chování atmosféry má základní význam podmínka, která určuje vzájemnou rovnováhu dílčích soustav  $\text{CO}$  -  $\text{CO}_2$  a  $\text{CH}_4$  -  $\text{H}_2$ . Tento podmínekou je rovnost parciálních tlaků plynného atomárního uhlíku u každé z obou dílčích soustav. To znamená, že platí

$$P_c = K'_r \cdot \frac{P_{\text{CO}}^2}{P_{\text{CO}_2}} = K'_{\text{I}} \cdot \frac{P_{\text{CH}_4}}{P_{\text{H}_2}^2} \quad (4.20)$$

Použijeme-li termodynamické aktivity uhlíku, můžeme rovnici (4.20) psát

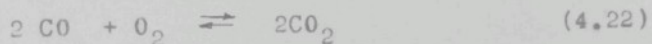
$$\alpha_c = K_r \cdot \frac{P_{\text{CO}}^2}{P_{\text{CO}_2}} = K_{\text{I}} \cdot \frac{P_{\text{CH}_4}}{P_{\text{H}_2}^2} \quad / \quad (4.21)$$

Rovnice (4.21) určuje vzájemné poměry a rovnovážné parciální tlaky složek reagujících v rovnici (4.1) a (4.2). Grafické znázornění rovnováhy obou dílčích soustav s různým obsahem

uhlíku v austenitu je na obr. 4.2.

Praktický význam podmínky rovnosti parciálních tlaků uhlíku u každé z dílčích soustav je v tom, že za rovnovážného stavu stačí znát parciální tlaky olynných složek pouze jedné z dílčích soustav, abychom mohli jednoznačně určit cementační potenciál atmosféry.

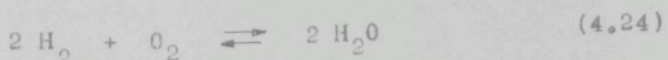
V některých případech je účelné používat rovnovážný potenciál uhlíku atmosféry obsahující jako účinné složky CO,  $\text{CO}_2$ , CH<sub>4</sub>, H<sub>2</sub> a H<sub>2</sub>O, podle parciálních tlaků dvojice H<sub>2</sub>O a H<sub>2</sub>. Dvojice kysličník uhlíčitý - kysličník uhelnatý vyvazuje kromě parciálního tlaku i uhlíku rovněž určitý parciální tlak kyslíku reakcí:



Rovnováha reakce (4.22) je dána vztahem:

$$K_{\bar{Y}} = \frac{P_{\text{CO}_2}^2}{P_{\text{CO}}^2 \cdot P_{\text{O}_2}} \quad (4.23)$$

Odobně i u dvojice vodní pára - vodík vzniká určitý parciální tlak kyslíku reakcí:



a platí

$$K_{\bar{Y}} = \frac{P_{\text{H}_2\text{O}}^2}{P_{\text{H}_2}^2 \cdot P_{\text{O}_2}} \quad (4.25)$$

Dílčí oxidačně-redukční soustavy napsané rovnicemi (4.22) a (4.24), jsou jen tehdy v rovnováze, je-li parciální tlak kyslíku u obou soustav stejný a platí-li:

$$\frac{P_{O_2}}{P_{CO}} = \frac{K_E \cdot P_{CO_2}^2}{P_{CO}^2} = \frac{K_E \cdot P_{H_2O}^2}{P_{H_2}^2} \quad (4.26)$$

Z podmínky (4.26) vyplývá vztah (4.27) pro rovnováhu, tzv. reakce vodního plynu  $H_2 + CO_2 \rightleftharpoons H_2O + CO$

$$K_{\bar{V}} = \sqrt{\frac{K_E}{K_F}} = \frac{P_{H_2O} \cdot P_{CO}}{P_{H_2} \cdot P_{CO_2}} \quad (4.27)$$

Hodnoty  $K_{\bar{V}}$  jsou v tabulce (4.1)

Z rovnic (4.26) a (4.27) je vidět, že parciální tlaky kysličníku uhličitého a uhelnatého jednoznačně určují i parciální tlak vodní páry při daném parciálním tlaku vodíku v atmosféře. Ustavení parciálních tlaků vodní páry podle rovnováhy reakce vodního plynu ovšem neznamená porušení na-uhličovacích rovnováh podle rovnic  $2 CO \rightleftharpoons CO_2 + C$  a  $CH_4 \rightleftharpoons C + 2 H_2$ . V nauhlíčovací atmosféře obsahující sloučeniny kyslíku se ustaví mezi karburizačně - dekarburizačními a oxidačně-redukčními soustavami zákonitá rovnováha, při které odpovídá určitý parciální tlak uhlíku zcela určitému parciálnímu tlaku kyslíku.

Vysvětlujeme-li průběh sycení povrchu oceli uhlíkem pouze z hlediska rovnovážných stavů, činíme tím některé předpoklady, kterou jsou ve skutečnosti splněny jen přibližně; protože:

a) složky atmosféry nedospějí k rovnováze uplně

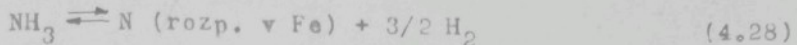
- b) vlivem pomalého rozkladu metanu je skutečný nauhl. potenciál mezi nauhl. potenciály obou dílčích soustav
- c) množství uhlíku, které je atmosféra schopna předávat povrchu oceli, je velké ve srovnání s množstvím uhlíku odčerpávaným z povrchu difuzí
- d) závislost na rychlosti průtoku atmosféry necí a zejména na intenzitě nucené cirkulace. Výraznou závislost nauhličení na rychlosti průtoku zjistil u soustavy CO - CO<sub>2</sub> experimentálně jako první Bramley - viz diagram na obr. 4.3.
- e) vlivem přídavků nad rovnovážný obsah vytváříme jakousi nadbytečnou zásobu uhlíku atmosféry (viz obr. 4.4)
- f) vlivem přítomnosti slitinových přísad se změní aktivity uhlíku. Vliv slitinových přísad na aktivitu uhlíku v tuhém roztoku v austenitu byl kvantitativně studován u niklu, mangantu a křemíku Smithem a u niklu a chromu Schenckem a Kaisarem.

Vliv niklu na  $\alpha_c$  v austenitu při 1000°C znázorňuje diagram na obr. 4.5, vliv chromu na  $\alpha_c$  v austenitu při 1000°C uvádí diagram na obr. 4.6. Smithovy výsledky u soustavy Fe - Mn - C a Fe - Si - C uvádějí tabulky (4.3) a tab. (4.4).

Přítomnost slitinových přísad v oceli mění rovněž polohu čáry rozpustnosti uhlíku v austenitu v rovnovážném diagramu, že které se vychází/při výpočtu nekorigovaných hodnot. Harrišův diagram na obr. 4.7 znázorňuje vliv niklu na přibližnou polohu čáry SE.

#### 4.1.2 Sycení dusíkem

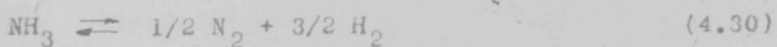
Vstup dusíku z atmosféry obsahující nerozložený čnavek a vodík do tuhého roztoku v železe můžeme popsat reakcí:



Zákonitosti průběhu rakce (4.28) studovali experimentálně Engelhardt a Wagner. Zjistili, že platí:

$$K_{\overline{N}} = \frac{P_{\text{H}_2}^{3/2} \cdot \alpha_N}{P_{\text{NH}_3}} \quad (4.29)$$

kde  $\alpha_N$  je aktivita dusíku v tuhém roztoku v železe a  $P_{\text{H}_2}$  a  $P_{\text{NH}_3}$  jsou parciální tlaky vodíku a nerozloženého čnavku v atmosféře. Platnost vztahu (4.29) lze odvodit teoreticky. Sycení železa dusíkem můžeme též popsat reakcemi:



Z rovnice (4.30) lze podle zákona termodynamické rovnováhy napsat vztah

$$K_{\overline{N}} = \frac{P_{\text{N}_2}^{1/2} \cdot P_{\text{H}_2}^{3/2}}{P_{\text{NH}_3}} \quad (4.33)$$

Rovnice (4.31) popisuje tenelnou disociaci molekulárního dusíku v dusík atomární. Lze podlenní napsat vztah:

$$K_{\underline{X}} = \frac{P_N}{P_{N_2}^{1/2}} \quad (4.34)$$

Zde je  $P_{N_2}$  parciální tlak molekulárního dusíku a  $P_N$  je parciální tlak dusíku atomárního. Tento parciální tlak atomárního dusíku určuje schopnost atmosféry nasycovat povrch atmosféry dusíkem.

Rovnice (4.32) vyjadřuje skutečnost, že dusík v tuhému roztoku v austenitu je v rovnováze s určitým parciálním tlakem atomárního dusíku.

Změna volné entalpie při sycení oceli dusíkem je závislá na parciálním tlaku atomárního dusíku v rovnováze s austenitem, který označujeme  $P_N$  a na parciálním tlaku atomárního dusíku v plynné fází  $P_N$  podle vztahu:

$$\Delta G = -RT \ln \frac{P_N}{P_{N_2}} \quad (4.35)$$

Jestliže je dosaženo rovnováhy, platí rovnost

$$P_N = P_{N_2} \quad (4.36)$$

Podstavíme-li z rovnosti (4.36) do rovnice (4.34) a z této do rovnice (4.33), dostaneme:

$$K_{\underline{y}} = K_{\underline{y}_2} \cdot K_{\underline{x}} \quad (4.37)$$

A protože parciální tlak atomárního dusíku v rovnováze s austenitem je přímo úměrný aktivitě dusíku v austenitu, je

vztah (4.37) ekvivalentní již známé rovnici (4.29).

Pro výpočty schopnosti atmosféry nasycovat povrch oceli dusíkem při jejím chemicko-tenelném zpracování je nutné znát jednak parciální tlaky molekulárního dusíku v rovnováze se čpavkem a vodíkem z atmosféry a jednak parciální tlaky molekulárního dusíku v rovnováze s dusíkem v tuhém roztoku v austenitu.

Rovnovážné poměry v soustavě  $\text{NH}_3$ ,  $\text{H}_2$ ,  $\text{N}_2$  jsou známy s celkem postačující přesností. Pro rovnovážnou konstantu reakce  $\text{NH}_3 = 3/2 \text{ H}_2 + 1/2 \text{ N}_2$  navrhli Pearson a Endeová na základě Kelleyových údajů vztah

$$K_{\overline{\text{VII}}} = \frac{6500}{T} - 13,4 \quad (4.38)$$

#### 4.1.3 Difuse uhlíku a dusíku v austenitu

##### 4.1.3.1 Obecné zákonitosti interstitické difuze

Uhlík a dusík tvoří v austenitu i ve feritu mezerový tuhý roztok. Vznik interstitického tuhého roztoku záleží hlavně na tom, aby poloměr rozpuštěných atomů nebyl o mnoho větší než volná místa mezi šesnácti uspořádanými atomy v mřížce základního kovu. Podle známého Häggova kriteria vzniká v těsně uspořádané mřížce s koordinačním číslem 8 nebo 12 interstitický tuhý roztok tehdy, jestliže účinný poloměr atomů rozpuštěného prvků není větší než 0,59 % učinného poloměru atomu základního kovu. Účinný poloměr atomu železa je  $1,28 \text{ \AA}$ , atomu uhlíku  $0,77 \text{ \AA}$  a atomu dusíku  $0,71 \text{ \AA}$ .

Hodnota poměru účinného poloměru atomů uhlíku a železa je tedy 0,60 a poměru účinného poloměru atomů dusíku a železa je 0,55. Podle toho je soustava Fe - C právě na hranici možnosti tvorjení interstitického tuhého roztoku. V soustavě Fe - N lze vzhledem k menší hodnotě poměru očekávat větší rozpustnost.

Vztahy pro difusi jedné složky navrhl už v r. 1854 Fick na základě analogie s Fourierovými rovnicemi pro vedení tepla. První Fickova rovnice (4.39) vyjadřuje předpoklad, že váhové množství difundující látky, které prochází za jednotku času za jednotkovou délku je úměrné gradientu koncentrace  $\frac{\partial c}{\partial x}$ . Koefficient úměrnosti  $D$  o rozmeru  $\frac{(\text{jednotka délky})^2}{\text{čas}}$  se nazývá koefficient difuse.

$$m = - D \frac{\partial c}{\partial x} \quad (4.39)$$

Záporné znaménko značí, že směr přenostu hmoty při difusi je opačný než smysl gradientu koncentrace. Z rovnice (4.39) vyplývá rovnice (4.40), která vyjadřuje vztah mezi rychlostí změny koncentrace  $\frac{\partial c}{\partial t}$  v místě, kde koncentrační gradient je v uvažovaném okamžiku  $\frac{\partial c}{\partial x}$

$$\frac{\partial c}{\partial t} = \frac{\partial}{\partial x} D \left( \frac{\partial c}{\partial x} \right) \quad (4.40)$$

Rovnice (4.40) platí pro obecný případ, kdy hodnota  $D$  může být závislá na koncentraci. Předpokládáme-li nezávislost hodnoty koefficientu difuse na koncentraci, přechází rovnice (4.40) v rovnici:

$$\frac{\partial c}{\partial t} = D \frac{\partial^2 c}{\partial x^2} \quad (4.41)$$

Rovnice (4.40) a (4.41) dovolují z difusní křivky určit hodnotu koeficientu difuze. Aplikujeme-li rovnici (4.41) např. na difusi uhlíku do oceli z povrchu syceného v cementujícím prostředí, platí pro řešení tyto okrajové podmínky:

- a) pro čas  $t = 0$  platí všude (tj. pro všechny  $x$ ), že koncentrace uhlíku  $c = c_1$ , kde  $c_1$  je koncentrace uhlíku v základním materiálu;
- b) v každém jiném čase je na povrchu konstantní koncentrace uhlíku  $c = c_2$ , kde  $c_2$  odovídá cementovacímu potenciálu prostředí;
- c) pro nekonečné  $x$  platí v každém čase  $\frac{\partial c}{\partial x} = 0$

První okrajová podmínka vyjadřuje, že difusní vrstva začíná růst při  $t = 0$  a že neexistovala už předtím. Druhá okrajová podmínka vyjadřuje nutnost, aby obsah uhlíku na povrchu byl po celou dobu sycený konstantní. Třetí okrajová podmínka vyžaduje, aby se difuse děla v tak velkém průřezu, aby středové oblasti nebyly difusí ovlivněny.

Řešení rovnice (4.41) s uvedenými podmínkami je:

$$\frac{c - c_1}{c_2 - c_1} = 1 - \psi \frac{x}{2\sqrt{D \cdot t}} \quad (4.42)$$

kde  $c$  . . . koncentrace uhlíku po čase  $t$  ve vzdálenosti  $x$  od povrchu

$\psi$  . . . Gaussův integrál chyb, jehož hodnotu je možné vzít z tabulek nebo diagramu (obr. 4.8)

Pro difusi v tzv. difuzním článku, tj. z austenitu s větším obsahem uhlíku  $C_2$  do austenitu s menším obsahem uhlíku  $C_1$ , jsou okrajové podmínky poněkud odlišné

a) v čase  $t = 0$  je pro všechna  $x > \sigma$  koncentrace uhlíku  $c = c_1$

$x < \sigma$  koncentrace uhlíku  
 $c = c_2$

b) v každém jiném čase je v místě  $x = \sigma$ , tj. na difuzním rozhraní koncentrace uhlíku  $c_2 - c_1$

c) pro nekonečně velké  $x$  platí v každém čase  $\frac{\partial c}{\partial x} = 0$

Pro tyto podmínky platí řešení rovnice (4.42)

$$\frac{c - c_1}{c_2 - c_1} = \frac{1}{2} \left( 1 - \psi \frac{x}{2\sqrt{Dt}} \right) \quad (4.43)$$

Uvažuje-li se závislost koeficientu difuze na koncentraci, je třeba najít řešení rovnice (4.40). Přibližné řešení této rovnice uvedl Boltzman už v r. 1894. V třicátých letech použil tento řešení Matans pro vyhodnocení Arubeových a Jedeleevých měření difuze v soustavě Cu - Zn. Boltzman-Matanové řešení se vztahuje obecně k difusi v difuzním článku vzniklému spojení dvojí materiálů s různým obsahem difundující sloužky.

Při Boltzman-Matanové řešení rovnice (4.40) se zavádí nová proměnná

$$\lambda = \frac{x}{\sqrt{t}}$$

u které se předpokládá, že  $x$  je lineární funkcí  $\sqrt{t}$ . Zkušenost potvrzuje, že tento předpoklad je při nerušené difusi splněn.

S novou proměnnou je možno rovnici (4.40) psát

$$-\frac{\lambda}{2} \frac{dc}{d\lambda} = \frac{d}{d\lambda} \left( D \frac{dc}{d\lambda} \right)$$

4.44

Řešení rovnice 4.44 zní:

$$D = -\frac{1}{2} \frac{d\lambda}{dc} \int_{c_1}^c \lambda dc$$

4.45

nebo po dosazení za proměnnou  $\lambda$

$$D = -\frac{1}{2t} \frac{dx}{dc} \int_{c_1}^c x dc$$

4.46

Rovnice 4.46 platí jestliže je splněna podmínka

$$\int_{c_1}^{c_m} x dc = - \int_{c_m}^{c_2} x dc$$

4.47

Kde  $c_m$  je koncentrace a tzv. Matanové rovině. Podmínka 4.47 znamená, že jako hraniční rovina (tzv. Matanova) difuse se vezme rovina, která rozděluje množství difundující složky prošlé v obou směrech na dvě stejné poloroviny. Matanova rovina obecně nemusí souhlasit s původní rovinou spoje.

Rovnice 4.46 se vyhodnocuje graficky. Hodnota  $\frac{dx}{dc}$  se určí změřením tangenty v difusní křivce při různých koncentracích. Hodnota integrálu  $\int_{c_1}^c x dc$  se určí planimetrováním plochy vymezené difusní křivkou a koncentrací. Získané hodnoty  $\frac{dx}{dc}$  a  $\int_{c_1}^c x dc$  se dosadí do rovnice 4.46 a vypočítá se koeficient  $D$  při různých koncentracích.

Boltzman-Mataneva způsobu zpracování koncentrační závislosti koeficientů difuze lze použít i tehdy, jde-li o difusi např. uhlíku nebo dusíku z povrchu syceného ve vhodném prostředí do jádra. V tomto případě musíme uvažovat podmínu 4.47 a určevat planimetrováním Matanevu rovinu. Jinak zůstává postup při vyhodnocování stejný.

#### 4.1.3.2 Rozbor difusních rovnic z hlediska termodynamiky

První a druhá Fickova rovnice jsou založeny na předpokladu, že hnací silou difuze je gradient koncentrací. Skutečnou hnací silou difuze je však gradient volné entalpie, přesněji řečeno gradient parciální molární volné entalpie

chemického potenciálu. Na jeden interstitický atom působí ve směru  $x$  síla Si

$$S_i = - \frac{1}{N} \frac{\partial \mu_i}{\partial x}$$

4.48

Záporné znaménko v rovnici 4.48 značí že směr síly je opačný než smysl gradientu chemického potenciálu.

N - Avogadrovo číslo a  $\frac{\partial \mu_i}{\partial x}$  je gradient chemického potenciálu interstitické složky.

Předpokládá se, že průměrná rychlosť migrace difundující interstitické částice je přímo úměrná síle, která na ni působí. Rychlosť kterou částice difunduje při jednotkové síle nazývá se pohyblivost a značí se obvykle B. Můžeme potom psát

$$v_i = - \frac{B_i}{N} \frac{\partial \mu_i}{\partial x}$$

4.49

kde  $v_i$  je rychlosť migrace a  $B_i$  je pohyblivost interstitické částice. Podle známého vztahu  $\mu_i = K + RT \ln a_i$ , kde K je konstanta závislá na definici standartního stavu, která se změní jen s teplotou a  $a_i$  je aktivita interstiticky difundující složky, přechází rovnice 4.49 v rovnice:

$$v_i = - B_i \cdot k \cdot T \cdot \frac{\partial \ln a_i}{\partial x}$$

4.50

kde k je Boltzmanova konstanta ( $k = \frac{R}{N}$ ). Jestliže vyjádříme aktivitu pomocí aktivitního koeficientu  $\gamma$  a molárního zlomku N

$$a_i = \gamma_i^x N_i$$

4.51

přejde rovnice 4.50 ve tvar

$$v_i = - B_i \cdot k \cdot T \left( 1 + \frac{\partial \ln \gamma_i^x}{\partial \ln N_i} \right) \frac{\partial N_i}{\partial x}$$

4.52

Průměrná rychlosť migrace difundující částice je přímo úměrná difusnímu toku m. Můžeme tedy psát rovnici 4.53 a 4.54 obdobnou rovnicím 4.39 a 4.40.

$$m = - B_i \cdot k \cdot T \left( 1 + \frac{\partial \ln \gamma_i^x}{\partial \ln N_i} \right) \frac{\partial N_i}{\partial x}$$

4.53

$$\frac{\partial N_i}{\partial t} = \frac{\partial}{\partial x} \left[ B_i \cdot kT \left( 1 + \frac{\partial \ln \bar{n}_i}{\partial \ln N_i} \right) \frac{\partial N_i}{\partial x} \right]$$

4.54

z porovnání rovnic 4.53 a 4.54 s rovnicemi 4.39 a 4.40 vyplývá vztah pro koeficient difuse

$$D = B_i \cdot kT \left( 1 + \frac{\partial \ln \bar{n}_i}{\partial \ln N_i} \right) \quad 4.55$$

Význam vztahu 4.55 ukazuje závislost koeficientu difuse na aktivitě difundující složky a ukazuje vztah mezi pohybli- vostí částice a koeficientem difuse.

Podle Birchenalla a Mehla mají základní rovnice analo- gické první a druhé Fickové rovnici zní:

$$m_i = - D \frac{\partial a_i}{\partial x} \quad 4.56$$

$$\frac{\partial a_i}{\partial t} = \frac{\partial}{\partial x} \left( D \frac{\partial a_i}{\partial x} \right) = D \frac{\partial^2 a_i}{\partial x^2} \quad 4.57$$

Koeficient difuse podle rovnice 4.56 a 4.57 není ovšem to- tožný s koeficientem difuse podle rovnice 4.39 a 4.40.

Birchenall a Mehl odvodili jejich vzájemnou závislost

$$D = D_a \left( \bar{x}_i + \frac{\partial \bar{x}_i}{\partial \ln N_i} \right) \quad 4.58$$

D v rovnici 4.58 značí koeficient difuse podle rovnic 4.39 a 4.40 a  $D_a$  koeficient difuse podle rovnice 4.56 a 4.57.

Le Claire porovnal výraz pro D podle rovnice 4.55 a 4.58

$$D = B_i \cdot kT \left( 1 + \frac{\partial \ln \bar{n}_i}{\partial \ln N_i} \right) = D_a \left( \bar{x}_i + \frac{\partial \bar{x}_i}{\partial \ln N_i} \right) \quad 4.59$$

po úpravě

$$D = B_i \cdot kT \left( 1 + \frac{\partial \ln \bar{c}}{\partial \ln N_i} \right) = D_a \bar{x}_i \left( 1 + \frac{\partial \bar{x}_i}{\partial \ln N_i} \right) \quad 4.60$$

a proto platí  $B_i \cdot kT = D_a \bar{x}_i$  4.61

Ze vztahu 4.60 je vidět, že základní rovnice 4.56 a 4.57 zahrnují zcela stejnou a termodynamicky oprávněnou korekci na neideální chování tuhého roztoku jako rovnice 4.55. Zároveň však rovnice 4.56 a 4.57 zahrnují předpoklad, že po- hyblivost difundujícího prvku B je přímo úměrná aktivitnímu koeficientu 4.61. Tento předpoklad není zatím teoreticky

podložen, je však pravděpodobný. Le Claire spatřuje potvrzení tohoto předpokladu v Birchenallově a Mehlově experimentálním důkazu, že hodnota  $D_a$  při difusi uhlíku v austenitu je skutečně nezávislá na koncentraci.

#### 4.1.3.3 Rozbor difuse na základě teorie absolutních reakčních rychlostí

Při přechodu interstatického atomu z jedné oktaedrické polohy do polohy sousední musí difundující částice přejít v silovém poli mřížky přechodnou polohou kde je její potenciální energie podstatně vyšší. Potenciální val k jehož překonání musí mít difundující částice zcela určitou energii, která odpovídá jeho výšce. Potřebnou energii nabývá částice prostřednictvím tepelných fluktuací. I ve zcela homogenní slitině kde mezi různými mísy nejsou žádné rozdíly volné entalpie dochází k difusní migraci častic. Její průběh je ovšem směrově náhodný a nevede ke vzniku difusního toku v určitém směru. Teprve rozdíly volné entalpie částečně usměrňují migraci častic do směru gradientu. Graficky je přechod častic přes potenciální val z jedné stabilní polohy do druhé ve směru gradientu volné entalpie znázorněn na obr. 4.9 kde  $\Delta G_A$  představuje volnou aktivační entalpii přechodu.

Obr. 4.9 Schema přechodu difundující částice přes potenciální val

$\Delta G_A$  - volná aktivační entalpie

$\Delta G$  - volná entalpie přechodu částice z jedné stabilní polohy do druhé (stabilní polohy označeny A a B)

Víme, že volná entalpie částice ve stabilní poloze není všude stejná ale zmenšuje se ve směru difusního toku na vzdálenost sousedních poloh  $\lambda$  a hodnotu  $\Delta G$ .

Na přechod částice za těchto podmínek lze aplikovat Eyringovu teorii absolutních reakčních rychlostí a na tomto základě vytvořit matematicko-fyzikální model difuse. Podle teorie absolutních reakčních rychlostí je frekvence přechodu  $f$  dána vztahem

$$f = \vartheta \cdot \frac{F^*}{F} \quad 4.61$$

$\frac{F^*}{F}$  je poměr partičních funkcí aktivovaného a základního stavu a  $\vartheta$  je universální frekvence rozpadu aktivovaného stavu. Tato frekvence je dána rovnicí 4.62

$$\vartheta = \frac{kT}{h} \quad 4.62$$

kde  $k$  je Planckova konstanta poměr partičních funkcí  $\frac{F^*}{F}$ . Eyring dosazuje do následujících vztahů

$$\Delta G = -RT \ln \frac{F^*}{F} \quad 4.63$$

$$\Delta G_A = \Delta H_A - T \Delta S_A = -RT \ln \frac{F^*}{F} \quad 4.64$$

$\Delta G_A$  - aktivační volná entalpie

$\Delta H_A$  - aktivační entalpie

$\Delta S_A$  - aktivační entropie

Můžeme přepsat rovnici 4.64 do tvaru

$$\frac{F^*}{F} = \exp\left(-\frac{\Delta G_A}{RT}\right) = \exp\left(\frac{\Delta S_A}{R}\right) \cdot \exp\left(-\frac{\Delta H_A}{RT}\right) \quad 4.65$$

a dosazením z rovnice 4.61 a 4.62 dostaneme:

$$f = \frac{kT}{h} \exp\left(-\frac{\Delta G_A}{RT}\right) = \frac{kT}{h} \exp\left(\frac{\Delta S_A}{R}\right) \exp\left(-\frac{\Delta H_A}{RT}\right) \quad 4.66$$

Rovnice 4.66 popisuje vlastně frekvenci směrově neusporejívaných přeskoků za nepřítomnosti gradientu volné entalpie. Za přítomnosti gradientu volné entalpie není frekvence přeskoků v obou směrech stejná protože potenciální val je ve směru difusního toku nižší o  $\Delta G$ . V tomto případě platí

$$f_{AB} = \frac{kT}{h} \exp\left(-\frac{\Delta G_A}{RT}\right) \quad 4.67$$

$$f_{BA} = \frac{kT}{h} \exp\left(-\frac{\Delta G_A + \Delta G}{RT}\right) \quad 4.68$$

a pro rozdíl frekvencí

$$f_{AB} - f_{BA} = \frac{kT}{h} \left[ 1 - \exp\left(-\frac{\Delta G}{RT}\right) \right] \exp\left(-\frac{\Delta G_A}{RT}\right) \quad 4.69$$

Protože  $\Delta G$  je o mnoho nižší než  $RT$ , můžeme dále uvažovat:

$$\begin{aligned} f_{AB} - f_{BA} &= \frac{kT}{h} \cdot \frac{\Delta G}{RT} \exp\left(-\frac{\Delta G_A}{RT}\right) = \\ &= \frac{kT}{h} \cdot \frac{\Delta G}{RT} \exp\left(\frac{\Delta S_A}{R}\right) \exp\left(-\frac{\Delta H_A}{RT}\right) \end{aligned} \quad 4.70$$

V soustavě Fe-C a Fe-N je však vždy obsazen jen zlomek oktaedrických interstitických poloh. Hodnotu této pravděpodobnosti lze proto považovat za blízkou 1. Je třeba respektovat skutečnost, že difuse se děje často jen v jednom z šesti hlavních směrů. Rovnice 4.70 tím nabývá tvaru

$$f_{AB} - f_{BA} = \frac{1}{6} \frac{kT}{h} \frac{\Delta G}{RT} \exp\left(\frac{\Delta S_A}{R}\right) \exp\left(-\frac{\Delta H_A}{RT}\right) \quad 4.71$$

$\Delta G$  můžeme vyjádřit pomocí gradientu chemického potenciálu a dráhy přeskoku,

$$\Delta G = -\frac{\partial \mu_e}{\partial x} \cdot \lambda \quad 4.72$$

$\lambda$  - dráha přeskoku, tj. vzdálenost dvou sousedních interstitických poloh. Potom dostaneme:

$$f_{AB} - f_{BA} = \frac{1}{6} \frac{kT}{h} \cdot \lambda \cdot \frac{1}{RT} \exp\left(\frac{\Delta S_A}{R}\right) \exp\left(-\frac{\Delta H_A}{RT}\right) \cdot \left(\frac{\partial \mu_e}{\partial x}\right) \quad 4.73$$

Průměrnou rychlosť migrace difundující částice ve směru difusního toku označujeme  $v$ . Její hodnota je dána součinem rozdílu frekvenčního přechodu a dráhy přeskoku.

$$v_e = \lambda (f_{AB} - f_{BA}) \quad 4.74$$

Dosazením z této rovnice do rovnice 4.73 se v novém vztahu objeví čtverec dráhy přeskoku

$$v_e^2 = \frac{1}{6} \frac{kT}{h} \cdot \lambda^2 \cdot \frac{1}{RT} \cdot \exp\left(\frac{\Delta S_A}{R}\right) \exp\left(-\frac{\Delta H_A}{RT}\right) \cdot \left(\frac{\partial \mu_e}{\partial x}\right)^2 \quad 4.75$$

Při jednotkové síle, která působí na difundující částici je průměrná rychlosť její migrace rovna pohyblivosti B a s použitím rovnice 4.49 platí

$$B_i = \frac{1}{6} \cdot \frac{kT}{h} \cdot \lambda^2 \cdot \frac{1}{RT} \exp\left(\frac{\Delta S_A}{R}\right) \exp\left(-\frac{\Delta H_A}{RT}\right) \quad 4.76$$

Spojením vztahu 4.55 pro koeficient difuse a rovnice 4.76 dostaváme

$$\begin{aligned} D &= B_i \cdot k \cdot T \left(1 + \frac{\partial \ln \frac{D}{D_0}}{\partial \ln \frac{T}{T_0}}\right) = \\ &= \frac{1}{6} \cdot \frac{kT}{h} \cdot \lambda^2 \exp\left(\frac{\Delta S_A}{R}\right) \left(1 + \frac{\partial \ln \frac{D}{D_0}}{\partial \ln \frac{T}{T_0}}\right) \exp\left(-\frac{\Delta H_A}{RT}\right) \end{aligned} \quad 4.77$$

závislost koeficientu difuse na teplotě je vyjádřena známým Arrheniovým vztahem 4.78

$$D = D_0 \exp\left(-\frac{Q}{RT}\right) \quad 4.78$$

kde Q je experimentálně zjištěná tzv. aktivační energie difuse a  $D_0$  je konstanta. Dá se dokázat, že aktivační entalpie v rovnici 4.77 je přímo rovna aktivační energii Q v Arrheniově vztahu, jestliže znásobíme  $\exp\left(-\frac{\Delta H_A}{RT}\right)$  číslem e, potom platí

$$\begin{aligned} D &= B_i \cdot k \cdot T \left(1 + \frac{\partial \ln \frac{D}{D_0}}{\partial \ln \frac{T}{T_0}}\right) = \\ &= \frac{1}{6} \cdot \frac{kT}{h} \cdot \lambda^2 \cdot e \cdot \exp\left(\frac{\Delta S_A}{R}\right) \left(1 + \frac{\partial \ln \frac{D}{D_0}}{\partial \ln \frac{T}{T_0}}\right) \exp\left(-\frac{Q}{RT}\right) \end{aligned} \quad 4.79$$

Srovnáním s Arrheniovým vztahem dostaneme rovnici pro konstantu  $D_0$

$$D_0 = \frac{1}{6} \cdot e \cdot \frac{kT}{h} \cdot \lambda^2 \cdot \exp\left(\frac{\Delta S_A}{R}\right) \left(1 + \frac{\partial \ln \frac{D}{D_0}}{\partial \ln \frac{T}{T_0}}\right) \quad 4.80$$

a pro ideální tuhý roztok bude

$$D_0(id) = \frac{1}{6} \cdot e \cdot \frac{kT}{h} \cdot \lambda^2 \cdot \exp\left(\frac{\Delta S_A}{R}\right) \quad 4.81$$

Exaktním rozbořením partičních funkcí aktivovaného a základního stavu a úvahami o geometrických podmínkách difuse dospějeme ke vztahu, který platí pro kubické mřížky

$$D_0 = \rho \alpha \lambda^2 \nu \cdot \exp\left(\frac{\Delta S_A}{R}\right) \quad 4.81b$$

V tomto vztahu vymizí universální frekvence  $\frac{kT}{h}$  a místo ní se objevuje frekvence kmitů  $\nu$  interstaticky

difundujících částic.  $p$  a  $\alpha$  jsou konstanty, které vystihují prostorové podmínky difuse. Konstanta  $\alpha$  závisí na geometrickém uspořádání mřížky kolem sousedících interstatických poloh difundující složky. V kubické plošně centrické mřížce má hodnotu  $\frac{1}{12}$  a v kubické prostorově centrické mřížce  $\frac{1}{24}$ . Konstanta  $p$  udává počet energeticky rovnocenných prostorových možností difuze z uvažované interstitické polohy. V kubické plošně centrické mřížce je rovna 12 a v kubické prostorově centrické mřížce je rovna 4. Pro kubickou plošně centrickou mřížku se konstanty  $p$  a  $\alpha$  navzájem ruší a vztah 4.81b se zjednoduší na

$$D_o = \lambda^2 \cdot v \cdot \exp\left(\frac{\Delta \xi_A}{R}\right)$$

4.81c

Rozbor na základě Eyringovy teorie je prozatím jediný, který umožnuje fyzikálně exaktním způsobem interpretovat hodnotu  $D_o$  v Arrheniově vztahu. Kromě vztahů odvozených z Eyringovy teorie byla pro koeficient difuse navržena řada dalších poloempirických rovnic. Barrer dospěl kinetickými úvahami a porovnáním s Arrheniovým vztahem k výrazu, který má platit pro ideální tuhý roztok:

$$D(id) = B k T = \frac{1}{6} P \lambda^2 \cdot v \cdot \frac{1}{(v-1)!} \cdot \left(\frac{Q}{RT}\right)^{v-1} \exp\left(-\frac{Q}{RT}\right)$$

4.82

kde  $v$  - frekvence kmitů difundujících částic v mřížce  
 $v$  - počet stupňů volnosti podle kterých je sdělována aktivační energie.  
 $P$  - pravděpodobnost že aktivovaná částice nalezně sousední polohu volnou.

Pro interstitickou difusi uhlíku a dusíku je  $P$  blízké 1 a  $v$  je přavděpodobně 1. Podle toho lze psát

$$D(id) = \frac{1}{6} \cdot \lambda^2 \cdot v \cdot \exp\left(-\frac{Q}{RT}\right)$$

4.83

Velmi podobný je vztah Van Lienptův

$$D = \frac{\pi}{6} \cdot \lambda^2 \cdot v \cdot \exp\left(-\frac{Q}{RT}\right)$$

4.84

Dushmann vycházel z předpokladu, že difuse je monomolekulární reakcí a odvodil kinetickou rovnici

$$D = \frac{Q}{N} \cdot \frac{\lambda^2}{h} \cdot \exp\left(-\frac{Q}{RT}\right) \quad 4.85.$$

Ze stejného předpokladu monomolekulární reakce vychází rovnice Polanyie a Wignera. Její zvláštností je, že považuje hodnotu  $D_0$  za nepřímo úměrnou teplotě. Ve všech ostatních vztažích je hodnota  $D_0$  na teplotě nezávislá

$$D = D_0 \cdot \exp\left(-\frac{Q}{RT}\right) = 2 \cdot \lambda^2 \cdot \frac{Q}{RT} \cdot \exp\left(-\frac{Q}{RT}\right) \quad 4.86$$

Je zajímavé porovnat v čem se rovnice 4.82 a 4.86 shodují s výrazy odvozenými na základě Eyringovy teorie.

Přínosem Eyringovy teorie je zejména termodynamické pojetí aktivačního děje. Důsledkem tohoto pojetí je zavedení aktivační entropie jako členu, který má rozhodující vliv na velikost konstanty  $D_0$ . Hodnota aktivační entropie je zajímavá pro poznání podrobností dějů při elementárním difusním přeskoku částice. Je-li přeskok částice doprovázen značnou poruchou mřížky, je hodnota aktivační entropie vysoká a  $D_0$  dosahuje řádu  $10^3$  až  $10^4$ . Podle Le Claira může být naopak přeskok částice podmíněn vzájemnou resonancí kmitů sousedních částic. Vzájemná resonance vede k zvýšení amplitudy a k zmenšení přechodné poruchy doprovázející přeskok částice. Aktivační entropie je v tom případě velmi malá a hodnota  $D_0$  je o mnoho řádů nižší. Při interstatické difusi je porucha mřížky při přeskoku částice mnohem menší než při difusi v substitučním tuhém roztoku, avšak účinek resonance není zde nijak význačný. Aktivační entropie i hodnota  $D_0$  nabývá proto při interstitické difusi středních hodnot. Např. aktivační entropie difuze uhlíku ve feritu je podle podle Werta

5000 Cal/gatom a konstanta  $D_0$  je v tomto případě podle Stanleyových/měření rovna  $7,9 \cdot 10^{-2} \text{ cm}^2/\text{sec}$ .

#### 4.1.3.4 Difuse uhlíku a dusíku v austenitu

##### 4.1.3.4.1 Difuse uhlíku v austenitu

Difusí uhlíku v austenitu se již v letech 1921 - 1922 zabýval Runge, Temmann a Schönert, a v roce 1928 Bramley

a spolupracovníci. Všichni tito autoři určovali difusní koeficient z rozložení uhlíku ve vrstvách cementovaných při různých teplotách v plynné atmosféře. Zejména Bramley a spolupracovníci věnovali úsilí tomu, aby pokusy byly provedeny co nejpečlivěji. Přesto však ukázaly výsledky v pozdějších měřeních, že hodnoty koeficientu difuse uhlíku v austenitu uváděné Rüngem, Tammannem a Schönertem, Bramleyem byly značně chybné. Hlavním zdrojem chyb měření těchto autorů je nemožnost dosáhnout při cementaci v plynné atmosféře toho, aby koncentrace uhlíku na povrchu byla v celém průběhu pokusu konstantní jak to vyžaduje řešení druhé Fickovy rovnice. Z fyzikálně-matematických zákonitostí difuse vyplývá, že počáteční období je s povrchem odnášeno difusi velké množství uhlíku, které se zmenšuje převrácenou hodnotou druhé odmocniny z času. Sytící schopnost atmosféry je však konstantní. V důsledku toho se v počátečním období ustavuje na povrchu nízká koncentrace uhlíku, která se časem zvětšuje. Pro přesné stanovení koeficientu difuse uhlíku bylo použito metodiky difusních článků vzniklých svařením na tupo dvou materiálů s různým obsahem uhlíku. Při pečlivém svařování na tupo se dosáhlo zcela náhlého přechodu. V r. 1939 volili tento způsob jako první Paschke a Häutmann. Skoro současně použili metody svařovaných difusních článků Wells a Mehl, kteří své výsledky později doplnili další řadu měření. Výsledky měření koeficientu difuse uhlíku v austenitu podle Wellse, Mehla a Batze jsou v současné době považovány za nejpřesnější. Je jejich zásluhou, že pro vyhodnocení difusních křivek použili Baltzmaňova a Matanova řešení a objevili tak, že koeficient difuse uhlíku v austenitu závisí na koncentraci. Jeho hodnota roste s rostoucí koncentrací uhlíku (viz tabulku 4.5)

	D <sub>c</sub> [cm <sup>2</sup> /s · 10 <sup>-7</sup> ]				
	800°C	850°C	925°C	1000°C	1100°C
Při koncentraci uhlíku 0,1 %					
-"- -"- 0,54%	0,31		1,1	2,1	7,7
-"- -"- 0,7 %	0,4	0,60	1,4	2,8	9,2
-"- -"- 1,0%			1,6	3,1	10,0
			2,1	4,6	14,0

Tabulka 4.5. Závislost koeficientů difuse uhlíku na koncentraci podle měření Wellse a Mehla

Pozdější a rozsáhlejší měření v rozmezí 0,2 až 1,3 % uhlíku tento poznatek plně potvrdila. Tato měření rovněž ukázala, že aktivační energie difuse uhlíku v austenitu klesá s rostoucí koncentrací z hotnot kolem 36.000 cal/gatom na hodnoty kolem 29.000 cal/gatom. Současně konstanta  $D_0$  v Arrheniově vztahu klesá s rostoucí koncentrací uhlíku z hodnot kolem  $3,5 \cdot 10^{-1}$  až na hodnotu menší než  $1,0 \cdot 10^{-1} \text{ cm}^2/\text{sec.}$

#### 4.1.3.4.2 Difuse dusíku v austenitu

Difuse dusíku v austenitu byla zkoumána mnohem méně než difuse uhlíku. Až dosud to byli jedině Bramley a Turner, kteří v r.1926 měřili koeficient difuse při obsazích dusíku. Studie provedená v pozdější době Darkenem, Smithem, Filerem, Fastem a Verijpen byla věnována difusi dusíku při velmi nízkých koncentracích (menších než 0,02 %). Bramley a Turner použili při studiích difuse dusíku nitridování v částečně disociovaném čpavku. Tyto hodnoty jsou shrnutý v tabulce 4.6

Tabulka 4.6  
Závislost koeficientu difuse dusíku v austenitu na teplotě podle Bramleye a Turnera

Teplota pochodu °C	D. koeficient dusíku $D_N \text{ cm}^2/\text{sek.} \cdot 10^{-7}$
800	0,12
850	0,30
900	0,60
950	1,07
1000	1,35
1050	2,50
1100	4,00

Podle dnešních poznatků a podobnosti chování uhlíku a dusíku v tuhém rozteku v austenitu se dá soudit, že rychlosť difuse dusíku bude rovněž závislá na koncentraci.

#### 4.1.3.4.3 Současná difuse uhlíku a dusíku v austenitu

Až dosud jsou známa jediná řešení koeficientu difuse uhlíku a dusíku při jejich současné difusi v austenitu. Provedli je Bramley a Tinkings v r.1926. Nitrocementovali vzorky z nízkouhlíkové oceli v atmosféře kysličníku uhelnatého.

natého nasyceného parami acetonitrilu v rozmezí teplot 850 °C až 1000 °C. Koeficienty difuse určovali z rozložení uhlíku a dusíku podle integrované rovnice 4.3. I když musíme přijímat takto získané hodnoty se známými výhradami pokud jde o přesnost, vyplynul z Mramleyovy a Tinkingsovy studie důležitý kvantitativní poznatek.

Srovnáním hodnot koeficientů difuse při difusi pouhého uhlíku a při současné difusi uhlíku a dusíku dospěli k závěru, že difuse uhlíku je současnou difusí dusíku urychlována. Výsledky jejich měření jsou v tabulce 4.7.:

Teplota pochodu °C	Nitrocementace			Cementace	Poměr koef. difuse C při nitrocementaci $D_c^{NC} / D_c^C$
	Koncentrace N na povrchu %	Koef. dif. N $D_N^{NC}$ [ $10^{-7} \text{cm}^2/\text{s}$ ]	Koef. dif. C $D_c^{NC}$ [ $10^{-7} \text{cm}^2/\text{s}$ ]	Koef. dif. C $D_c^C$ [ $10^{-7} \text{cm}^2/\text{s}$ ]	
850	0,55	0,3	/ 0,38	0,17	2,24
900	0,34	0,6	0,75	0,38	1,97
950	0,24	1,08	1,17	0,87	1,38
1000	0,18	1,35	2,00	2,00	1,00

Tabulka 4.7 - Výsledky měření současné difuse uhlíku a dusíku v austenitu podle Bramleye a Tinkingse

Příčiny tohoto jevu je možno vysvětlit na základě našeho poznatku o vzájemném vytěsnování uhlíku a dusíku v intersticích tuhého roztoku v austenitu. Podle tohoto poznatku je vstup dusíku do tuhého roztoku v austenitu provázen zvětšením hnací síly difuse uhlíku při nezměněném jeho gradientu. Ve své podstatě je jev urychlování difuse uhlíku současnou difusí dusíku shodný s růstem rychlosti difuse pouhého uhlíku s jeho rostoucím koncentrací v austenitu. Podle představy o účincích vzájemného vytěsnování na rychlosť difuse je ovšem současnou difusí urychlována nejen difuse uhlíku, ale rovněž difuse dusíku.

#### 4.2.1. Cementování a tepelné zpracování

Nejpoužívanějším postupem chemicko-teplného zpracování ocelí je nasycování povrchu součástí uhlíkem - cementování. Vytváří se jím na povrchu měkkých ocelí (s obsahem uhlíku asi do 0,3 %) vrstva obohacená uhlíkem do eutektoidní nebo slabě nadeutektoidní koncentrace.

Zakalením nacementované součásti získá se ve vrstvě tetragonální martensit o vysoké tvrdosti. V jádru dojde v závislosti na prokalitelnosti oceli a na velikosti průřezu většinou jen k částečnému zakalení. Martensit, pokud vzniká, má však vzhledem k malému obsahu uhlíku nízkou tvrdost. Proto jádro součásti zůstane měkké a houževnaté.

Cementováním většinou při teplotách 850 až 950 °C se vytváří vrstvy obvykle o tloušťce asi do 2 mm. Definice tloušťky vrstvy není ovšem zcela jednoznačná, neboť obsah uhlíku se mění plynule od povrchu do jádra. Obsah uhlíku ve vrstvě nemá příliš překročit eutektoidní koncentraci. Je totiž nebezpečí, že při pomalém ochlazování z cementační teploty se vyloučí podeutektoidní cementit ve tvaru síťoví po hraničích austenitových zrn. Jeho přítomnost značně zvětšuje křehkost vrstvy. Zvýšení obsahu uhlíku ve vrstvě posouvá teplotu  $M_f$  pod teplotu místnosti, takže v každé cementované vrstvě zůstane po zakalení větší množství zbytkového austenitu. U ocelí s větším obsahem manganu nebo niklu se to projevuje (zbytkový austenit) snížením tvrdosti vrstvy po zakalení o 2 až 3° Hrc.

Při cementování může uhlík difundovat do oceli plynné nebo kapalné fáze. Atmosféry pro cementování jsou složité směsi plynů zejména CO, CO<sub>2</sub>, H<sub>2</sub>, N<sub>2</sub>, H<sub>2</sub>O a uhlovodíků. Po posouzení cementačního potenciálu cementačních atmosfér slouží rovnovážný diagram systému C - CO - CO<sub>2</sub> - H<sub>2</sub> - CH<sub>4</sub>. (viz obr. 4.2). Podle složení atmosféry lze určit potenciální tlaky jednotlivých složek. Poloha průsečíků souřadnic  $\frac{(H_2)^2}{(CH_4)}$  a  $\frac{(CO)^2}{(CO_2)}$  určuje chování atmosféry za rovnovážných podmínek při liboválné teplotě. Z diagramu lze podle čáry a - a posoudit rovnováhu atmosféry. Jestliže složení atmosféry leží vpravo od této hranice, vylučuje se z atmosféry volný uhlík ve formě sazí. Vlevo od čáry a - a se naopak volný uhlík zplyňuje. Čára b - c je rovnovážnou hranicí pro

880 až  $900^{\circ}\text{C}$ . Jádro má po zakalení strukturu martensitickou nebo beinitickou, ve větších průřezech se objevuje i ferit a perlit. V cementační vrstvě je hrubý martensit se zbytkovým austenitem. Po druhé se kalí na vrstvu z teploty 780 až  $820^{\circ}\text{C}$ . Tím se dosáhne zjemnění zrna a zmenšení obsahu zbytkového austenitu v cementační vrstvě. Pro součásti, které se při klení mají co nejméně deformovat, se používá klení do oleje teplého 160 až  $180^{\circ}\text{C}$ . V některých případech se před vlastní klení zařazuje ještě mezižihání. Jde vlastně o normalisaci vrstvy, kterou se má zabránit vyloučení sekundárního cementitu po hranicích zrn.

Zakalená cementovaná vrstva má tvrdost 62 až 65 Hrc a je křehká. Všechny cementované součástky se proto popouštějí asi na  $180$  až  $250^{\circ}\text{C}$ . Tvrdost sice klesne asi na 58 až 63 Hrc ale zvýší se houževnatost. Řez cementovaným ozubeným kolem s typickým průběhem vrstvy je na obr. 4.11.

#### 4.2.2 Nitridování a vlastnosti nitridované vrstvy

Nitridování se definuje jako způsob povrchového tvrzení, při němž se za tepla povrch oceli nasycuje uhlíkem za současného vzniku nitridů. Provádí se u ocelí k tomu určených, zpravidla zušlechtěných na vysokou pevnost, za teploty nižší než je teplota popouštěcí. Tvrdší vrstvu než vznikne cementováním a zakalením je možno vytvořit nitridováním. Na rozdíl od cementování probíhá nitridování při teplotách podstatně nižších 500 až 600°C, tj. přibližně v oblasti, kde je největší rozpustnost dusíku v železe .

Nitriduje se buď v plynném prostředí nebo v solné lázni. V prvním případě je zdrojem dusíku čpavek, který se ve styku s povrchem součásti při teplotě povrchu disociuje podle rovnice



Část vznikajících atomů dusíku se spojuje opět na molekuly, část difunduje do oceli. Zde tvoří dusík intersticiální tuhý roztok a jemné částice nitridů. Nitridy způsobují zvýšení tvrdosti vrstvy z části vlastní vysokou tvrdostí. Zejména však proto, že při dosažení kritické disperse vytvářejí vysoká tlaková napětí a způsobují vytvrzení. Pro zlepšení vlastnosti vrstvy se do nitridačních ocelí přidavá Al a Cr, které tvoří zvlášti tvrdé nitridy a zmenšují křehkost vrstvy. U těchto ocelí se dosahuje tvrdosti až přes 1100 Hv. Tvrdost povrchové vrstvy při nitridování není tedy spojena s tvořením martensitu. Proto se nitridované součásti nekalí ani jinak dále tepelně nezpracovávají. K zajištění nejvhodnějších mechanických vlastností nitridované součásti se však před nitridováním součást zušlechtí. Volí-li se popouštěcí teplota o něco vyšší než teplota nitridační (často asi o 100 °C), nedoznávají vlastnosti oceli v jádru nitridováním prakticky změn. Nitridování v plynu trvá obvykle 12 hodin až 3 dny. Během této doby se vytvoří vrstva 0,1 až 0,5 mm. Teplota a doba pochodu ovlivňují hloubku vrstvy.

Vysoká tvrdost nitridované vrstvy je spojena s výbornou odolností proti opotřebení. Kromě toho vysoké tlakové pnutí ve vrstvě zvětšuje odolnost proti únavě, takže se často nitridují i důležité části vystavené v provozu stří-

davému namáhání. Použitím vyšší teploty (kolem  $650^{\circ}\text{C}$ ) se vytvářejí za poměrně krátkou dobu tlustší vrstvy, které mají nižší tvrdost a jsou křehčí. Mají však zvýšenou odolnost proti korosi. Proto se tohoto pochodu někdy používá jako antikorosivního nitridování. Možnost povrchového tvrzení ozubených kol nitridováním bez deformací byla pro automobilový průmysl velmi lákavá. Moderní způsoby výroby ozubených kol umožňují u nitridovaných soukolí přesný záběr a zabraňují místním vysokým tlakům, jež bývaly příčinou zničení nitridovaných kol. Dnes víme, že u kalených a cementovaných kol dochází k porušení zubů vznikem pittingů, které jsou způsobeny únavou povrchu při velkém zatížení a trhacím účinkem vytačovaného mazadla. Právě nitridovaná vrstva je schopna vzdorovat tomuto jevu.

Řez nitridovaným ozubeným kolem s typickým průběhem vrstvy znázorňuje obr. 4.12.

#### 4.2.3. Karbonitridování a vlastnosti povrchové vrstvy

Vytváříme-li vrstvu obohacenou uhlíkem a dusíkem při nižších teplotách (mezi 590 - 650°C) vzniká vrstva karbonitridů, která zvyšuje odolnost součástí proti opotřebení, zadření i únavě. V letech 1962 - 1964 byly B. Přenosilem vypracovány základní principy nového pochodu chemicko-teplného zpracování tzv. nízkoteplotního karbonitridování v plynné atmosféře /2/.

Tento nový pochod chemicko-teplného zpracování se podařilo dokonce předstihnout v tom, že při vhodných teplotách ležících pod teplotami popuštění zušlechťovaných ocelí se při nízkoteplotním karbonitridování v plynné atmosféře dosáhlo větší tloušťky vrstev v porovnání s nejdokonalejší variantou měkkého nitridování.

Podmínky karbonitridace pro studii vrstev na konstrukčních ocelích a na litině byly stanoveny na základě výsledků práce B. Přenosila v jejímž rámci byly vypracovány optimální varianty technologie karbonitridování /2/.

Pokusné použité materiály jsou uvedeny v /2/.

##### 4.2.3.1 Studie karbonitridovaných vrstev na konstrukčních ocelích a na litině

Pro studii byly z uhlikatých ocelí vybrány materiály 12 010 a 12 060, z legovaných ocelí maganová ocel 14 240, chrommanganová ocel 14 140 a chromomanganovanadová ocel 15 241. Jako další konstrukční materiál byla sledována perlitická litina. Kromě uvedených materiálů byly do programu zařazena technicky čistá železa a v omezeném rozsahu ještě nelegovaná ocel s vysokým obsahem uhlíku 19 221 a ocel s přísadou křemíku 13 251 /2/.

Karbonitridace byla provedena v n.p. LIAZ Rýnovice v peci Monocarb 20/8 s muflami pokrytými žárupevným smalem ŽP 4767. /2/.

Shrňme nejprve poznatky o struktuře vrstev karbonitridu. Zde je účelné vyjít z technicky čistého železa (12 013), u něhož je v podstatě eliminován vliv přísadových prvků. U tohoto materiálu je charakteristickým strukturním jevem relativně sporadická tvorba mikropórů v povrchových oblastech

Vidíme, že četnost a hloubka výskytu mikropórů je markantně menší než u vrstev s kyanid-kyanatanových lázní. Příčina této diférence je zřejmě ztižená nukleace mikropórů u vrstev z plynné atmosféry.

Mikropóry vznikají jako důsledek vylučování molekulárního dusíku na jádřech s dislokací z atomárního dusíku v mřížce karbonitridů. Přednukleačním stadiem mikropórů je existence kondensovaných atmosfér atomárního dusíku na jádřech dislokací. V případě vrstev z plynné atmosféry je však dusík oblasti jader dislokací vytěsnován vodíkem. Toto vytěsnování má pak u vrstev z plynné atmosféry za následek podstatné omezení tvorby mikropórů /2/.

U všech ostatních studovaných materiálů se jako charakteristický strukturní jev ukázala vnitřní oxidace. Vnitřní oxidace je obecně podmíněna tím, že základní hmota obsahuje prvky s vysokou aktivitou ke kyslíku. Tuto podmíinku splňují u ocelí a litiny křemík a mangan a u ocelí s chromem rovněž chrom. Jako obecný jev byl zjištěn vzrůst relativní hloubky průniku vnitřní oxidace s dobou pochodu. Existence zmíněného jevu je symptomem toho, že průnik vnitřní oxidace zřejmě není řízen difusí kyslíku, ale rychlostí *nukleace* dispersních oxidických částic. Pokud jde o vliv přísadových prvků ukázalo se, že intensita a zejména průnik vnitřní oxidace se zvětšuje obsahem uhlíku, resp. karbidické fáze v základní hmotě. K legovaným materiálům třeba poznamenat, že průnik vnitřní oxidace je u ocelí 14 240 a 15 241 menší a u ocelí 14 140 přibližně stejný jako u oceli 12 060. Překvapivé je, že relativně vysoký obsah křemíku se u litiny jakož i u oceli 13 251 neprojevil enormním avšak poměrně menším rozvojem vnitřní oxidace.

Z měření mikrotvrdosti vyplynulo, že vnitřní oxidace výrazně snižuje tvrdost povrchových oblastí vrstvy karbonitridu  $\epsilon$ . Současně závěry zkoušek na stroji SVUM lze shrnout konstatováním, že vnější oblasti karbonitridů s rozvinutou vnitřní oxidací mají - i přes svou sníženou tvrdost - velmi vysokou odolnost proti zadírání při suchém tření. V tomto chování lze spatřovat příznivé specifické kluzné vlastnosti částic vzniklých vnitřní oxidací. V podmínkách zkoušek při nichž se karbonitridované dvojice téměř okamžitě zadřely, se ukázalo jednoznačně, že střední rychlos

opotřebení vnějších oblastí karbonitridů s vnitřní oxidací se zákonitě neodlišuje a není zákonitě větší než rychlosť opotřebení vnitřních oblastí čistého karbidu  $\epsilon$ . Vzhledem k relativně nízkému stupni spolehlivosti současných metod laboratorních zkoušek opotřebení bude nesporně žádoucí ověřit platnost tohoto závěru ještě na podkladě zkušeností z exploatačních zkoušek přímo na součástech zejména na ozubených kolech. Přesto usuzujeme, že získané údaje prokazují, že vnitřní oxidaci se zásadně nezhoršuje praktická kvalita karbonitridovaných vrstev.

U všech studovaných ocelí i u litiny se projevuje stejná obecná zákonitost: že totiž závislost tloušťky vrstev na době je přibližně lineární. Jak B. Přenosil zdůraznil už v /2/ je výsledná lineární závislost důsledkem superposice dvou difusních dějů, jednak difusního růstu samotného karbidu  $\epsilon$  a jednak odčerpávání uhlíku a dusíku z vnitřního rozhranní karbonitridů do uhlíku-dusíkového austenitu a dalšího úniku dusíku z vnitřního rozhranní austenické oblasti difusí ve feritu základní hmoty. Kdyby vrstva karbonitridů vznikala jednoduchým difusním mechanismem a nikoliv jako superposice výše zmíněných mechanismů, musela by nevyhnutelně platit klasická parabolická závislost, vyplývající přímo z Fickových rovnic pro difusi. U normalizované i zušlechtěné oceli 12 060 se projevuje u vrstev z delších časů zřejmě zvýšení rychlosti jejich růstu /2/. Ukazuje se tedy jednoznačně, že zvyšování obsahu uhlíku v základním materiálu ovlivňuje růst vrstev karbonitridů  $\epsilon$  v příznivém smyslu. Při výkladu této skutečnosti je ovšem vhodnější hovořit o příznivém účinku vznášejících podílů cementitu v základní hmotě. V práci /17/ B. Přenosil uvedl výsledky, které prokazují, že cementit, resp. karbonitrid isomorfní s cementitem je za vysších termodynamických aktivit dusíku nestabilní a přeměnuje se v karbonitrid  $\epsilon$ . Přítomnost karbidické fáze zprostředkuje tímto způsobem urychlení postupu fronty vnitřního-rozhranní vrstvy karbonitridu  $\epsilon$ .

K problematice struktury naleží výsledky mikrorentgenografického studia strukturních složek. Ve vrstvách nasycených při  $620^{\circ}\text{C}$  v atmosféře 70 % čpavku, 30 % propanu při 50 % disociaci byla u technicky čistého železa u všech studovaných ocelí a rovněž u litiny zjištěna v povrchových

oblastech karbonitridu  $\varepsilon$  přítomnost karbonitridu izomorfního s cementitem jako vedlejší strukturní složky. V oblastech zasažených vnitřní oxidací byla identifikována existence kysličníku  $Fe_3O_4$ .

#### 4.2.3.2 Rozložení uhlíku, dusíku a kyslíku ve vrstvách karbonitridu

---

U všech sledovaných materiálů s výjimkou litiny se na křivce rozložení uhlíku ukazuje v bezprostřední blízkosti povrchu náhlý vzrůst a na křivce rozložení dusíku naopak stejně náhlý pokles. Tento úkaz souvisí zřejmě s tvorbou karbonitridů izomorfního s cementitem v povrchových oblastech vrstvy karbonitridu  $\varepsilon$ . U oceli 12 060 jsou maximální obsahy uhlíku a dusíku karbonitridu  $\varepsilon$  o něco vyšší a dosahují u uhlíku i u dusíku kolem 5,5 %. Velmi podstatný rozdíl byl zjištěn u litiny, kde maximální oblast uhlíku v karbonitridu  $\varepsilon$  přesahuje 11 %, obsah dusíku je však pouze kolem 2 %. U litiny tedy zřejmě došlo k opačné termodynamické interakci, tj. k výraznému vytěsnování dusíku uhlíkem.

U technicky čistého železa (12 013) dosahuje obsah kyslíku v povrchových oblastech vrstvy karbonitridu  $\varepsilon$  asi 1,7 % a směrem k vnitřnímu rozhraní vrstvy pozvolna a plynule klesá. Protože v povrchových oblastech vrstvy na technicky čistém železe býly zjištěny jen stopy vnitřní oxidace. Je zřejmé, že prakticky všechn kyslík je zde rozpuštěn v mřížce karbonitridu  $\varepsilon$ , kde obsazuje spolu s uhlíkem a dusíkem interstitické polohy. U všech studovaných materiálů se ukázal zásadní rozdíl charakterizovaný tím, že v oblastech zasažených vnitřní oxidací se vytvořil v porovnání s technicky čistým železem podstatně vyšší obsah kyslíku. Na rozhraní oblastí s vnitřní oxidací se pak obsah kyslíku u všech materiálů náhle snížil na hodnotu blízkou množství nalezeného na povrchu vrstvy u technicky čistého železa.

Lze předpokládat, že rozpustnost kyslíku v karbonitridu  $\varepsilon$  by u studovaných ocelí a litiny byla podstatně odlišná než u technicky čistého železa. Zvýšené obsahy kyslíku v oblastech s vnitřní oxidací je proto třeba připosovat v podstatě tomuto jevu.

K dalšímu ověření zmíněného závěru B.Přenosil stanovil rozložení kyslíku ve vrstvách u materiálů 12 010 a 12 060 karbonitridovaných po dobu 2, 4 a 8 hodin. Z výsledků těchto analýz /2/ - jasně vyplývá, že rostoucí relativní průnik vnitřní oxidace s prodlužující se dobou pochodu se na křivkách rozložení kyslíku jasně projevuje větší hloubkou oblastí s vysokým obsahem kyslíku.

#### 4.2.3.3 Průnik dusíku ve feritu základní hmoty pod karbonitridovanou vrstvou

---

Difuse dusíku v základní hmotě pod vrstvou karbonitridu byla studována u vrstev karbonitridovaných po dobu 4 hodiny. U technicky čistého železa je průnik dusíku možno charakterizovat tím, že jeho maximální obsah v sousedství s vnitřním rozhranním uhliko-dusíkového austenitu činí asi 0,14 % a jeho průnik je větší než 1 mm. Podle rovnovážného diagramu soustavy Fe - N je obsah dusíku v nasyceném feritu při teplotě 620°C asi 0,95 %. Zjištěná diference je v první řadě výsledkem toho, že ve feritické oblasti se v blízkosti vnitřního rozhranní dusíko-uhlikového austenitu tvoří na hranicích feritických zrn nitridická sítna. Z části však souvisí bez sporu s tvorbou submikroskopických precipitátů nitridu  $\epsilon$   $Fe_4N$ . Zvýšením maximálního obsahu dusíku (oproti 12 013) souvisí zde podle metalografického pozorování patrně s větším sklonem k vytváření nitridických obálek zrn feritu, zmenšený průnik dusíku je pak pravděpodobně důsledkem toho, že perlitické oblasti účinkují v tomto případě jako prostorová zábrana difusního toku dusíku. U oceli 12 060 se maximální obsah dusíku v základní hmotě dál zvyšuje na 0,3 % při současném dalším zmenšení jeho průniku. V základní hmotě oceli 12 060 nebyly nalezeny nitridické obálky zrn feritu. Maximální obsah dusíku, který značně přesahuje mez jeho rozpustnosti ve feritu zde musí souviset se vstupem dusíku do cementitu. Protože však rozpustnost dusíku v karbonitridu isomorfním s cementitem je příliš malá než aby vysvětlovala celou zjištěnou diferenci, je nutno předpokládat transformaci části cementitu v karbonitrid  $\epsilon$  /2/.

U materiálu 14 240 se maximální obsah dusíku pod kar-

bonitridovanou vrstvou blíží 0,8 % a jeho průnik je přitom poměrně značný kolem 0,8 mm. Vysoký maximální obsah dusíku zde nelze vysvětlit jinak než jeho slučováním s manganem. Termodynamické podmínky tohoto slučování jsou dány vyšší volnou entalpií reakce mezi manganem a dusíkem ve srovnání s železem. Analogický jev principu byl zjištěn u oceli s pří-sadou chromu 14 140 a 15 241. Maximální obsah dusíku v zá-kladní hmotě oceli 14 140 se pohyboval kolem 1 % a u oceli 15 241 kolem 1,3 %. U zmíněných materiálů jde bezesporu o vazbu dusíku s chromem v dispersních částicích nitridu CrN.

#### 4.2.3.4 Rozložení tvrdosti v oblasti průniku dusíku do základního materiálu

---

Měření tvrdosti v oblasti průniku dusíku do základního materiálu bylo provedeno rovněž na vrstvách ze čtvrté hodiny pochodu. Výsledky měření jsou na obrázcích /2/. Je vidět, že u technicky čistého železa a u oceli 12 010 je zvýšení tvrdosti pod oblastí karbonitridu  $\epsilon$  relativně malé. Oblast zvýšené tvrdosti zasahuje však do značné hloubky kolem 1 mm.

U oceli 12 060 byla změřena značně větší deformace. Tvrdost těsně pod oblastí karbonitridu zde dosahuje hodnot kolem 400 Hv, klesá však strměji, takže zóna zvýšené tvrdosti činf jen asi 0,6 mm. U litiny se tvrdost pod vrstvou karbonitridů pohybuje kolem 350 Hv a zóna zváše-né tvrdosti zasahuje do hloubky kolem 0,25 mm.

Příčinu zvýšené tvrdosti v oblasti průniku dusíku do jádra lze u materiálu 12 013, 12 010, 12 060 a u litiny hledat ve vlivu vysoce dispersních submikroskopických částic přechodného nitridu  $\alpha''$ , které se vylučují v prů-běhu stárnutí za normální teploty. Vysoce dispersní části-ce nitridu  $\alpha''$  zvyšují tvrdost v důsledku toho, že ztěžu-jí plastickou deformaci feritu; jejich efekt však zřejmě ne-ní nezávislý na obsahu uhlíku, resp. na podílu rozložení karbidické fáze v základní hmotě. Klesající hloubka zóny zvýšené tvrdosti se zvětšujícím se obsahem uhlíku zřejmě odráží a koresponduje s klesajícím průnikem dusíku.

U ocelí s přísadou chromu je tvrdost pod vrstvou

karbonitridu v porovnání s nelegovanými materiály zřetelně vyšší. U oceli 14 140 byly zjištěny hodnoty kolem 500 Hv a u oceli 15 241 s vyšší příasadou chromu kolem 550 Hv. Příčina vyšší tvrdosti u materiálu s příasadou chromu bezesporu je superposice vytvrzovacího efektu částic nitridu  $\alpha''$  a vytvrzovacího efektu dispersních částic nitridu CrN. Vytvrzovací efekt částic nitridu CrN, které se vytvořily při teplotě karbonitridace je ovšem značně slabší než teplotní oblasti nitridace chromových ocelí v níž se dosahuje optimální dispersnosti nitridu CrN z hlediska brzdění pohybu dislokací.

U oceli 14 240 legované pouze manganem nastává v oblasti průniku dusíku do jádra zvýšení tvrdosti na hodnoty kolem 400 Hv. Je možné, že na této tvrdosti se do jisté míry podílí precipitace dispersních částic nitridu  $\gamma'$  za teploty karbonitridace, která je indikována vstupem mangantu do tohoto nitridu. Mangan totiž vytváří nitrid o přibližném složení Mn<sub>4</sub>N, který je isomorfní s nitridem  $\gamma'$ . Vznik směsného nitridu se proto může uskutečnit rozpouštěním mangantu v nitridu  $\gamma'$ , který se tím stává termodynamicky stabilnější a schopný zachovat vyšší stupěň dispersnosti.

Pro oceli 12 060, 14 240, 14 140 a 15 241 platí obecně, že maximum tvrdosti pod vrstvou karbonitridu se v případě zušlechtěné základní hmoty a v případě normalizované základní hmoty zákonitě neliší.

## 5. Výsledky běžových zkoušek povrchově tvrzených ozubených kol

### 5.1 Zkušební zařízení

Zkoušky byly prováděny na speciálních strojích s tzv. uzavřeným okruhem.

#### 1. Na stroji SVÚM, viz obr. 5.1.

Zkoušená kola jsou namontována do skříně označené B a jsou zatížena kreuticím momentem, který se vyvedí v okruhu za klidu stroje na kručení můstku tyče C. Při nakrucování tyče C je jedna ze spojek zablekována a druhá uvolněna. Po předepnutí tyče se rozpojená spojka opět spojí a zablekovaná uvolní. Skříň A je stálá převodovka opatřená spojkou pro připojení elektromotoru M, kryjícího svým výkenem jen ztráty okruhu. Velikost kreuticího momentu se kontroluje němcí tenzometrických snímačů podle cejchovních diagramů stanovených předem.

#### 2. Na testerech katedry částí strojů, viz obr. 5.2a, 5.2b.

Zkoušená kola v ebeu testerech jsou zatěžována kreuticím momentem, který se vyvedí za chodu stroje osy výsunutím jednoho z pasterek se šikmými zuby. Potřebná osy sila se vyvedí hydraulickým válcem. Motor zde opět kryje jen ztráty vzniklé v okruhu.

### 5.2 Mazání zkoušených ozubených kol

Pro mazání na stroji SVÚM je používán trvanlivý olej K 12

s viskozitou 114 cst při  $50^{\circ}\text{C}$ . Kola jsou mazána ostříkem mimo záběrovou oblast.

Pro mazání kola v testorech KST je používán olej M6AD s viskozitou 75 cst. při  $50^{\circ}\text{C}$ . Maže se ostříkem zubů v záběrové oblasti.

### 5.3 Způsob zkoušení ozubených kol

Zkoušené součásti bylo před plným zatížením zabíháno při snížené čtvrtinové zátěži. Záběr zubů byl ukončen po dosažení nejnáležitějšího zážehu. Vlastní zkoušky byly provedeny na zážehu zážehu. Stav činné plochy po záběru byl v průběhu vlastní zkoušky dokumentován snímkováním. Během zkoušky byla ukončena, dosud uvedená velikost poškození jednotlivých zubů asi 30 % činné plochy. Nedosud uvedená k poškození činné plochy zubů, byla zkouška ukončena při  $2 \cdot 10^7$  až  $10^8$  cyklech.

### 5.4 Zkušební kola

#### 5.4.1 Tvar a rozměry zkoušených ozubených kol

Tvar a rozměry zkoušených kol v SVÚM jsou patrný z obr. 5.3 a tab. 5.1. T

Tvar a rozměry zkoušených kol na KST: nízkotepelně karbenitridovaná a cementovaná, viz obr. 5.4a a tab. 5.2a

nitridovaná, viz \_\_\_\_\_ tab. 5.2b.

#### 5.4.2 Materiál a chemické tepelné zpracování

Chemické složení materiálu je patrné z tab. 5.3.

Nízkotepelní karbenitridace v plyně se uskutečnila v závodě Liaz Jablonec n.N. v peci Menecarb. Vlastní karbenitridace se uskutečnila ve směsné atmosféře 70 % čpavku a 30 % propanu. Proces karbenitridace probíhal při teplotě  $620^{\circ}\text{C}$  při disseciaci 50 % po dobu 4 hodin. Ozubení kol bylo frézeváno a pak broušeno. Broušení bylo zceleno přes te, že v konečné fázi zavedení téheto zpracování se nečítá se ševingováním. Pro výrobu karbenitridovaných kol byly použity materiály:

12 020, 12 060, 14 140.

Po dokončení karbenitridace chladla část kol na vzduchu - "pomalé ochlazení", druhá část byla chlazena v olejové lázni - "rychlé ochlazení". Podle měření byla při chladnutí na vzduchu nečátečně rychlosť ochlazování u nestarků i kol zhruba  $3^{\circ}\text{C/sec}$ , při ochlazování v oleji pak asi  $130^{\circ}\text{C/sec}$ . Způsob chladnutí ovlivňuje obsah volného dusíku v matrici. Při plastické deformaci, ke které dochází v důsledku snáškaného kontaktního namáhání, precinitují tak z matrice přesycené dusíkem velice jemné nitridy, které zvyšují mezi kluzu namáhaných oblastí a brzdí vznik unavových trhlin.

Pro výrobu nitridovaných kol se používaly oceli:

12 060, 15 330, 15 230, 14 340 a 14 223.

Pasterky byly vyrobeny přímo z tyčového neletemaru o průměru

120 nebo 160 mm a kola z výkoveků. Ozubení bylo frézováno a ševingováno. Nitridace v plynu se uskutečnila v částečně disociovaném čpavku při teplotě 400 - 510 °C, disociaci 20 - 25 % čpavku a době 33 - 84 hod.

Pro výrobu cementovaných kol byly použity oceli:  
14 220, 14 223.

Cementace v průpanu probíhá při teplotě 930 °C. Kola byla kalena při teplotě 820 - 830 °C v oleji a popuštěna při teplotě 180 °C po dobu dvou hodin. Po chemickotepelném zpracování byla broušena.

Tepelné a chemickotepelné zpracování zkoušených kol spolu s mechanickými vlastnostmi užazuje tabulka 5.4 a,b.

#### 5.4.3 Přesnost zkoušených ozubených kol

Závěrečné proměření zkoušených kol po chemickotepelném zpracování ukázalo, že u většiny z nich došlo ke zhorskání přesnosti ozubení a jednu až dvě třídy. Výsledná přesnost zkoušených kol pak odpovídala šesté, sedmé nebo i osmé třídě přesnosti. Z hlediska kontaktního perušování jsou ovšem důležité zejména hodnoty úchylek evolventy  $\Delta E$ . V tomto směru dosahuje nejstatná část pastorek i kol páté - sedmě třídy přesnosti. Z těchto důvodů lze pokládat přesnost kol za ještě vyhovující dle ČSN 01 4682.

Klidný chod, bezhlukost a přijatelná míra spotřebení závisí, neuvažujeme-li mechanické vlastnosti materiálu, na přesnosti výroby kol. Z velké řady nenřesností, kterých je možné se dopustit při výrobě ozubených kol, mají na jejich

pracovní funkci největší vliv:

- a) obvodové (radiální) házení, tj. nesouhlasitost geometrické osy ozubení a osy stáčení kola,
- b) úchylka rozměru přes zuby, např. úchylka tloušťky zubů na konstantní výšce,
- c) úchylky ed teoretické hodnoty záběrové rozteče,
- d) úchylky profilu boku zubů (evolventy),
- e) úchylky sklonu zubů.

Kontrola radiálního házení hlavového průměru je důležitá ve všech případech, kdy se kolo při obrábění díry upíná na hlavovém válci. Dovolené úchylky radiálního házení proti osě stáčení  $\Delta H_a$  jsou v tab. . Radiální a čelní házení měříme číselníkovým úchylkemérům.

Obvodové házení ozubení kontrolujeme stejným způsobem s tím rozdílem, že detyk číselníkového úchylkeméru má kuličku příslušné velikosti.

Tlušťka zubů, na níž závisí při jinak správné osové vzdálenosti obou kol záběrová výlo v zubech se měří podle ČSN 01 4678 v místech průsečíku záběrové přímky (tečny k základní kružnici) procházející průsečíkem osy profilu zuba s reztečnou kružnicí. Tuto konstantní tloušťku  $S_K$  měříme zvláštním posuvným měřítkem se dvěma posuvnými čelistmi a se dvěma stupnicemi. Výšku  $h_K$ , tzv. konstantní výšku, na kterou před měřením nastavíme svisle posuvnou čelist, zjistíme pro daný modul buď výpočtem podle rovnice (5.1), nebo ji vyhledáme v tab. ČSN 01 4678.

$$h_k = m \left( 1 - \frac{\pi}{4} / \sin \alpha \cdot \cos \alpha \pm x \cdot \cos \alpha \right) \quad (5.1)$$

jmenovite u hnedetu konstantni tloušťky  $S_K$  bud vypočítáme podle rovnice (5.2) nebo zjistíme z tab. ČSN 01 4678.

$$s_k = m \cdot \cos \alpha \left( \frac{\pi}{2} \pm 2x \operatorname{tg} \alpha \right) \quad (5.2)$$

kde  $x \dots$  jednotkové posunutí základního profilu

Velikost běžní výše záběru dvou kola lze zkentrelovat tzv. měřením "přes zuby". Jmenovitý rozdíl přes zuby  $M$  je vzdálenost dvou rovnoběžných tečen ke dvěma sousedním nebo více vzdáleným zubům. Normálna těchto tečen je tečnou k základní kružnici. Hnedna rozdílu  $M$  pro kola s určitým modulem, počtem zubů a úhlem záběrové přímky se zjistí z tab. ČSN 01 4675. Počet zubů  $z'$ , přes něž měříme, se určí buď zkusme tak, aby se neměrile v blízkosti hlavové kružnice nebo se vypočte z rovnice (5.3).

$$z' = \frac{\alpha}{180} \cdot z + 0,5 \quad (5.3)$$

kde  $\alpha \dots$  úhel záběru

$z \dots$  počet zubů kola

Čelní kola se šikmými zuby se měří "přes zuby" v rovině kolmé na sklon zuba na základním válci. Měřit lze za předpokladu, že šířka kola  $b$  je větší  $M \sin \alpha$ . Na klidný a správný chod ozubeného kruhu má značný vliv dodržení pravidelnosti a stejně hodnoty základní rozteče  $t_z$  všech zubů ozubeného kola. Již menší odchyly zubové rozteče od jmenovité rozteče způsobují nárazový záběr kola, hlučný chod a nadměrné spotřebení. Při měření základní rozteče se v naměřené úchylce projeví zároveň i úchylka boku zuba (evolventy). Proto měření úchylek základní rozteče má vý-

znam jen tehdy, jsou-li úchytky evolventy nepatrné. K měření používáme speciálních měřidel se třemi měřicími detyky, které realizují tři průsečíky tečny s boky zubů. Správná vzdálenost detyků se nastavuje podle speciálních měřek. Dovolené úchytky základní rozteče  $\Delta z$  jsou v tabulce. Přesnost profilu boku zuba má na klidný chod ozubeného soukeli stejný vliv jako přesnost rozteče. Větší úchylka profilu boku zuba od ideální evolventy má vliv na všechny ostatní parametry, kterými kontroloujeme přesnost ozubeného kola. Přesnost evolventy je proto třeba kontrolovat před měřením ostatních parametrů. Správnost evolventy boku zuba hodnotíme podle velikosti úchytky evolventy  $\Delta E$ . Měříme ji speciálními přístroji založenými na principu odválování přímky po základní kružnici.

### 5.5 Výsledky běhových zkoušek

Hlavní výsledky běhových zkoušek jsou schrnutý v tab. 5.5.

K významu některých hodnot v tab. 5.5 je třeba poznámenat:

a) Hertzův tlak je:

$$P_H = \sqrt{0,35 \cdot P_0 \cdot \frac{E}{2b} \cdot \frac{\rho_1 + \rho_2}{\rho_1 \cdot \rho_2}} \quad (\text{kN/mm}^2)$$

Pro ozubená kola zkoušená v SVÚM

$$P_H = 5,138 \cdot \sqrt{P_0} \quad (\text{kN/mm}^2)$$

Pro ozubená kola zkoušená na KST - VŠST

šikmá

$$\rho_H = 2,3246 \cdot \sqrt{\rho_o} \quad / \text{kp/mm}^2 /$$

nebo

$$\rho_H = 2,6063 \cdot \sqrt{\rho_o} \quad / \text{kp/mm}^2 /$$

přímá

$$\rho_H = 5,672 \cdot \sqrt{\rho_o} \quad / \text{kp/mm}^2 /$$

b) Hlubinné napětí je:

$$\tilde{\sigma}_{HL} = 0,56 \cdot \rho_H \cdot \sqrt[3]{k} \cdot (1 + 1,6 \cdot f^2) \quad / \text{kp/mm}^2 /$$

je-li

$$f = 0,07$$

$$k = 1$$

pak je

$$\tilde{\sigma}_{HL} = 0,5644 \cdot \rho_H \quad / \text{kp/mm}^2 /$$

Pro ozubená kola zkoušená v SVÚM

$$\tilde{\sigma}_{HL} = 2,9 \cdot \sqrt{\rho_o} \quad / \text{kp/mm}^2 /$$

Pro ozubená kola zkoušená na KST - VŠST

šikmá

$$\tilde{\sigma}_{HL} = 1,312 \cdot \sqrt{\rho_o} \quad / \text{kp/mm}^2 /$$

nebo

$$\tilde{\sigma}_{HL} = 1,47 \cdot \sqrt{\rho_o} \quad / \text{kp/mm}^2 /$$

přímá

$$\tilde{\sigma}_{HL} = 2,82 \cdot \sqrt{\rho_o} \quad / \text{kp/mm}^2 /$$

c) Mezní napětí

$$\tilde{\sigma}_{cd} = \frac{2 \cdot \tilde{\sigma}_{cd}}{1 - (1 - \eta_{\alpha}) \cdot \frac{\tilde{\sigma}_{kj}}{\tilde{\sigma}_{pj}} \cdot \eta_{\alpha}} / \text{kN/mm}^2$$

$$\tilde{\sigma}_{cd} = (1 - \eta_{\alpha}) \cdot \tilde{\sigma}_{kj} + 0,13 \cdot (\tilde{\sigma}_{pj} - \tilde{\sigma}_{pj}) / \text{kN/mm}^2$$

$$\eta_{\alpha} = \left( \frac{\tilde{\sigma}_{kj}}{\tilde{\sigma}_{pj}} \right)^2 \cdot \frac{2(1+2)}{3} / \text{kN/mm}^2$$

Dříve, než přistoupíme k rozboru dosažených výsledků, připomeneme charakteristické části tvrzených vrstev ozubených kol. Charakteristické části karbenitridační vrstvy jsou patrné z obr. 5.5. Jsou zde dvě důležité oblasti: povrchová vrstva karbenitridu s tlušťce dosahující běžných vrstev řádově několik desítek  $\mu\text{m}$ , s vyšším obsahem dusíku a uhlíku a pak poměrně silná (až 1 mm) oblast průniku dusíku a uhlíku do základní matrice. V obr. 5.6 je znázorněna struktura a průběh tvrdosti karbenitridované vrstvy ozubených kol zkoušených na KST. Karbenitridovanou vrstvu vyhodnotil útvar podnikové metalurgie n.p. Liaz. Tlušťka vrstvy byla měřena na metalografickém výbrusu na mikroskopu Neophot při zvětšení 450x. Tvrdost karbenitridované vrstvy byla měřena na metalografickém výbrusu přístrojem PMT 3 při zatížení 100 g.

V obr. 5.7 je znázorněna struktura a průběh tvrdosti nitridační vrstvy ozubených kol zkoušených na KST.

V obr. 5.8 je znázorněna struktura a průběh tvrdosti cementační vrstvy ozubených kol zkoušených na KST.

Tloušťka vrstvy byla měřena na metalografickém výbrusu na mikroskopu Neophet při zvětšení 800x. Tvrdest nitridační a cementační vrstvy byla měřena na metalografickém výbrusu na přístroji PMT 3 při zatížení 100 g. Měření provedla katedra materiálu a tváření VŠST. V tab. 5.9 je znázorněna struktura karbenitridační vrstvy ozubených kol zkoušených ve SVÚM. Ve vrstvě karbenitridu se při povrchu obvykle vytváří pásmo s vyšším podílem pórů zasažené navíc vnitřní oxydaci. Toto povrchové pásmo má nižší tvrdest. Pod tímto pásmem pak bývá kompaktní vrstva karbenitridů s vysokou tvrdestí (nad 1000 HM 30). Přechod mezi vrstvičkou karbenitridu a vrstvou průniku dusíku a uhlíku v matrici tváří úzký lem dusíkuuhlíkového austenitu, často s výraznými jehlicemi nitridů. Očekává se, že při kontaktním namáhání ozubených kol se příznivě unlatní jak vrstva karbenitridů s vysokou tvrdestí, tak také poměrně silná vrstva průniku dusíku z již dříve uvedených důvodů precipitace jemných nitridů při vzniku plastické deformace. Přehled sležení karbenitridovaných vrstev u jednotlivých skriní kol získaný metalografickým rezborerem na větším počtu zubů kol je v tab. 5.6. V tabulce je také uveden maximální obsah dusíku v povrchové vrstvičce a tloušťka průniku dusíku, jak byly stanoveny chemickými mikrarezby na vzorcích přiležených k jednotlivým sériím kol. Jak je vidět z tab. 5.5 jsou výsledky zkoušek na strojích KST - VŠST velmi nízké. Hertzův tlak ve styku zubů  $p_H = (39 - 47) \text{ kp/mm}^2$  (pro karbenitridovaná ozubená kola a cementovaná ozubená kola), a  $p_H = (80 - 110) \text{ kp/mm}^2$  (pro nitridovaná ozubená kola) odpovídají přenášenému výkonu motoru M 630 a M 634 při běhových zkouškách. Jedná se o velice nízké zařízení odpovídající

zhruba mezi únesnosti měkkých a zušlechtiných ozubených kol.

Při běhových zkouškách asi dle  $10^8$  cyklů došlo v některých případech i při tomto nízkém zatížení ke vzniku mapevitěho zdrsnění boků zubů, které zřejmě ukazuje na první stadium kontaktního nerušování karbenitridační vrstvy. Vznik pittingu na bocích zubů byl velmi nepatrný.

Mapevitý povrch sestává z plešek lesklých, kde dochází k záběru a z plešek tmavých, jež tvoří prohlubně s velmi hrubým povrchem. Tato tmavá místa jsou pravděpodobně způsobena únavou materiálu a vznikladnostupným odlepováním menších částeček zpevněné vrstvy, jak je patrné z obr. 5.10. Na koloch, jak ukazují snímky obr. 5.11 a obr. 5.12, došlo k odlepnutí větší plešky pravděpodobně najednou. Příklad tehoto odlepnutí je poměrně hladký a má stejný vrzhled jako poškození způsobená mechanicky, která jsou na nečinných bocích několika zubů. Z běhových zkoušek na stroji KST plyne, že pro podmínky zatížení rezvedových kol je nejvhodnější karbenitridační způsob, který dává průběh tvrdosti s určitem předlevem v oblasti největší tvrdosti, přičemž by tato předleva dosahovala hloubky 30 - 45  $\mu\text{m}$ . Tato kola bude nutno provádět jako karbenitridovaná, jejichž tvrdost povrchu vyhoví rezolu Hu 0,1 = 650 - 750. Protože průměrný provozní výkon přenášený rezvedovými koly 16,4 k působí průměrné redukování hlubinné napětí v hloubce 33  $\mu\text{m}$  pod povrchem a dosahuje hodnoty 21 kp/mm<sup>2</sup>. Pro největší provozní výkon přenášený rezvedovými koly 30 k působí největší redukování hlubinné napětí v hloubce 40  $\mu\text{m}$  pod povrchem a dosahuje hodnoty 26 kp/mm<sup>2</sup>. Vypočtená nožadová životnost kola je  $5,4 \cdot 10^8$  cyklů, přičemž zkoušená kola vykonalala na testoru A  $6,12 \cdot 10^8$  cyklů a na

testoru B  $4,9 \cdot 10^8$  cyklů. Ozubená kola z materiálů 12 020.1 s průběhem tvrdosti podle obrázku 5.6a nejlépe vyhovovala pro dané podmínky zatížení.

Výsledky běhových zkoušek na stroji SVÚM jsou v tab.

5.5. Ze zkoušek vyplynul poznatek, že u nitridovaných kol rezhedovala se životnost ve všech případech kontaktní únavová pevnost zubních boků. Z míst kontaktního porušení mimo patní oblast pak vycházel vlastní únavový lom zubů. Je zde rozdíl proti kolům cementovaným, kde kritickou byla únavová pevnost v ohybu a také proti kolům zušlechtěným, kde životnost kola byla vymezena úplným kontaktním porušením boků zubů.

Nitridovaná kola z tñitridační oceli 15 330 (Cr, Mo, V) i z uspernější oceli 15 230 (Cr - V) mají překvapivě velkou únosnost, která 4,4 - 4,6x větší než únosnost ze zušlechtěných kol a stejná jako u cementovaných kol. Mezní Hertzův tlak ve valivém bodě je v tomto případě  $p_H = 146 - 150 \text{ kp/mm}^2$ . Až na jednotlivá hlubší poškození, která rozsahem odnávidají zvoleným kritériím byly po tomto dleuhedebém/namáhání zjištěna na bocích zubů pouze místní povrchové zdrsnění. Ze získaných výsledků vyplývá, že volba nitridační oceli 15 330 a 15 230 je pro nitridovaná kola správná. První únavové kontaktní trhliny vznikaly podle metalografického šetření z povrchu. Přesto, že tloušťka nitridační vrstvy je malá, nebyl zjištěn případ vzniku kontaktního únavového porušení v jádře pod vrstvou. Při porušování lze pozorovat tyto etapy: ne dleuhedebém vyšekém kontaktním namáhání ( $p_H = 110 \text{ kp/mm}^2$ ) dochází na bocích ke vzniku zdrsnění. Souvisí te s porušováním a odlupováním povrchové vrstvičky (nitrid  $\text{Fe}_2\text{N}$  - tzv. bílá vrstvička) o tloušťce 10 - 15  $\mu\text{m}$ .

V převnání s původní drsností povrchu  $R_a = 0,3 - 0,4 \mu\text{m}$  se v těchto místech drsnost zvýšila na  $R_a = 0,7 - 1 \mu\text{m}$ . Pokud při vysokém namáhání vzniká hlubší kontaktní perušování běží, vyhází většinou z míst, kde již v předchozí etapě došlo k odlupevání vrstvičky  $\mathcal{E}$ . Prekázalo se tak, že vrstvička nemá nepříznivý vliv na kontaktní únavové vlastnosti vrstvy, jak se obvykle předpokládá. Z míst hlubokého kontaktního perušení pak po dleuhodobém běhu docházelo k rezvoji únavového lemu zuba.

Z výsledků zkoušek nitridovaných ozubených kol v tab. 5.5 vidíme, že zvětšení tloušťky nitridační vrstvy z 0,45 mm na 0,65 mm nevedlo ke zvýšení kontaktní únosnosti. To souhlasí s dříve uvedeným rozberem kontaktního namáhání, podle kterého pro ozubená kola s modulem  $m = 4$  zde je postačující tvrzená vrstva s optimální tloušťkou  $t = 0,5 \text{ mm}$  /19/. Na nitridovaných kolesích s modulem  $m = 3$  vedené podle /19/ zvýšení tloušťky vrstvy o 50 - 150  $\mu\text{m}$  představuje optimální hodnotě ke snížení kontaktní únavové pevnosti o 30 - 40%.

Z výsledků v tab. 5.5 a obr. 5.13, obrázek 5.14 vyplývá, že také karbenitridace v plynu je nadějným způsobem chemicko-teplotného zpracování. Aktivní výsledky byly získány především u pokusných ozubených kol z oceli 14 130, karbenitridovaných a rychle ochlazovaných. Mezný Hertzův tlak odpovídající trvanlivosti  $10^8$  cyklů je  $p_H = 102 \text{ kp/mm}^2$  a odpovídající obvodová síla mezi zuby  $P_0$  je v převnání se zušlechtěnými koly více než dvojnásobná. Příznivé výsledky byly získány i u kol z oceli 12 020 karbenitridovaných a rychle ochlazových. Mezný Hertzův tlak odpovídající trvanlivosti  $10^8$  cyklů je zde  $p_H = 61 \text{ kp/mm}^2$  a odpovídající obvodová síla čini trojnásobek.

násobek proti měkkým kólům normalizačně žíhaným. Ostatní výsledky nejsou tak příznivé. Jedná se o sérii ozubených kól z oceli 14 140 a 12 020 karbonitridovaných a normálně ochlazovaných.

Výsledky na karbonitridovaných kólech mely velký rozptyl hnednot. K objasnění kolísání kontaktní únosnosti zubů může výrazně přispět rezber kontaktního nerušování a rezber kvality karbonitridovné vrstvy. Podrobnejší metalografický průzkum ukázal, že k vývoji destruktivního hlubokého kontaktního nerušení došlo u většiny zkoumaných zubů až po snetřebení povrchové vrstvičky karbonitridu  $\mathcal{E}$ , nebo po jeho kontaktním rozrušení a následujícím snetřebení. Nejčastější charakter kontaktního nerušení karbonitridované vrstvy je na obr. 5.15. Po snetřebení vrstvičky karbonitridu vznikají na okraji snetřebené zóny prvé stopy výraznějšího nerušení povrchu. Z prohlubně prvních dílků se pak již šíří destruktivní kontaktní únavové trhlinky. Vedle ponasaného plášného snetřebení celé vrstvy karbonitridu dochází obvykle učinkem opakovaného kontaktního namáhání k uvolnění pevnostní vazby povrchové části vrstvičky obsahující oxydy a páry viz obr. 5.16. U některých zubů docházelo k vydrolévání této nerézní vrstvičky. Důvodem k tomu bylo vnitřní rozrušení této části vrstvy karbonitridu. Obyčejně zjištěné trhlinky mezi povrchovou vrstvičkou s oxydy a kompaktní oblastí vrstvy navíc prokazují, že ani pevnost rozhraní není příliš uspokojivá. Odlunování povrchové vrstvičky lze pozorovat na povrchu zubů jako místní zdrsnění povrchu. Uvedené příklady nasvědčují tomu, že povrchová zóna vrstvy karbonitridu s oxydy a páry je zřejmě méně odolnou sítězkou

vrstvy karbonitridu. Opatřebení vrstvičky karbonitridu vedle k vývoji destruktivních pittingů. S tím dobře souhlasí skutečnost, že zkoušená kola, u kterých bylo dosaženo větší tloušťky karbonitridu ē dobré jakosti, tj. s neníliš silnou vrstvičkou oxydů nórů, se dosahovala větší kontaktní pevnost. Potvrzuje to tabulka 5.6, kde je uveden výsledek metalografického prízkumu ve vrstvě karbonitridu u většího počtu kol zubů skuniny ocelí 14 140, karbonitridovaných a rychle ochlazovaných nebo pomalu ochlazovaných. V prvním případě dosahovala kontaktní únosnost  $p_H = 102 \text{ kp/mm}^2$ . U těchto kol přes značné výkyvy dosahovala celková tloušťka karbonitridní vrstvy hodnot 24 - 74  $\mu\text{m}$  také tloušťka její kompaktní zóny byla 4 - 17  $\mu\text{m}$ . Ve všech případech byla také zjištěna přechodná vrstvička dusíku a uhlíku v austenitu. Naopak ve druhém případě je tloušťka vrstvy karbonitridu velice malá 7 - 15  $\mu\text{m}$  tloušťka její kompaktní zóny je nenatrnná 1-4  $\mu\text{m}$ , přechodná vrstvička C - N austenitu zcela chybí. Charakteristický je také nižší obsah dusíku v povrchové vrstvičce. Kola vykázala velice nízku únosnost (viz obr. 5.14) - klesá až na uroveň jen zušlechtěných.

Také u některých porušených pokusných kol z oceli 12 020 s nízkou únosností byly zjištěny malé tloušťky karbonitridu a špatná kvalita vrstvy, i když rozsah tloušťek vrstev se v tomto případě u kol pomalu ( $K_1$ ) a rychle ( $K_2$ ) ochlazovaných příliš nelišil - viz tab. 5.6. Naopak u některých kol ze série  $K_2$  byly při dobré kvalitě vrstvy získány mimořádně příznivé hodnoty kontaktní únosnosti  $p_H = 75 \text{ kp/mm}^2$  při čtyřnásobné obvodové síle ohroti kolům měkkým. Z těchto výsledků vyplývá, že kontaktní únosnost kol zřejmě není příliš ovlivěna rychlostí ochlazování, ale především kva-

liteu karbenitridační vrstvy.

V několika případech byl ještě pozorován jiný mechanismus poškozování karbenitridační vrstvy a povrchu zubů - viz obr. 5.17. V kompaktní vrstvě zde došlo při běhových zkouškách ke vzniku trhlinek klemých k povrchu. Trhlinky procházely v první fázi jen kompaktní vrstvičkou a byly ukončeny jak v pôreznej vrstvičce, tak v austenitické přechodové mezivrstvě. Tyto únavové trhlinky vedou k odlupovaniu povrchové vrstvičky karbenitridu a ke vzniku pittingů. K poškozování tehoto typu může dojít tím, že povrchová vrstvička s páry a oxydy má nižší mez trvanlivosti, takže koncentraci kontaktního namáhání přenáší především vrstva kompaktní. Ke kompaktnímu poškození tehoto typu došlo jen výjimečně v několika málo případech. Lze očekávat, že příznivé podmínky k zamezení poškozování nastanou, nedáří-li se emeziproužnostku povrchové pôreznej vrstvičky s nižším modulem pružnosti na mizivém míru. Příznivý účinek má zřejmě také hálezitě silná vrstva dusíkuuhlíkového austenitu s vysočkými pevnostními vlastnostmi. Tato brání vzniku plastických deformací od konstantního namáhání <sup>v</sup>povrchové vrstvě, které rovněž musí vést k poškození tvrdé ale křehké kompaktní vrstvy.

Dleudělebě běhové zkoušky (od  $10^8$  cyklů) na pokusných kolech s modulem  $m = 4$  prokázaly, že při dobré kvalitě karbenitridační vrstvy, jak je specifikována dále, dává nízkotepelní karbenitridace v plynu velice příznivé hodnoty kontaktní únosnosti. Vyjádříme-li únosnost přenášenou obvodovou silou, jedná se podle těchto výsledků o zvýšení únosnosti o 150 - 270 %.

Z rezberu poškozování kol a z rezberu některých nepří-

znaivých výsledků vyplývá, že kontaktní únavová pevnost boků zubů je výrazně ovlivněna tloušťkou povrchové vrstvy karbenitridu  $\mathcal{E}$  a kvalitou této vrstvy. Hluboké neškození zubačích boků se převážně rezvíje až po opatření povrchové karbenitridační vrstvy. Vliv přechodové vrstvičky dusíkuuhlíkového austenitu se jeví příznivý. Kontaktní únavové trhlinky, ze kterých se vyvíjel pitting, vznikaly až po opatření této složky.

Z dosažených výsledků při zkouškách karbenitridovaných kol ochlazováním z teploty  $620^{\circ}\text{C}$  pomalu a rychle vynáleží, že vliv ochlazování v uvažovaném intervalu ochlazovacích rychlostí se výrazněji neprojevil. Vliv kolísání kvality karbenitridované vrstvy se jeví jako daleko výraznější. Ze získaných poznatků pak vyplývající požadavky na kvalitu karbenitridovaných vrstev :

- celková tloušťka karbenitridované vrstvy by měla dosahovat nejméně  $25 \mu\text{m}$
  - tloušťka povrchové vrstvičky s páry a oxydy by neměla přesahovat  $40 - 50 \%$  tloušťky této vrstvy
  - existence přechodové vrstvičky N-C v austenitu je významná
- K tomu se přidružuje ještě i požadavek na dostatečnou hlebku průniku dusíku  $0,7 - 1 \text{ mm}$ .

Vzhledem k charakteru kontaktního porušování karbenitridovaných zubů, kdy destruktivní porušení délky vzniká až po opatření vrstvy karbenitridační, je nutné při experimentálních průkazech trvanlivosti těchto kol a převodek počítat s predloužením zkoušek nejméně na  $5 \cdot 10^7$  cyklů.

5.6 Zhodnocení výsledků běhových zkoušek s ohledem na výpočtové podklady ozubení

Dlouhodobé běhové zkoušky až do  $10^8$  cyklů, které se uskutečnily na stroji SVÚM umožnily vyhodnotit pomocí metodiky příslušné státní normy kritické hodnoty namáhání materiálů na stlačení  $\sigma_{da}$ , odpovídající mezním únosnostem dle tab.

5.5. Hodnoty  $\sigma_{da}$  získané tímto způsobem u úspěšně tvrzených ozubených kol spolu s hodnotami pro kola v oceli 15 330.6 a z oceli 12 020.1 jsou v obr. 5.18 vyneseny spolu s mezními hodnotami dle ČSN 01 4686.

Z obr. 5.18 ještě vyplývá další zajímavý poznatek, který ovlivňuje celkové hodnocení karbenitridovaných kol. Experimentálně zjištěné hodnoty dávají podklady pro daleko příznivější hodnocení karbenitridovaných kol, jak také vyplývá z tab. 5.5 - zvýšení o 150 % u 14.140 rychle ochlazovaných, o 110 % u širokých kol z oceli 14140 (VÚ ČKD), a dokonce o 270% u kol z oceli 12020 karbenitridovaných.

Příznivé výsledky dosažené u karbenitridovaných pokusních kol 14140 zřejmě ještě nevyčerpávají všechny možnosti, když nízkotepelní karbenitridace může dát. Je známo, že v zahraniční literatuře se objevily ještě daleko optimističtější výsledky. Kola karbenitridovaná v lázni postupem od fy Degussa by podle těchto údajů dosahovala téměř stejných hodnot, jako kola cementovaná. S přihlédnutím k poznatkům našich zkoušek nelze tyto podklady pokládat za zcela přesvědčivé.

pevnost tvrzených ozubených kol

Z desažených výsledků běhových zkoušek a metalografických rezborů povrchových poškození boků zubů vyplývají následující hlavní faktory ovlivňující kontaktní únavovou pevnost chemicko tepelně zpracovaných tvrzených ozubených kol:

- a) tvrdost a průběh tvrdosti povrchové vrstvy
- b) tloušťka tvrzené povrchové vrstvy
- c) kvalita tvrzené povrchové vrstvy
- d) materiál a jeho druh chemicko tepelné zpracování a tepelné zpracování
- e) obvodová rychlosť ozubeného kola
- f) přesnost výřeby a mentáže, drsnost boků zubů ozubeného kola
- g) geometrické parametry ozubeného kola:
  - modul ozubeného kola
  - úhel sklenu zubů ozubeného kola  $\beta$
  - úhel záběru  $\alpha$  a záběrový součinitel  $\varepsilon$
  - kerigování a koeficient kerigování ozubeného kola
  - počet zubů ozubeného kola, šířka kola
- h) způsob mazání, druh oleje a jeho viskozita
- i) zatížení a režim zatížení
- j) koeficient tření na bocích zubů

Z hlediska zvýšení kontaktní únavové pevnosti jsou v případě tvrzení zubů kromě kuličkování, válečkování, kašlení, nitrocementování atd. tři důležitější chemickotepelná zpracování: cementace, nitridace a karbenitridace. Z nich cementování patří mezi nejrozšířenější tepelné způsoby zpracování a je při nich prakticky dosahováné nejdélší životnosti. Ta ovšem většinou požaduje po tepelném zpracování nákladné broušení. Proto se neustále hledají jiné způsoby zpracování, které by umožnily vynechání této konečné operace. Určité naděje dává nitridace, která se již dříve osvědčila jako bezdeformační technologie v případě tvarování náročných kovů, např. v leteckém průmyslu. Vzniká otázka, do jaké míry mohou nitridovaná kola nahradit cementovaná i po stránce únosnosti. Nepríjemným nedostatek je ovšem časová náročnost a vysoké náklady na této zpracování.

Ve strojírenství neustále raste zájem o tzv. bezdeformační způsoby chemickotepelného zpracování ozubených kovů. Jedním z těchto postupů je nízkotepelná karbenitridace. Karbenitridace v plném má proti zpracování v lázni řadu zařízených technologických, technických a zdravotních výhod. Nákladnost technologie nízkotepelné karbenitridace je stejná jako náklady na nitrocementaci v plném v šachetových pecích.

Vysoká únosnost snělu s malými deformačními účinky a ekonomickými hledisky velice závažným kritériem pro vhodnost širokého uplatnění této nové technologie v průmyslu.

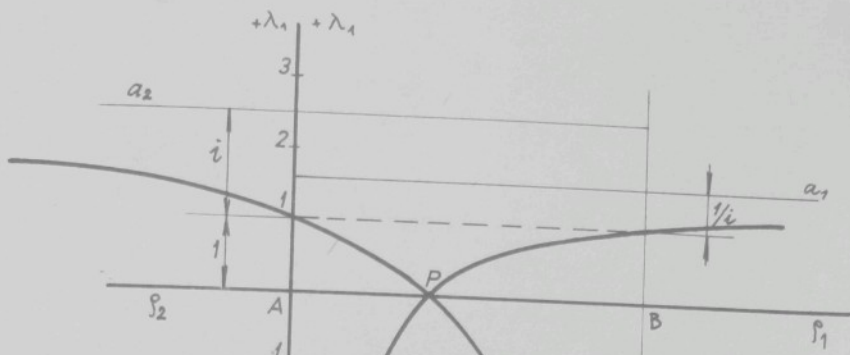
Z uvedeného vývoje kontaktního nerušování a z rezberu

desažených výsledků běhových zkoušek ozubených kol vyplývají požadavky na karbonitridované vrstvy. Především je to požadavek na zcela sněhlivé desažení silné povrchové vrstvy karbonitridu  $\mathcal{E}$  (více než 20  $\mu\text{m}$ ). Zároveň pak požadavek na největší snížení podílu méně odolné pórézní části ve vrstvě karbonitridu  $\mathcal{E}$ .

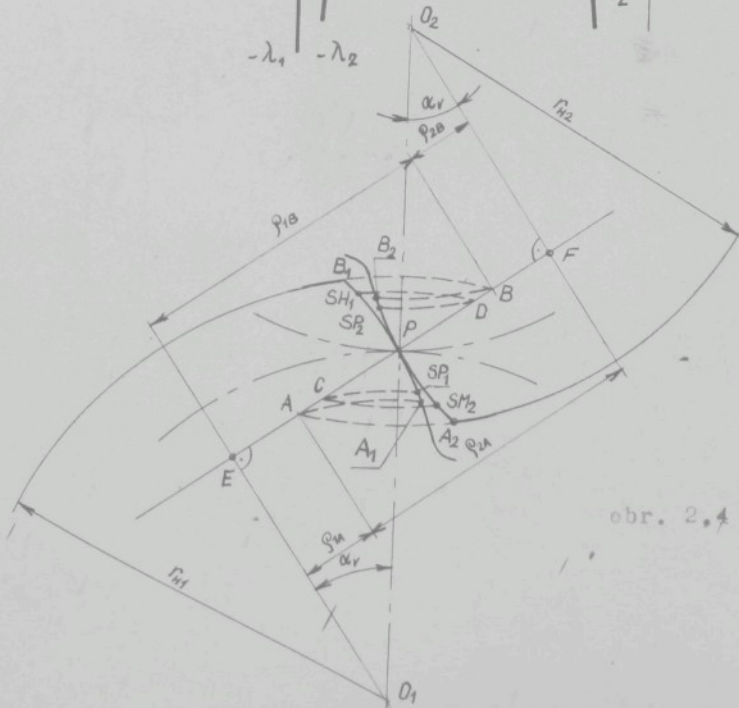
U povrchové tvrzených ozubených kol chemickotemelně zpracovaných režeduje o jejich životnosti kontaktní únavová pevnost zubních boků. Proto aplikace postupu a výněčtu únosnosti povrchové tvrzených ozubených kol navrženého Prof. Meduna je vhodnější ve srovnání s metodeu výněčtu dle ČSN. Tímto způsobem vypočtená mezná namáhání dobře souhlasí s výsledky běhových zkoušek ozubených kol prováděných na KST VŠST i s kontrolními výněčty v praxi esvědčených automobilních převodovek.

Koefficient ve výrazu pro výněčet mezného namáhání, zahrnující vliv povrchu, se mění podle druhu tepelného zpracování pro cementovaná kola  $y = 0,35$ .

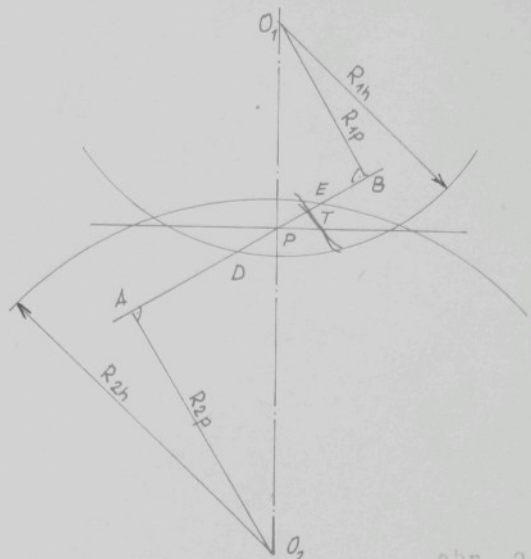
O B R Á Z K O V Á Č Á S T



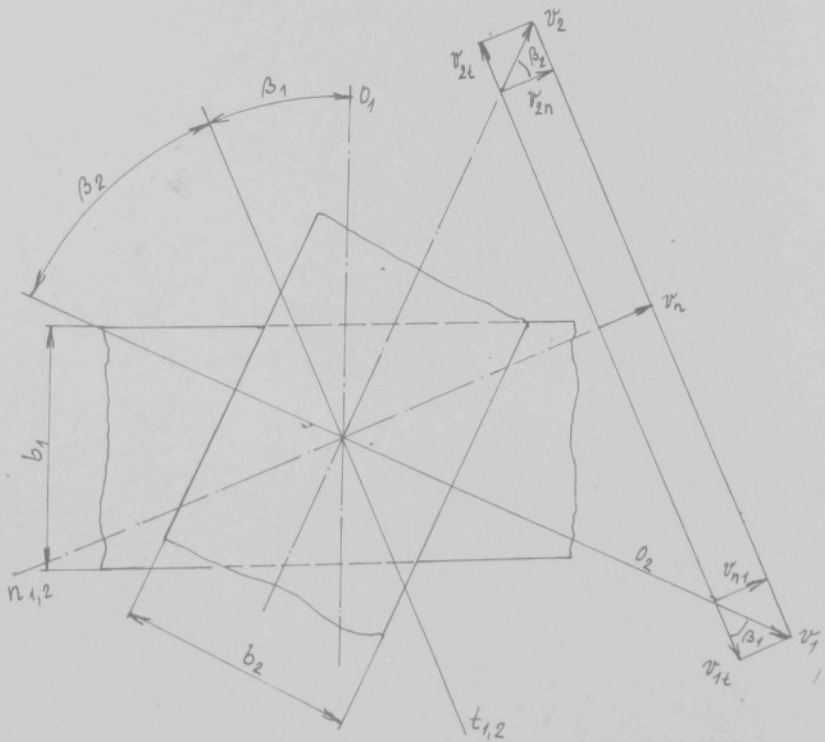
obr. 2.3



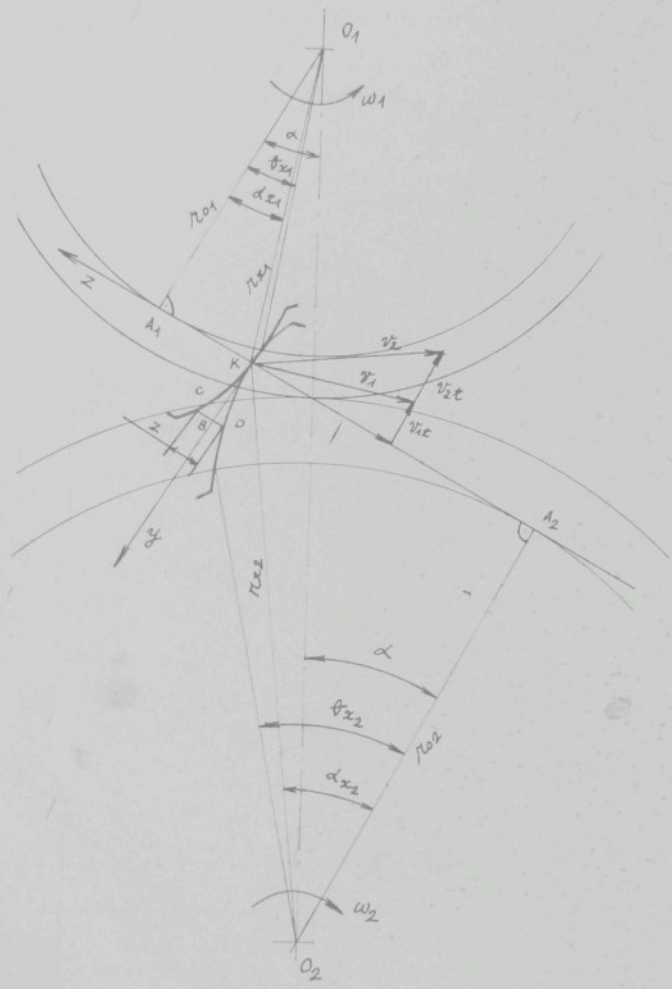
obr. 2.4



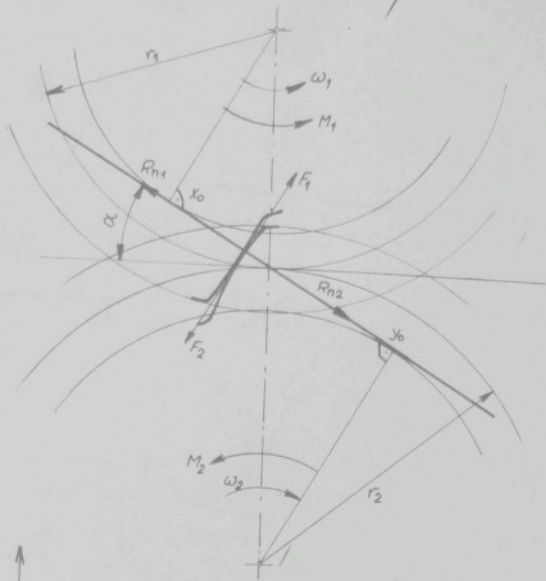
abr. 2.5



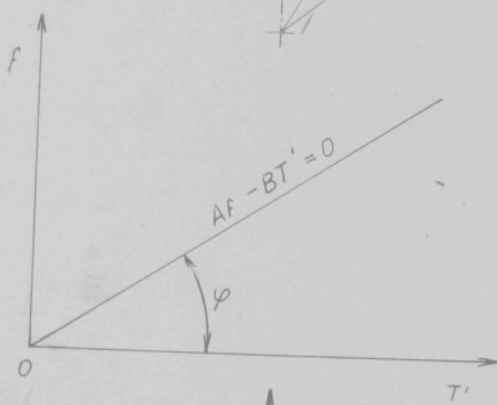
abr. 2.6



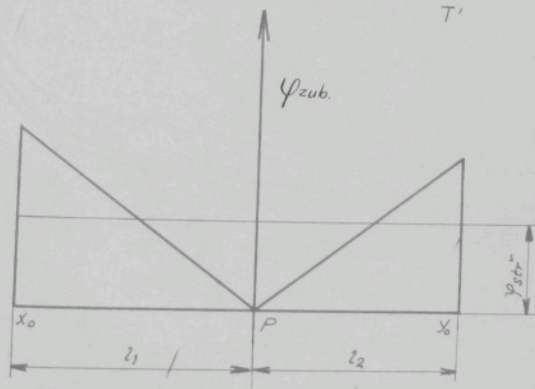
obr. 2.7



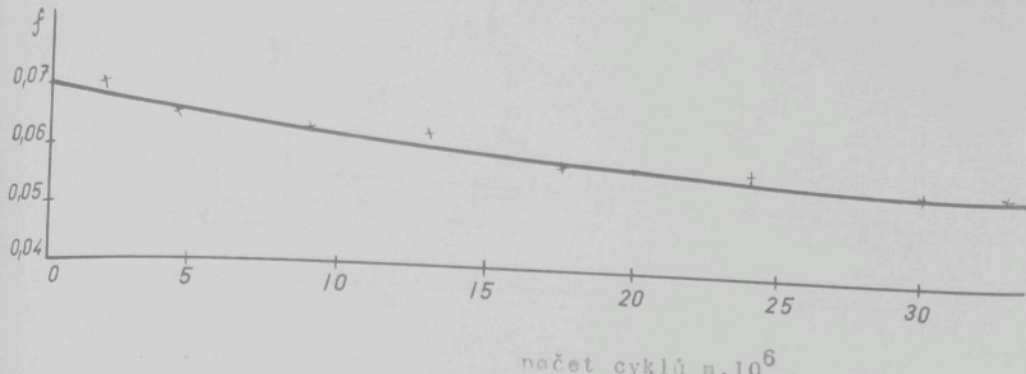
sbr. 2.8



sbr. 2.10



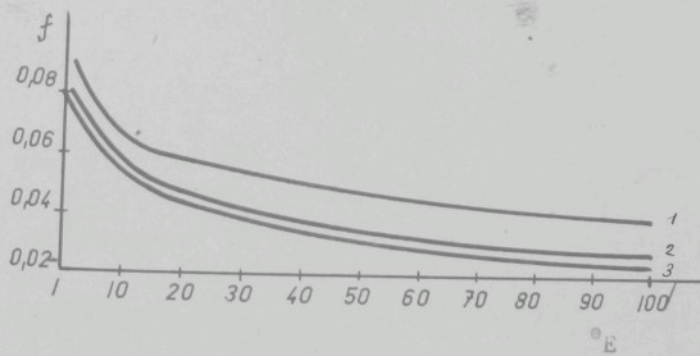
sbr. 2.9



sbr. 2.11 - Změna koeficientu tření na zubech ozubených kolo  
dle pracovních cyklů.

olej strojní T, viskozita  $11^0 E$

měrný tlak  $P_0 = 46 \text{ kp/mm}^2$

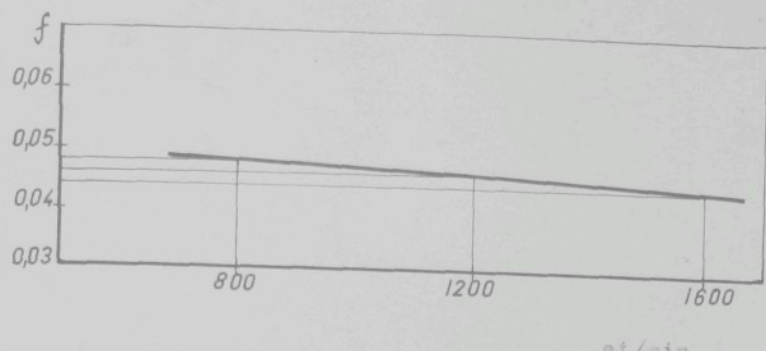


sbr. 2.12 - Závislost hodnoty koeficientu tření na zubech  
na druhu a viskozitě mazacího oleje

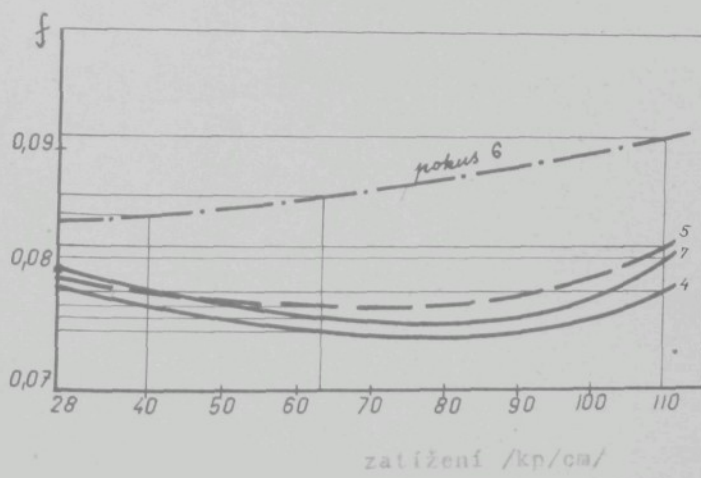
1 - vřetenový olej 3 .

2 - olej pro parní válce 6

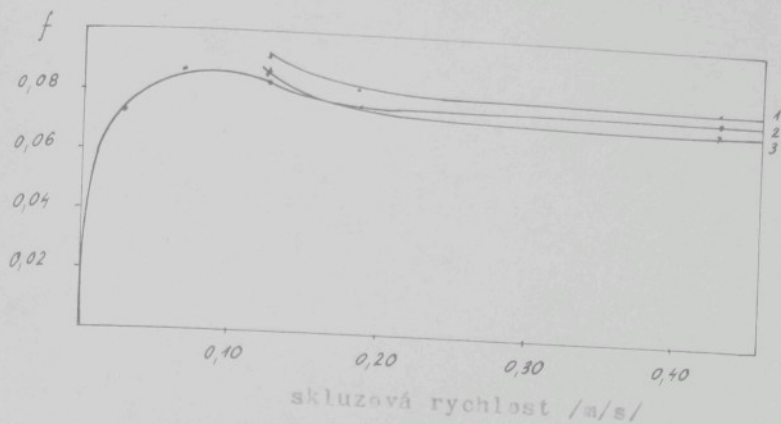
3 - strojní olej T



obr. 2.13 - Vliv počtu záděk na koeficient tření  
olej vřetenový 3, viskosita  $15,4^{\circ}\text{E}$

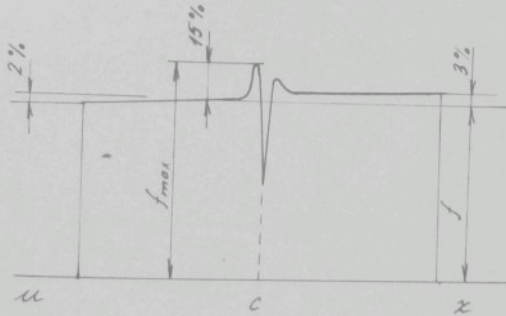


obr. 2.14 - Vliv hodnoty zatížení na koeficient tření

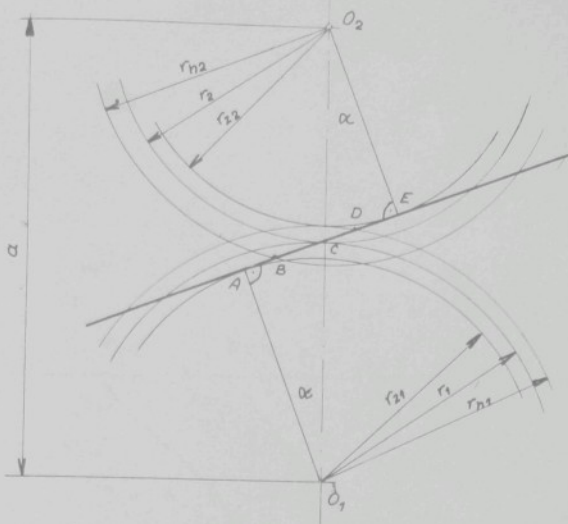


obr. 2.15 - vliv skluzové rychlosti na hodnotu koeficientu tření

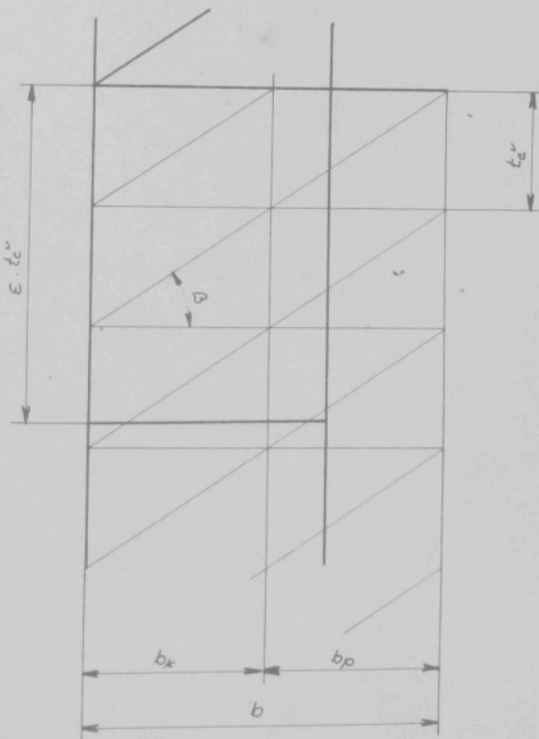
- 1 - zatížení 110 kp/cm
- 2 - zatížení 40 "
- 3 - zatížení 63 "



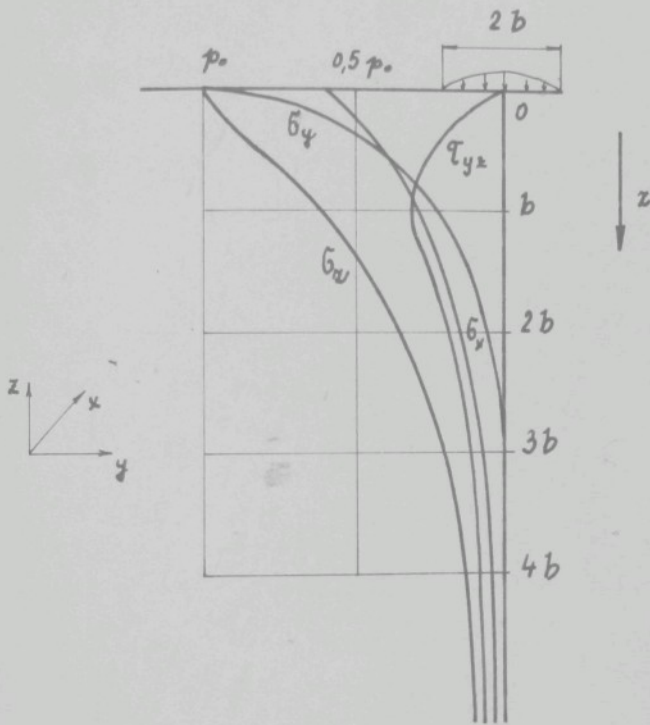
obr. 2.16 - Průběh hodnoty tření na zubu, při záběru



obr. 2.17



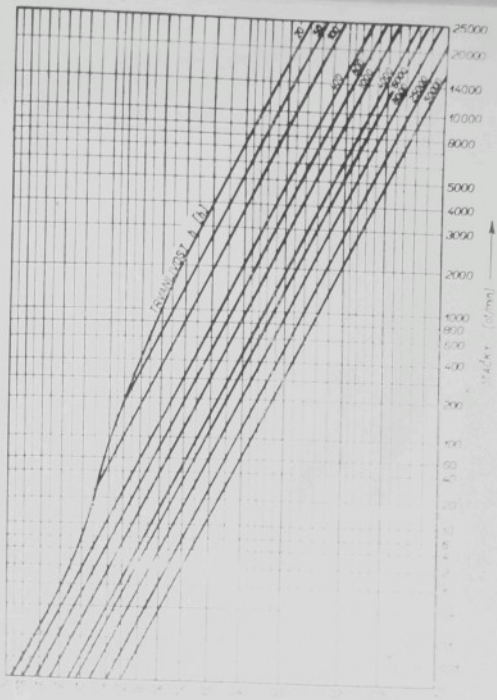
obr. 2.18



obr. 2.19 - Závislost jednotlivých složek napětí na  
hloubce pro body na ose  $z$

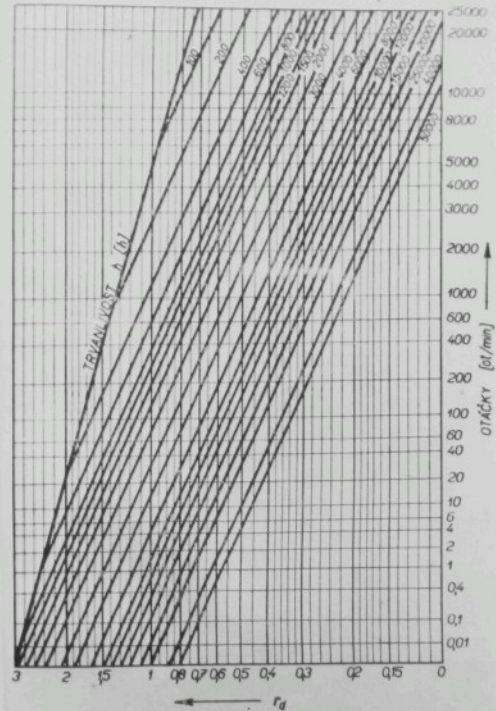
ebr. 2.20

Rychlostní součinitel pro  
pohyb



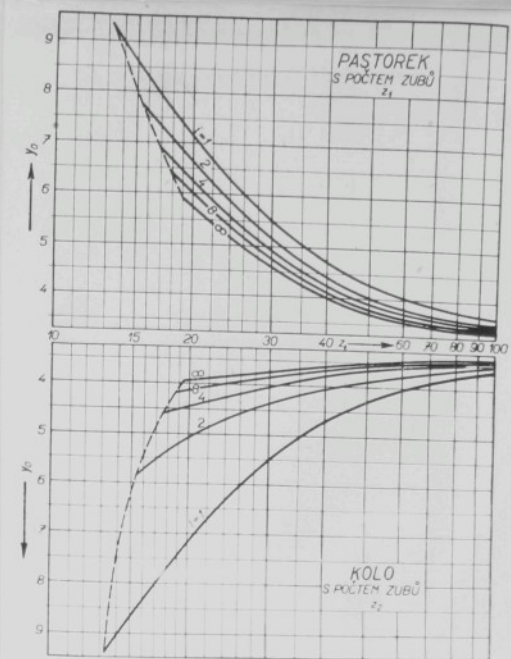
ebr. 2.21

Rychlostní součinitel pro  
stlačení



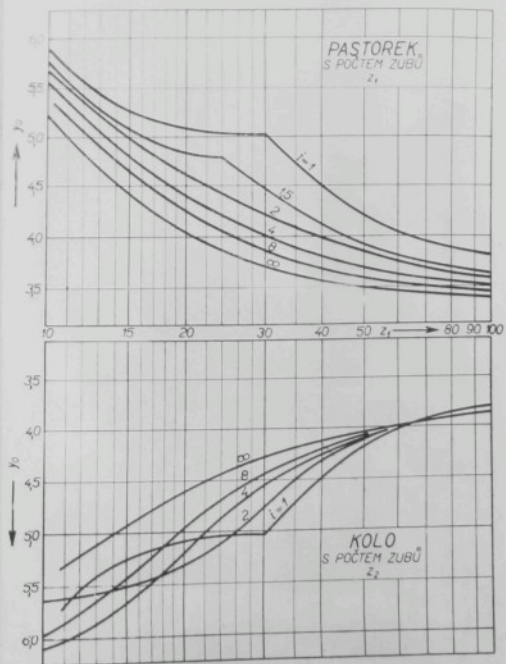
sbr. 2.22

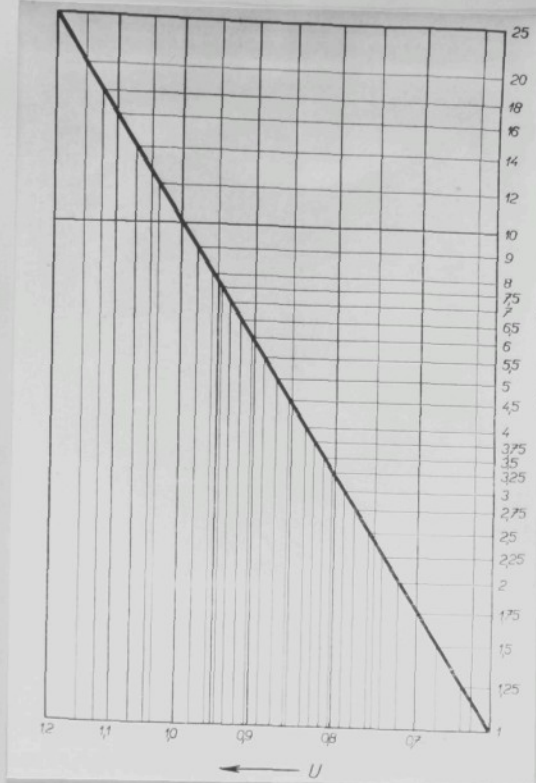
Tvarový součinitel pro  
ehyb nekerigovaných kol



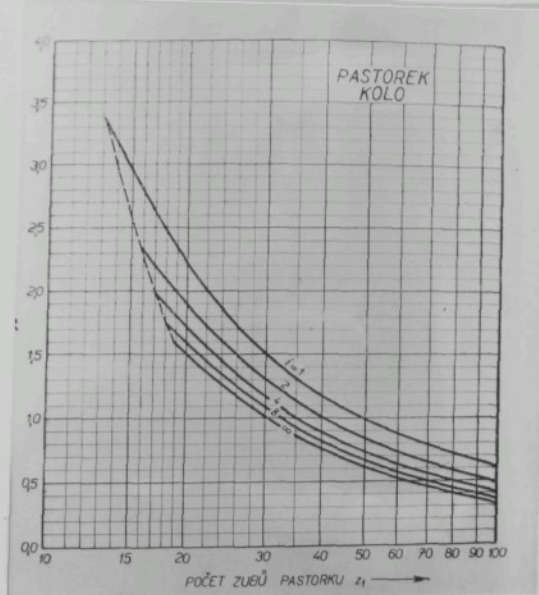
sbr. 2.23

Tvarový součinitel pro  
ehyb kerigovaných kol

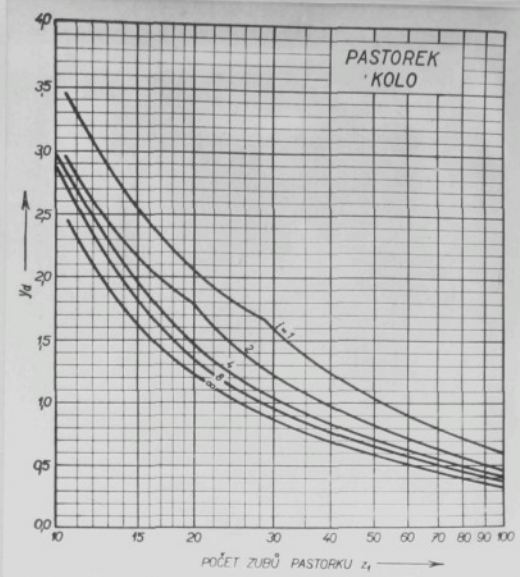




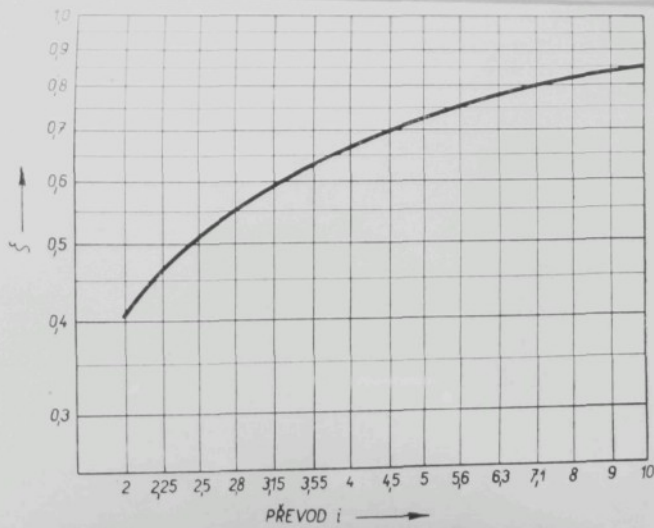
obr. 2.24 - Výpočtový koeficient



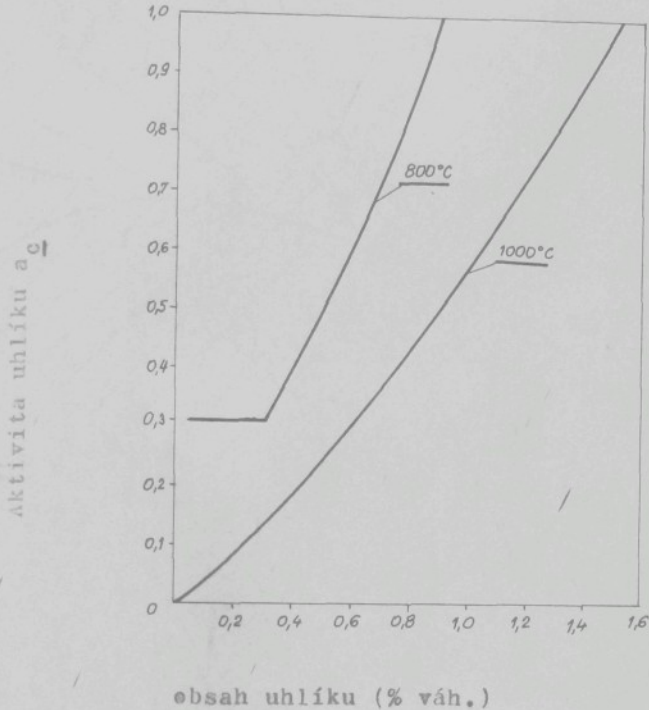
obr. 2.25 - Tvarový činitel pre stlačení (nekterig. ozub.)



obr. 2.26 - Tvarový činitel pro etlačení (kerig. ozubení)



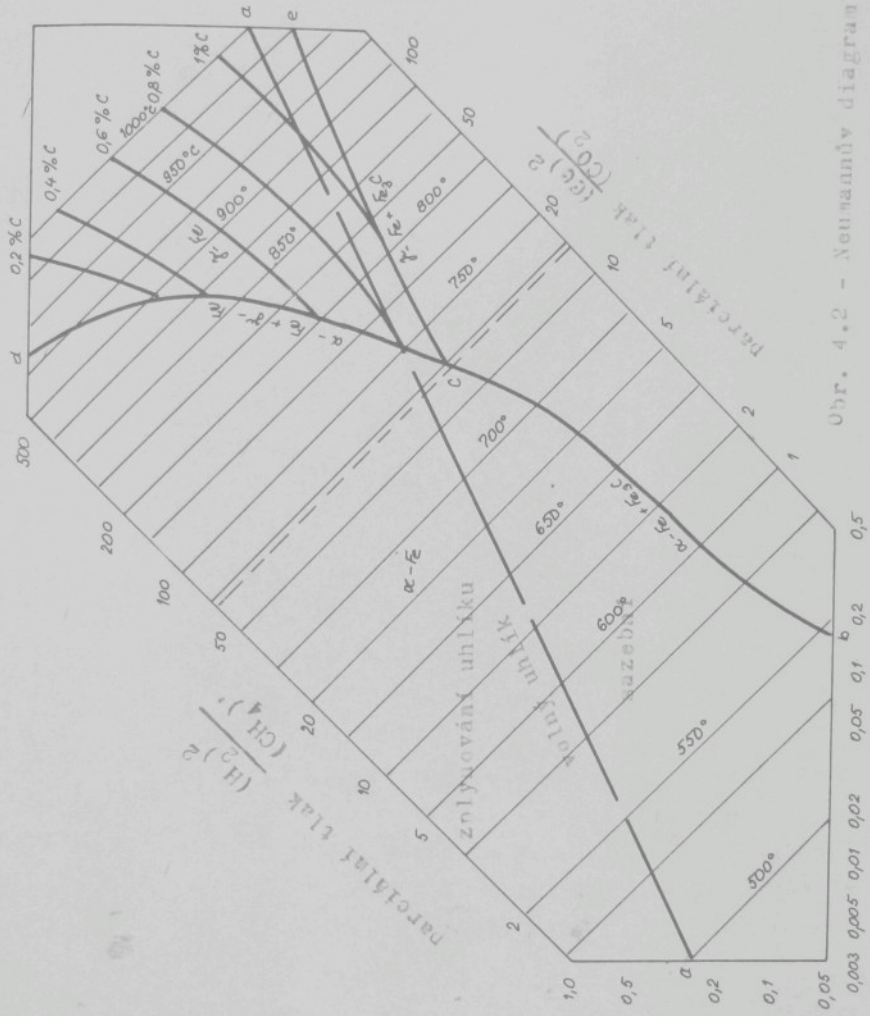
obr. 2.27 - Výnečtový koeficient pro vnitřní ozubení

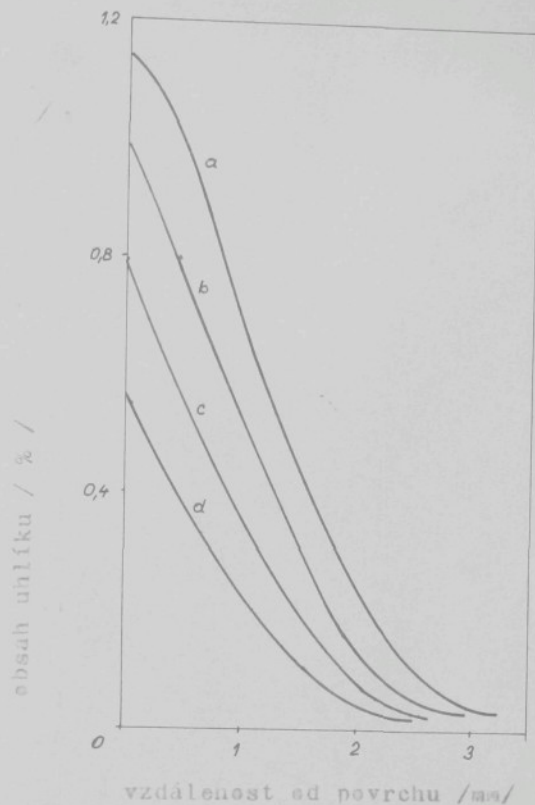


obsah uhlíku (% váh.)

obr. 4.1 - Aktivita uhlíku v austenitu  
při teplotě 800 °C a 1000 °C  
vztažena ke grafitu jako  
standartnímu stavu

Uhr. 4.2 - Neumannův diagram rovnoví  
ných koncérnů v soustavě  
 $\text{Fe}-\text{CO}_2-\text{CH}_4-\text{H}_2$





sbr. 4.3 - Vliv průtekového množství na průběh cementace v suchém kysličníku uhelnatém (tenká cementace 955°C, doba cementace 20 hod., cementovaný materiál technicky čisté železe)

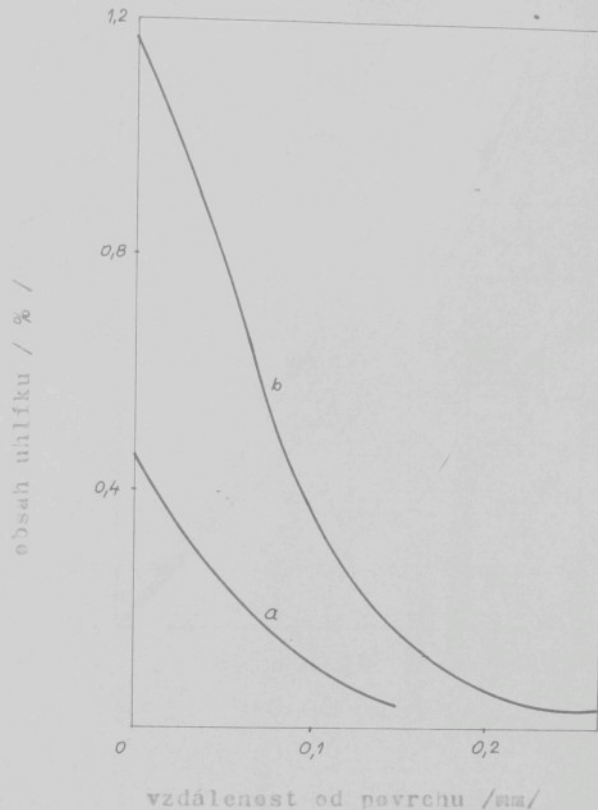
#### Průtekové množství

a - 28,65 l/hod

b - 21,32 l/hod

c - 14,23 l/hod

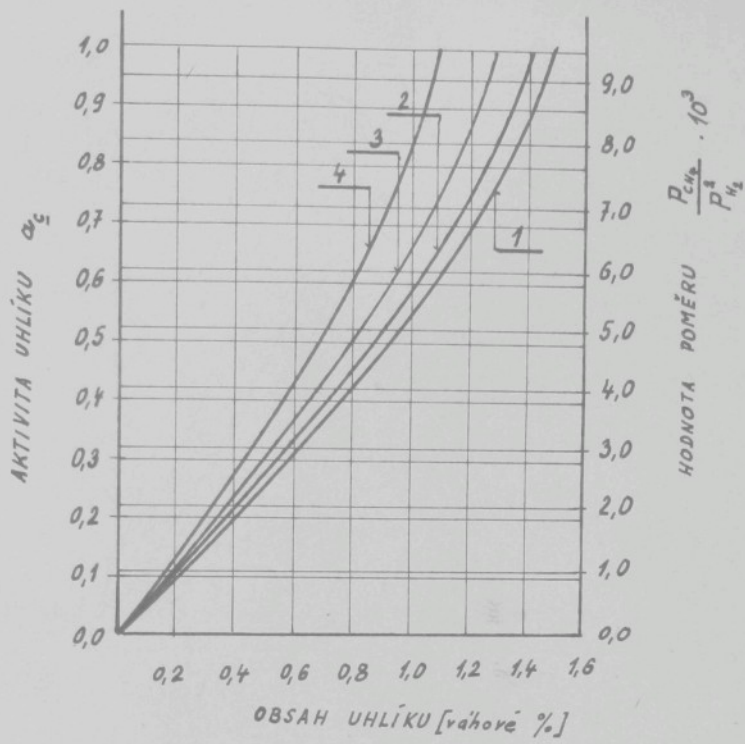
d - 7,06 l/hod



obr. 4.4 - Vliv přimísení par benzenu na průběh cementace v suchém kyslíčníku uhlnatém (teplota cementace  $950^{\circ}\text{C}$ , doba cementace 10 hod, cementovaný materiál technicky čisté želeno)

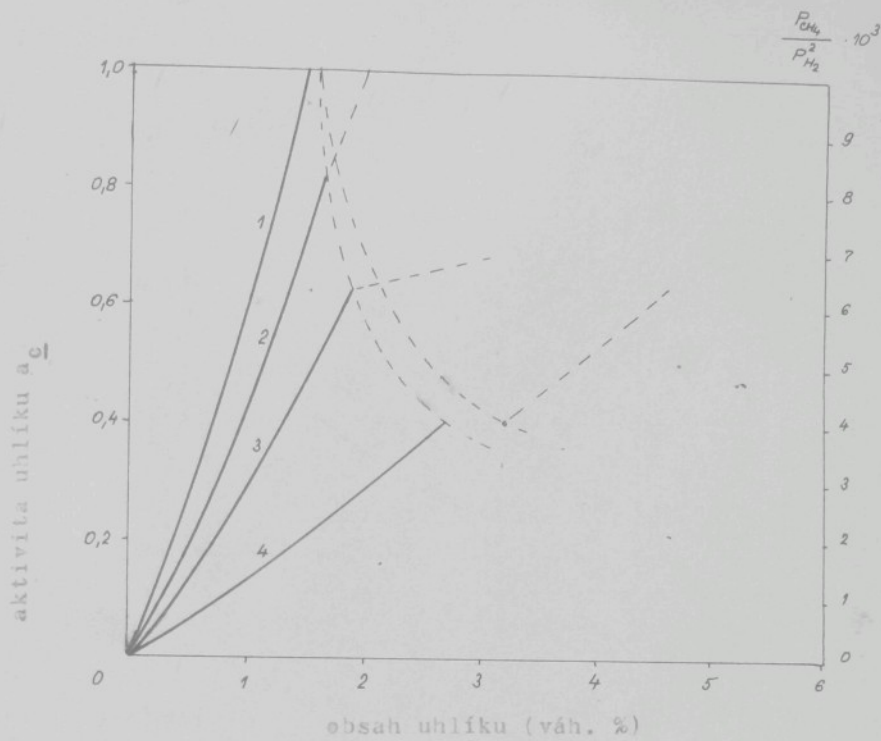
a - 7 l/hod CO

b - 7 l/hod CO + páry benzenu



obr. 4.5 - Vliv niklu na aktivitu uhlíku v austenitu  
při teplotě 1000°C

- 1 - bez Ni
- 2 - 2,1 % Ni
- 3 - 3,92 % Ni
- 4 - 7,46 % Ni



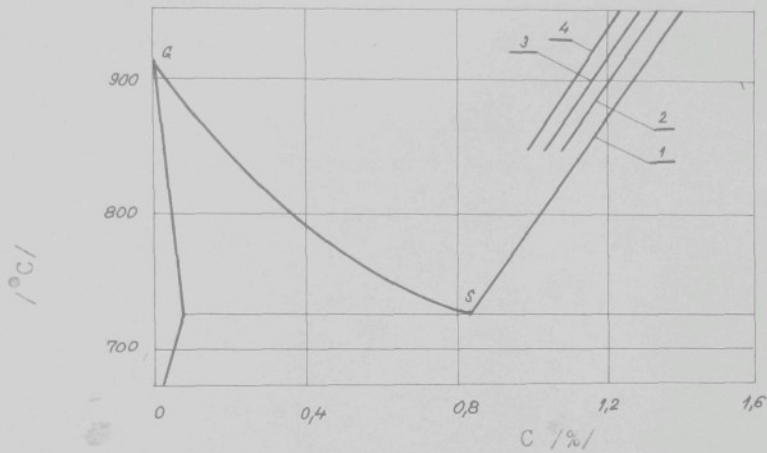
obr. 4,6 - Vliv chromu na aktivitu uhlíku v austenitu  
při teplotě 1000°C

1 - bez chromu

2 - 1,72 % Cr

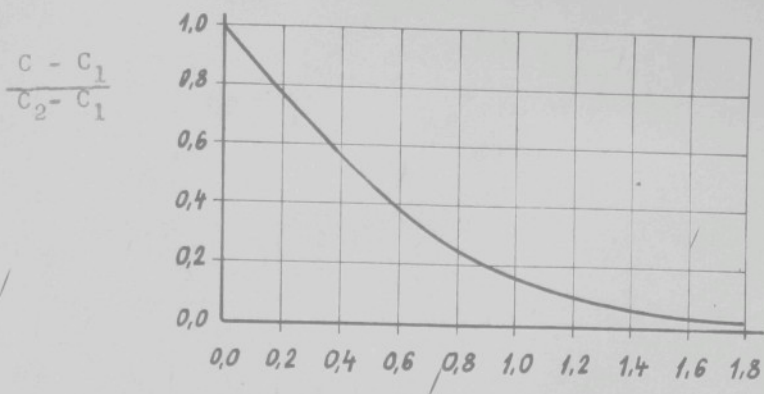
3 - 4,09 % Cr

4 - 9,62 % Cr



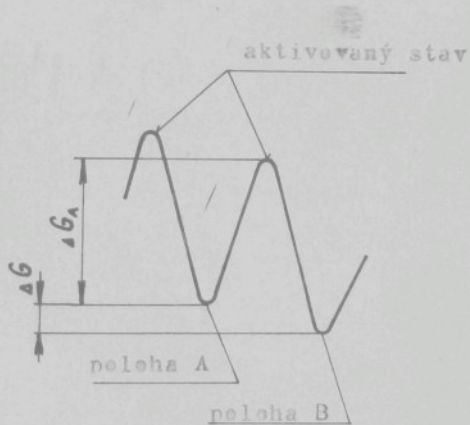
obr. 4.7 - Přibližná vělba čáry SE u ocelí s niklem

- 1 - nelegovaná ocel
- 2 - ocel s 2 % Ni
- 3 - ocel s 3,5 % Ni
- 4 - ocel s 5 % Ni



obr. 4.8 - Závislost  $\frac{C - C_1}{C_2 - C_1}$  na  $\frac{x}{2\sqrt{Dt}}$

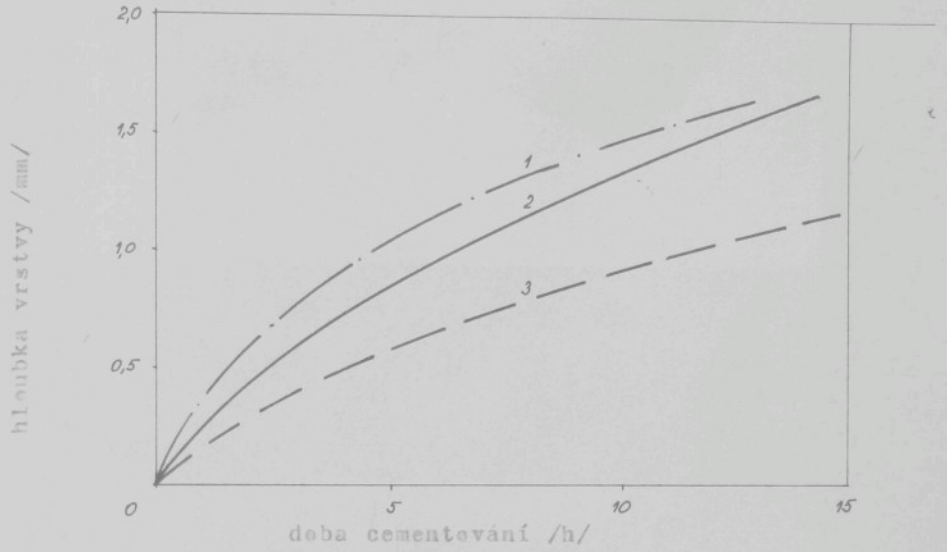
podle Gaussova integrálu chyb



obr. 4.9 - Schéma přechodu difundující částice přes parcíální val

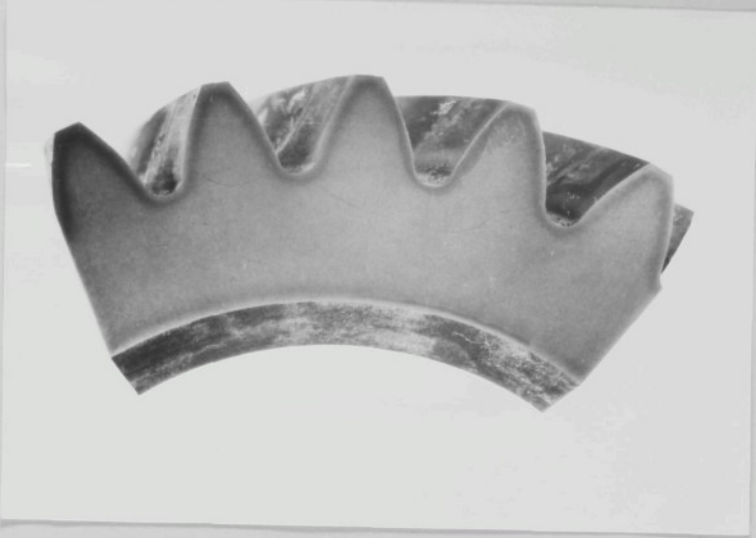
$\Delta G_A$  - volná aktivovační entalpie

$\Delta G$  - volná entalpie přechodu částice  
z jedné stabilní polohy A do  
druhé B



obr. 4.10 - Rychlosť rústu cementované vrstvy v rôznych prostredíach

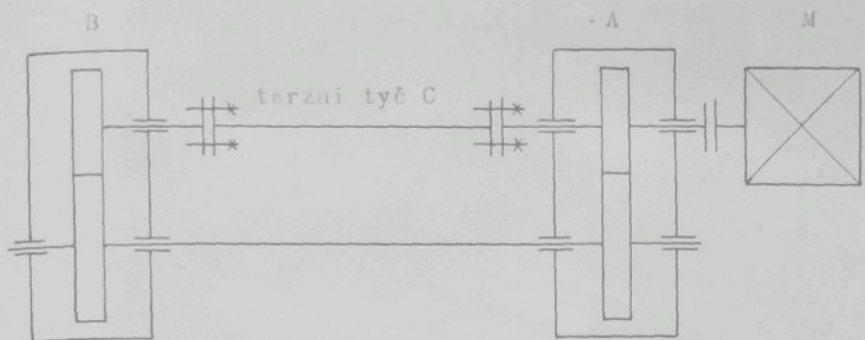
- 1 - cementovanie v lázni
- 2 - cementovanie v plne
- 3 - cementovanie v prášku



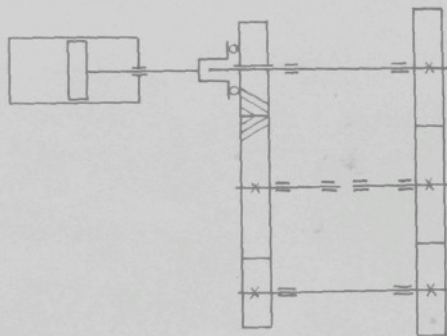
obr. 4.11 - Řez cementovaným ozubeným kolem (nital)  
2x zvětšeno



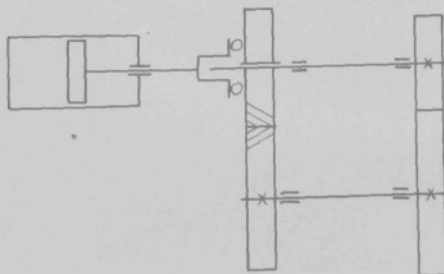
obr. 4.12 - Řez nitridovaným ozubeným kolem (nital)  
2x zvětšeno



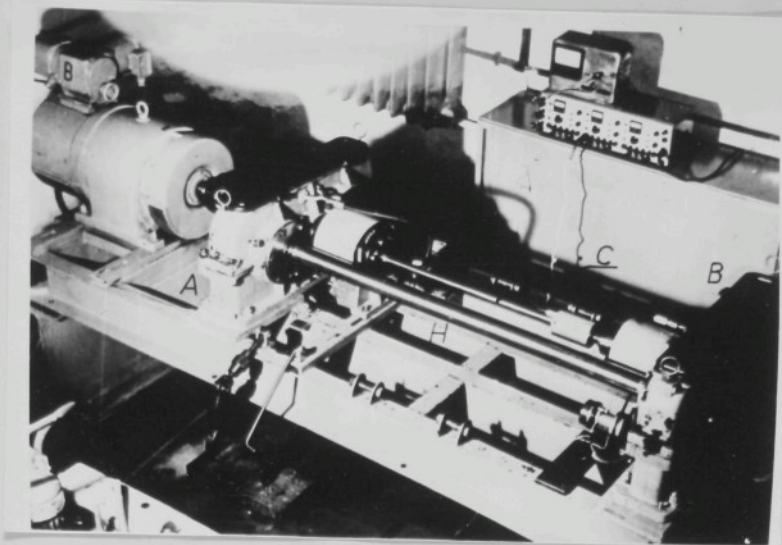
obr. 5.1a - Schéma běhevého stroje pro zkoušky ozubených kol SVÚM



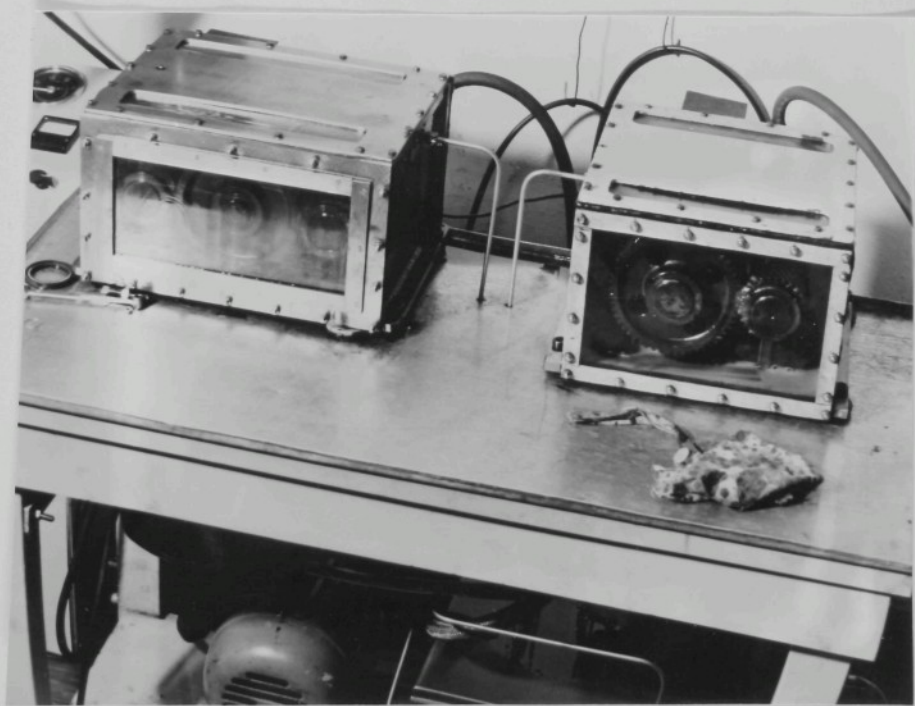
obr. 5.2a - Tester A - schéma uspořádání s vloženým kolem



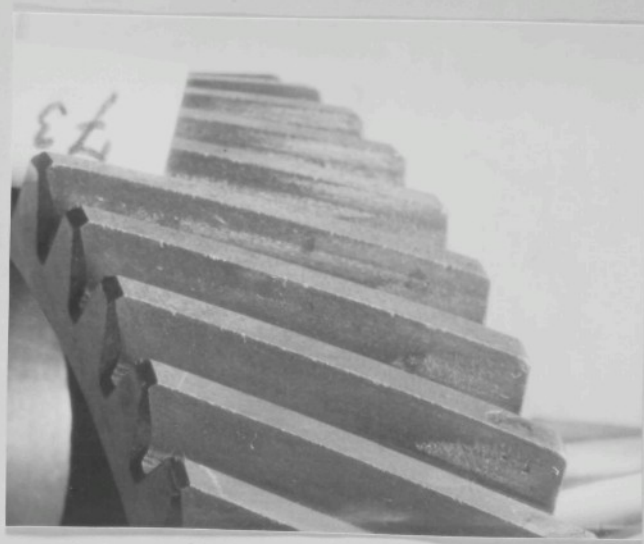
obr. 5.2b - Tester B - Schéma uspořádání dveuležiskového testera



obr. 5.1b - Zkušební zařízení SVÚM



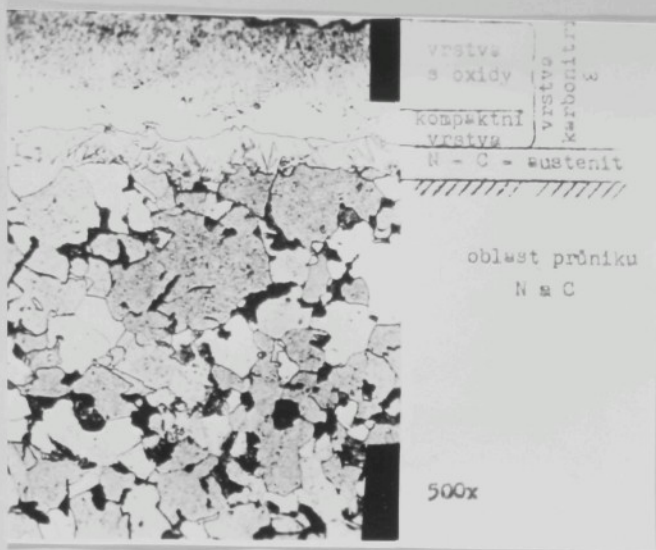
obr. 5.3 -Zkušební stroje KST



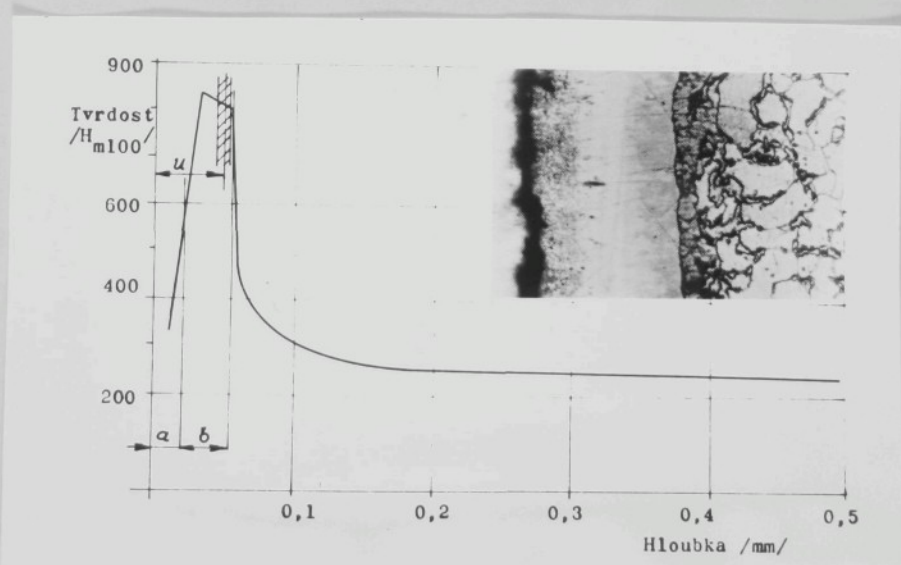
obr. 5.4a - Zkušební kolo KST



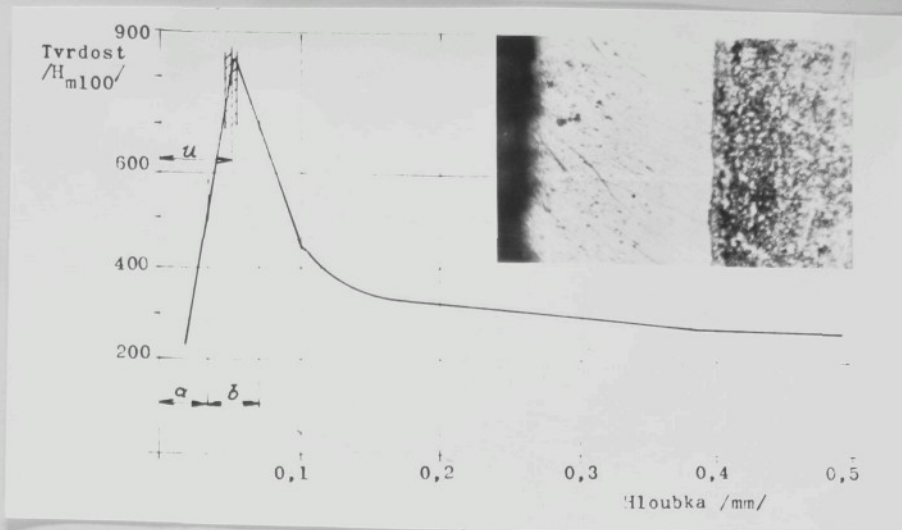
obr. 5.4b - Zkušební pasterek KST



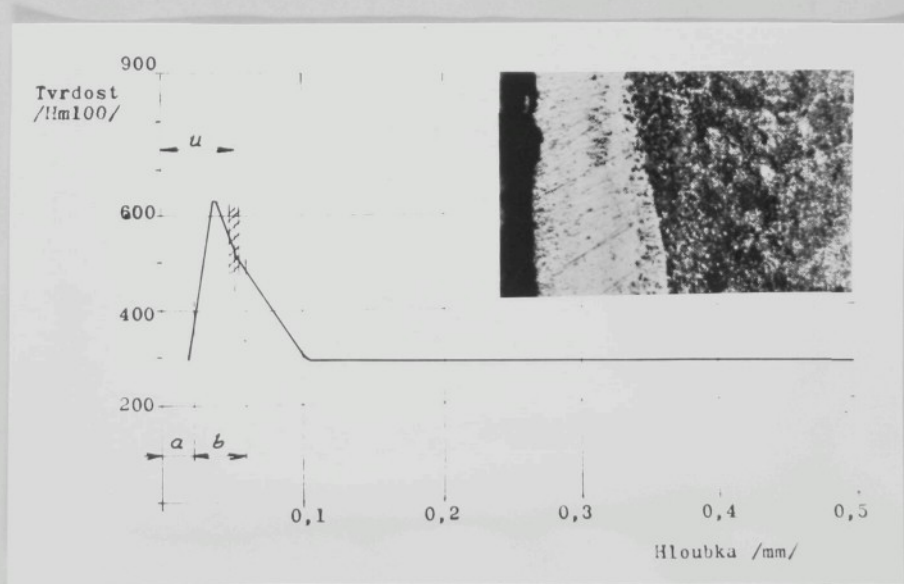
Obr. 5.5 - Charakteristické části karbenitridované vrstvy



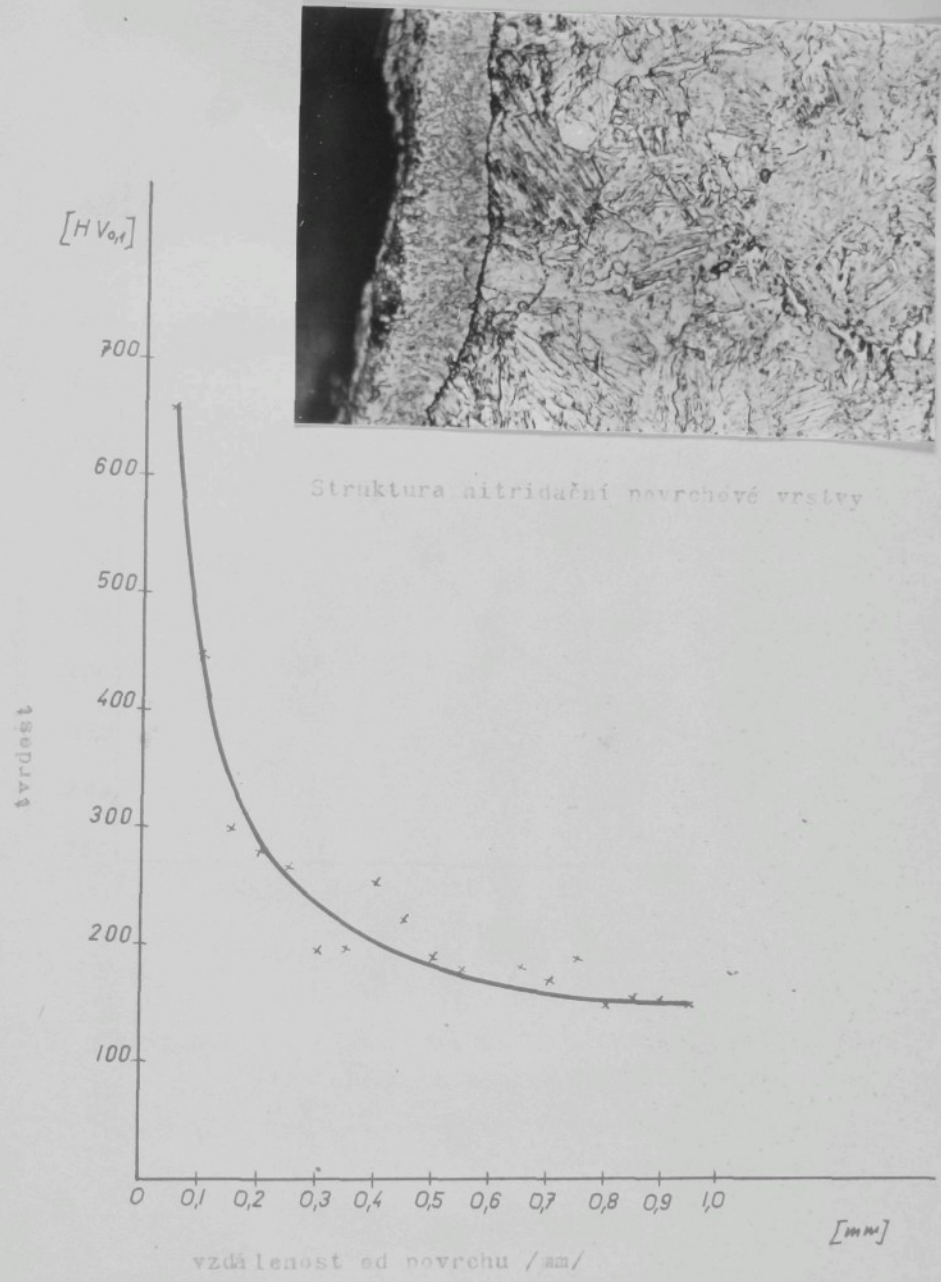
Obr. 5.6a - Struktura a průběh tvrdosti karbenitridační vrstvy u materiálu 12.020.1



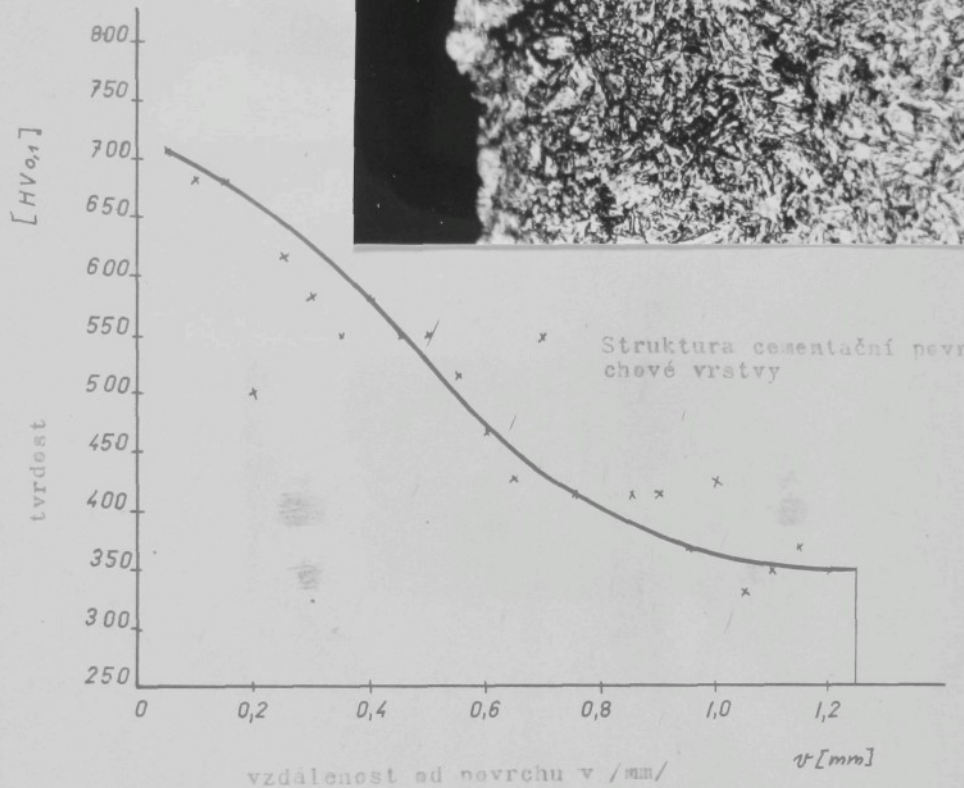
obr. 5.6b - Struktura a průběh tvrdosti karbenitridační vrstvy materiálu 12060.6



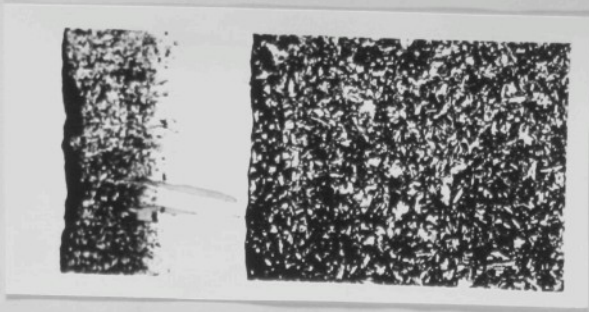
obr. 5.6c - Struktura a průběh tvrdosti karbenitridační vrstvy materiálu 12060.6



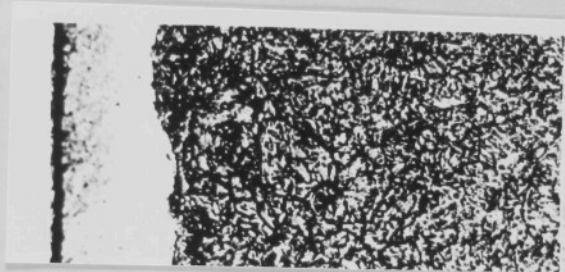
obr. 5.7 - Rozložení tvrdosti v nitridovaných vrstvách. Materiál 12060,6



obr. 5.8 - Rozložení tvrdosti v cementovaných vrstvách  
při kolení do oleje. Materiál 14223



obr. 5.9a - Struktura karbenitridační vrstvy SVÚM. 12020



obr. 5.9b - Struktura karbenitridační vrstvy SVÚM. 14140



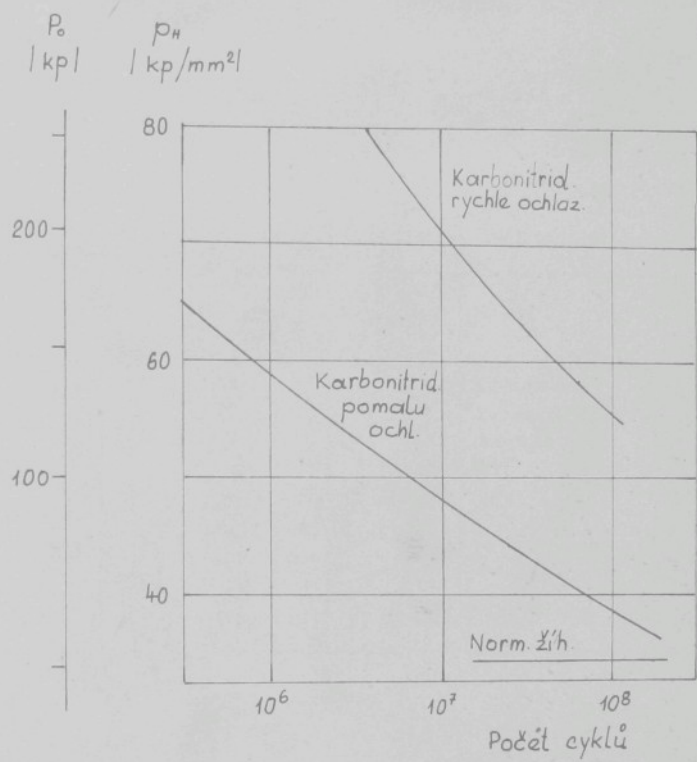
obr. 5.10 - martenitový povrch zuba kola. Materiál 12060,6



obr. 5.11 - Odlepenutá vrstva žuba kola B 85, materiál 12060.6  
karbenitridován. Průběh tvrdosti viz obr. 5.6b

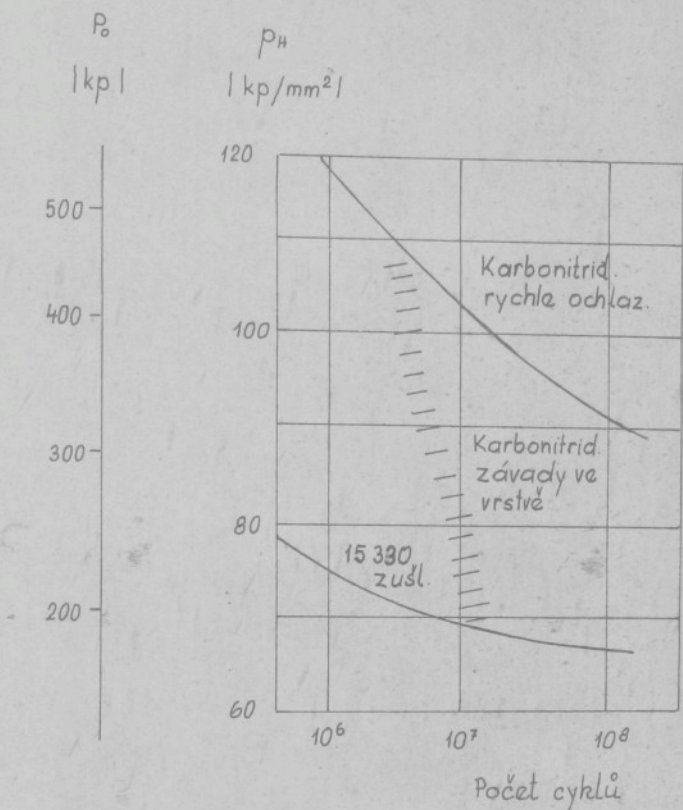


obr. 5.12 - Odlepenutá vrstva zuba □, materiál 12060.6  
Průběh tvrdostiviz obr. 5.6b. Výsledky bělavých  
zkušek /1/

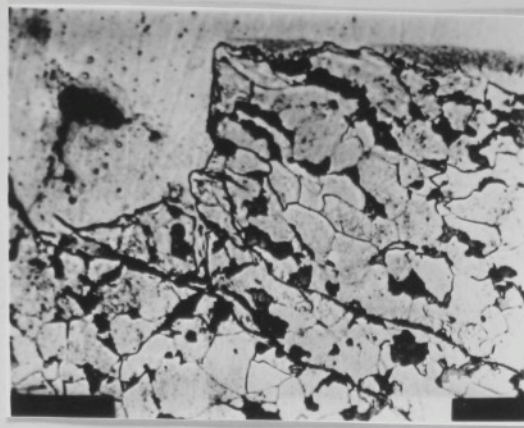


obr. 5.13 - Výsledky běhových zkoušek

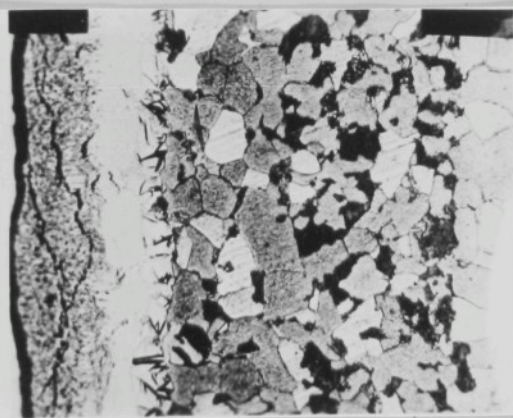
Ozubená kola z oceli 12020 normálně žíhaná  
a karbonitridovaná  $M_1$



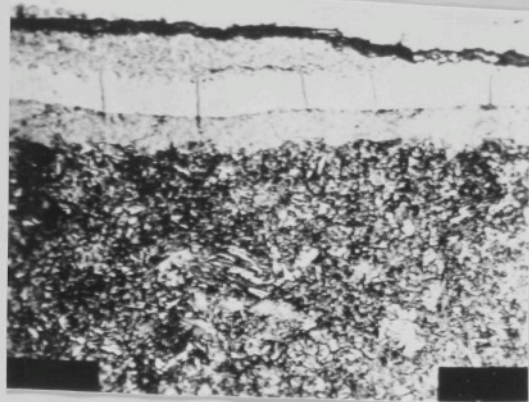
obr. 5.14 - Výsledky běhových zkoušek  
 Ozubená kola z oceli 14140,  
 zušlechtěná a karbonitridovaná 1%.



šbr. 5.15 - Rez vej kontaktního porušení z míst, kde  
došlo k spotřebení karbenitridační vrstvy.  
Materiál 12020 normalizovaný



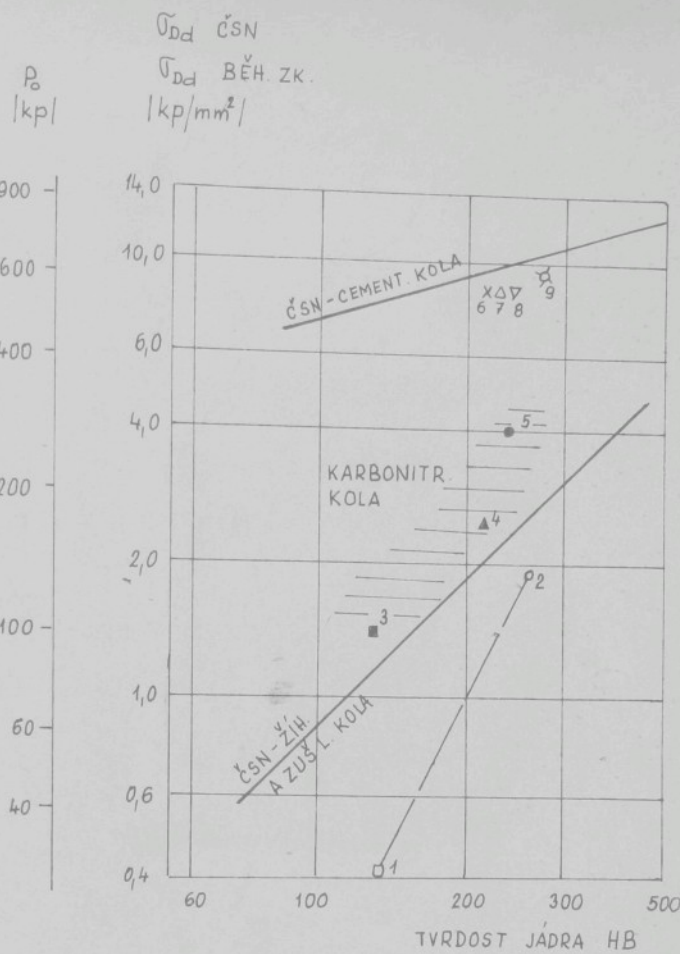
šhr. 5.16 - Peruševání pevchevé vrstvičky s vnitřní  
oxydaci a páry. Materiál 12020 nermalizovaný.  
Karbenitridováne a rychle ochlazene



obr. 5.17a - Peruševání povrchové nekompaktní vrstvičky trhlinkami kelmými k povrchu. Materiál 14140, zušlechtěný, karbenitridován - rychle ochlazováno



obr. 5.17b - Peruševání povrchové nekompaktní vrstvičky trhlinkami kelmými k povrchu. Materiál 14140, zušlechtěný, karbenitridován - pomalu ochlazováno



obr. 5.18 - Porovnání expon. stanovených hodnot tvrzených kol s údaji ČSN 01 4686

- 1 - 12020 - normální žíhání
- 2 - 15330 - zušlechtění
- 3 - 12020 - karbonitridování
- 4 - 14140 - karbonitridování (ČKD)
- 5 - 14140 - karbonitridování (SVÚM)
- 6 - 15330 - nitridování ( $t = 0,45 \text{ mm}$ )
- 7 - 15330 - nitridování ( $t = 0,65 \text{ mm}$ )
- 8 - 15230 - nitridování ( $t = 0,65 \text{ mm}$ )
- 9 - 14220 - cementování

T A B U L K O V Á Č A S T

Tabulka 1.1

Porovnání postupů chemického zpracování  
a povrchové kalení

postup		celkové náklady na vytvoření vrstvy
Cementování	v prášku	120 %
	v plynu - přetržitý proces	
	- šachtevá pec	100 %
	v plynu - nepřetržitý proces	
	- průběžná pec	95 %
Nitro- cementování	nitrocementování v plynu	
	- šachtevá pec	90 %
	kyanování v solné lázni (vrstvy do tloušťky 0,3 mm)	85 %
Nitridování	v plynu	140 %
Povrchové kalení plamenem	kusevá a malosériová výroba	75 %
	velkoesériová výroba	75 %
Indukční kalení	kusevá a malosériová výroba	80 %
	velkoesériová výroba	65 %

Tabulka 2.2

Materiál	Hodnota pro ozubená kola											
	bp/dp = 1				bp/dp = 1,5				bp/dp = 2			
	přímá číkmá $\beta < 15^\circ$	číkmá $\beta_r = 30^\circ$	šípová $\beta_r = 30^\circ$	přímá číkmá $\beta < 15^\circ$	číkmá $\beta_r = 30^\circ$	šípová $\beta_r = 30^\circ$	přímá číkmá $\beta < 15^\circ$	číkmá $\beta_r = 30^\circ$	šípová $\beta_r = 30^\circ$	přímá číkmá $\beta < 15^\circ$	číkmá $\beta_r = 30^\circ$	šípová $\beta_r = 30^\circ$
Podle výrazu (2-41)												
ocel	1,10	1,32	1,26	1,23	1,48	1,32	1,40	1,68	1,44			
litina	1,10	1,32	-	1,23	1,48	-	1,40	1,68	-			
Podle skut.hodnoty		/										
ocel	1,19	1,43	1,37	1,32	1,59	1,45	1,49	1,79	1,55			
litina	1,10	1,43	-	1,32	1,59	-	1,49	1,79	-			
Podle výrazu 2.45 při $b/l = b/b+dp$												
ocel	1,20	1,35	1,08	1,52	1,73	1,21	2,09	2,42	1,51			
litina	1,16	1,27	-	1,41	1,57	-	1,85	2,10	-			
Podle výrazu 2.45 při $b/l = b/b+dp$												
ocel, HB > 350	1,16	1,28	1,07	1,42	1,58	1,17	1,87	2,13	1,41			
ocel, HB ≤ 350	1,12	1,21	1,05	1,31	1,44	1,13	1,65	1,85	1,31			
litina	1,08	1,13	-	1,21	1,29	-	1,43	1,55	-			
Podle výrazu 2.45 při $b/l = b/b+2dp$				/								
ocel	1,22	1,38	1,09	1,60	1,84	1,25	2,28	2,66	1,58			
litina	1,15	1,26	-	1,47	1,66	-	1,99	2,29	-			
Podle výrazu 2.45 při $b/l = b/b+2dp$												
ocel, HB > 350	1,18	1,30	1,07	1,48	1,67	1,20	2,02	2,33	1,46			
ocel, HB ≤ 350	1,13	1,23	1,05	1,36	1,50	1,15	1,77	2,00	1,28			
litina	1,08	1,13	-	1,24	1,33	-	1,50	1,65	-			

Prof.I.K.Zablonskij: Raspredelenje nagruzki po kontaktnom linijal zacepljenija zubačich peredač (Vestnik mašinostrojenija)

Tabulka 2.3a

Koefficient dynamického zatížení pře přímá kola

stupeň přesnosti oz.kel	tvrdost prevez. povrchu zubů HB	obvodená rychlosť v /m/s/		
		1 - 3	3 - 8	8 - 12
		koefficient $K_d$		
6	$\leq 350$	1,00	1,20	1,30
	$> 350$	1,00	1,20	1,30
7	$\leq 350$	1,20	1,40	1,50
	$> 350$	1,20	1,30	1,40
8	$\leq 350$	1,30	1,55	-
	$> 350$	1,30	1,40	-

Tabulka 2.3b

Koefficient dynamického zatížení pře kola se šikmými zuby

stupeň přesnosti oz.kel	tvrdost prevez. povrchu zubů HB	obvodená rychlosť v /m/s/				
		2 - 3	3 - 8	8 - 12	12-18	18-25
		koefficient $K_d$				
6	$\leq 350$	1,00	1,00	1,10	1,20	1,30
	$> 350$	1,00	1,00	1,00	1,10	1,20
7	$\leq 350$	1,00	1,00	1,20	1,30	1,40
	$> 350$	1,00	1,00	1,10	1,20	1,30
8	$\leq 350$	1,10	1,30	1,40	7	-
	$> 350$	1,10	1,20	1,30	-	-

Tabulka 2.4

Základní dovolené napětí pro ohýb  $G_{dev.oh}$  a pro otlačení  $G_{dor.ot}$ 

materiál	označení ČSN	stav	pevnost v tahu kp/mm <sup>2</sup> (4)	tvrdost n. Briell HB (1)	$G_{do}$ kp/mm <sup>2</sup>	$G_{da}$ kp/mm <sup>2</sup>
šedá litina	422421		22	185	4,60	1,00
	422424		26	210	5,30	1,15
Bronz	CuSn 6		25	130	6,00	1,20
	CuSn12		20	70	5,00	0,60
oceli na edlítky	uhlík.	422631 žíhaný	38	107	9,50	1,00
		422651 žíhaný	52	146	12,50	1,40
		422661 žíhaný	60	169	14,50	1,65
		nevр. kaleno	60	169	9,00	2,80
	slitin.	422720 žíhané	65	183	16,90	1,80
		zušlecht.	75	223	18,00	2,20
		422721 žíhané	65	183	16,00	1,80
		zušlecht.	80	239	19,00	2,30
	stříjní oceli	422750 žíhané	60	169	14,50	1,65
		zušlecht.	80	239	19,00	2,30
	/	11421 žíhané	42	118	10,00	1,10
		11426 cem. kal.	42	118	16,00	7,40
		11500 žíhané	50	141	12,00	1,32
	11600	žíhané	60	169	14,50	1,65
		nev. kal.	60	169	9,00	2,80
	11700	žíhané	70	197	17,00	2,00
		nevр. kal.	70	197	10,50	3,40

ušlechtilé konstrukční oceli	uhlíkové	k cemen- tevání	12010	cem. kal.	50	141	19,00	8,00
			12020	cem. kal.	55	155	20,50	8,10
			12040	žíháno	58	163	14,00	1,60
				zušlechť.	70	208	17,00	2,00
		k zušlechťování	12050	žíháno	66	185	15,00	1,80
				nevrch.kal.	66	185	9,50	3,10
			13141	zušlechť.	65	192	16,00	1,90
			13240	zušlechť.	80	239	19,00	2,30
		slitinové	15231	zušlechť.	90	269	21,00	2,60
			15241	zušlechť.	95	285	22,50	2,80
			16430	zušlechť.	80	239	19,00	2,30
			16440	zušlechť.	90	269	21,00	2,60
		k zušle- chťev. i cemen- tevání	16420	zušlechť.	80	239	19,00	2,30
				cem. kal.	95	285	35,00	10,10
			16520	zušlechť.	90	269	21,00	2,60
				cem. kal.	120	359	39,00	11,00
		k cemen- tevání	14120	cem. kal.	65	192	24,50	8,80
			14220	cem. kal.	80	239	30,00	9,50
			16220	cem. kal.	95	285	35,00	10,00

1) - uvedené hodnoty platí pro jádro záhu

2) - uvedené hodnoty platí pro průřezy zkoušek menší než

125 mm

## Tabulka 4.1

Rovnovážné konstanty reakcí  $2\text{CO} \rightleftharpoons \text{C} + \text{CO}_2$ ;  $\text{CH}_4 \rightleftharpoons \text{C} + 2\text{H}_2$  a reakce vodního plynu



teplota $^{\circ}\text{C}$	$K_I = \frac{P_{\text{CO}_2}}{P_{\text{CO}}}$	$K_{II} = \frac{P_{\text{H}_2}^2}{P_{\text{CH}_4}}$	$K_{VI} = \frac{P_{\text{CO}_2} \cdot P_{\text{H}_2}}{P_{\text{CO}} \cdot P_{\text{H}_2\text{O}}}$
427	$3,7453 \cdot 10^{-3}$	$1,1148 \cdot 10^{-1}$	9,02
482	$4,3103 \cdot 10^{-2}$	$3,2573 \cdot 10^{-1}$	5,63
538	$6,4516 \cdot 10^{-1}$	$8,4746 \cdot 10^{-1}$	3,75
593	$1,2771 \cdot 10^{-1}$	$1,9380$	2,66
649	3,0030	4,0816	1,97
704	$8,4745 \cdot 10^{-1}$	7,9365	1,51
760	$2,7322 \cdot 10^{-1}$	$1,4327 \cdot 10^{-1}$	1,20
816	$9,9010 \cdot 10^{-2}$	$2,4630 \cdot 10^{-1}$	$9,80 \cdot 10^{-1}$
871	$4,0161 \cdot 10^{-2}$	$3,9841 \cdot 10^{-1}$	$8,20 \cdot 10^{-1}$
927	$1,7482 \cdot 10^{-2}$	$6,2112 \cdot 10^{-1}$	$6,97 \cdot 10^{-1}$
982	$8,3333 \cdot 10^{-3}$	$9,3458 \cdot 10^{-1}$	$6,04 \cdot 10^{-1}$
1038	$4,2017 \cdot 10^{-3}$	$1,3513 \cdot 10^2$	$5,30 \cdot 10^{-1}$
1093	$2,2727 \cdot 10^{-3}$	$1,8975 \cdot 10^2$	$4,72 \cdot 10^{-1}$
1149	$1,2771 \cdot 10^{-3}$	$2,6110 \cdot 10^2$	$4,23 \cdot 10^{-1}$
1204	$7,5757 \cdot 10^{-4}$	$3,4965 \cdot 10^2$	$3,84 \cdot 10^{-1}$

Tabulka 4.2

Obsahy a aktivity uhlíku v austenitu v rovnováze s cementitem

Teplota °C		723	760	818	871	927	982	1038	1093
rovnováha s grafitem	% C	0,650	0,754	0,917	1,085	1,260	1,439	1,628	1,821
	A <sub>c</sub>	1	1	1	1	1	1	1	1
rovnováha s cem.	% C	0,800	0,894	1,039	1,186	1,342	1,502	1,677	1,865
	A <sub>c</sub>	1,29	1,24	1,18	1,13	1,09	1,06	1,05	1,04

Tabulka 4.3

Vliv manganu na A<sub>c</sub> v austenitu při 1000 °C

Obsah manganu %	Aktivity uhlíku A <sub>c</sub>					
	0,2 % C	0,4 % C	0,6 % C	0,8% C	1,0 % C	1,2 % C
0	0,097	0,195	0,301	0,424	0,563	0,720
2	0,085	0,175	0,277	0,391	0,521	0,665
4	0,078	0,161	0,253	0,358	0,479	0,616
6	0,071	0,148	0,233	0,328	0,441	0,560
8	0,065	0,137	0,214	0,303	0,405	0,526
10	0,060	0,127	0,198	0,280	0,373	0,484
12	0,055	0,117	0,183	0,258	0,347	0,445
14	0,050	0,107	0,167	0,237	0,318	0,408

Tabulka 4.4

Vliv křemíku na  $A_c$  v austenitu při  $1000^{\circ}\text{C}$ 

Obsah křemíku %	Aktivity uhliku $A_c$				
	0,2 % C	0,4 % C	0,6 % C	0,8 % C	1,0 % C
0	0,097	0,195	0,301	0,424	0,563
1	0,107	0,226	0,358	0,567	0,674
2	0,127	0,267	0,427	0,607	0,610
3	0,157	0,334	0,533	0,762	
4	0,197	0,415	0,662	0,945	

Tabulka 5.1

převodový neměr i	pasterek nebo kolo	rozměry ozubení					šířka ozub.	seučin. záběru	
		modul /mm/	poč.zubů z	rezteč. #	úhel záběru	$D_r$ [mm]	$\alpha$	$b$ [mm]	$E$
1:1,88	pasterek	4	25		100			15	1,68
				47	188		20°	15	

Tabulka 5.2a

převad. neměr i	paster. nebo vlež. kolo	rozměry ozubení							seučin. záběru
		modul /mm/	počet zubů	rezteč. #	úhel záb.	šířka ozub.	úhel sklenu	$\beta$	
27:25	paster.	2,5	27	77,942	23°	30			1,46
	klož.		55	158,771	17° 40"	32		30°	

Tabulka 5.2b

převodový neměr i	pasterek nebo kolo	rozměry ozubení					šířka ozub.	seučin. záběru
		modul /mm/	poč. zubů z	rezteč. #	úhel záběru	$D_r$ [mm]	$\alpha$	
32:63	pasterek	2,5	32		80			15
				63	157,5		20°	

Tabulka 5.3

Chemické složení materiálů

ocel ČSN	v / % /										pozn.
	C	Mn	Si	Cr	P	S	Mo	V	Al	Ti	
120 20	0,18	0,67	0,31	-	0,03	0,018					
14140	0,4 0,37	0,64 0,68	0,20 0,25	0,99 1,11	0,013 0,012	0,014 0,008					pasterka
12060	0,60	0,80	0,37								
15330	0,3	0,63	0,24	2,57	0,022	0,013	0,29	0,23			v
15230	0,29	0,43	0,33	2,48	0,015	0,020					v 0,16
14 220	0,16	1,43	0,3	1,02	0,024	0,011					v 0,05
14340	0,34	0,739	0,36	1,6	0,018	0,009					Al 1,75
14223	0,19	0,79	0,37	1,0							0,1

Tabulka 5.4a

Mechanické vlastnosti materiálů ozubených kol  
(nitridování, cementování)

ozn. skup. kol	Materiál ČSN a zprac.	jádra			něvrch.vrstvy		poznámka
		$G_{kt}$ [kp/mm <sup>2</sup> ]	$G_{pt}$ [kp/mm <sup>2</sup> ]	R [kp/cm <sup>2</sup> ]	Houšťka p.r. [mm]	[HV 10] tvrdost	
N <sub>1</sub>	15330 zušlecht. nitrid.	69	78,9	11,7 13,3 14,4	0,65	750	nitrid. 84 h při teplotě 500 - 510°C
N <sub>2</sub>	15330 zušlecht. nitrid.	67,1	83,9	12,9 15,4 11,7	0,45	750	nitrid. 42 h při teplotě 500 - 510°C
N <sub>3</sub>	15330 zušlechtěn	80	89	11,9 11,1 12,0	-	270 (HB)	-
N <sub>4</sub>	15230 zušlecht. nitrid.	72,3	82	6,8 5,1 7,3	0,65	750	nitrid. 83 h při teplotě 500 - 510°C
N <sub>5</sub>	14340 nitrid.	58,9	79,3	9,5 9,4 9,3	0,65	750	nitrid. 65 h při teplotě 490 - 500°C
N <sub>6</sub>	14223 zušlecht. nitrid.	68	83	8,4 8,8 8,3	0,30	700	nitrid. 33 h při teplotě 500 - 510°C
N <sub>7</sub>	120.20.1 nitrid.	45	75	--	0,45	660 (HV0,1)	-
C <sub>1</sub>	14220 cementován	79	97,3	5,7 5,1 5,1	0,90	750	-
C <sub>2</sub>	14223 cement.	70	100	-	0,90	710 (HV0,1)	-

## Tabulka 5.4.b

Mechanické vlastnosti jádra pekusných kůl  
(Karbemitridování)

Označení skupiny kůl	Materiál dle ČSN a zpracování	$\sigma_{kt}$ /kp/mm <sup>2</sup> /	$\sigma_{pe}$ /kp/mm <sup>2</sup> /	R /kp/cm <sup>2</sup> /
K <sub>1</sub>	12020 norm. žíhání	29,6	47,2	8,6 7,8 8,3
K <sub>2</sub>	12020 norm.ž.+krbę- nitrid.pem.chl.	28,6	45,8	8,6 12,0 12,2
K <sub>3</sub>	12020 norm.6.+karb. nitr.rych.och.	31,2	47,3	7,1 7,7 7,7
K <sub>4</sub>	14140 zušl. + karbemitr. pomalu ochl.	59,3	73,5	8,9 9,1 9,1
K <sub>5</sub>	14140 zušl.+ karbenitr. rychle ochl.	60,4	74,6	8,9 10,0 10,0
K <sub>6</sub>	12020 norm.ž.+karbnitr. pomalu ochl.	45,-	75	-
K <sub>7</sub>	12060 zušl. + karbenitr. pomalu ochl.	50	82	-
K <sub>8</sub>	12060 zušl. + karben. pomalu ochl.	54	90	-

Tabulka 5.5

Přehled výsledků běhových zkoušek ozubených kol

označ. skup. kol	materiál	způsob tepelného zpracování	pevnost jádra /kP/mm <sup>2</sup> /	tvrdost boků z. HM30	obv. síla P/kP/	kritické hertz tlak pH /kP/mm/	namáhání hl.nap. $\sigma_{\text{h}}^{\text{--}}$ - 2 /kP/mm /	při 10 <sup>8</sup> cyklech	teplota oleje /°C/
K <sub>1</sub>	12020	norm. žíhaní	47,2	130	49	35,7	20,3	19,3	32
K <sub>2</sub>	12020	norm. žíh + karb. ponamu ochlazene	45,8	398 1422 zj	64	40,8	23,2	24,1	44
K <sub>3</sub>	12020	n. žíh.+ karben. rychle ochlaz.	47,3	442 1388 zj	144	61,5	34,8	35,2	42
K <sub>4</sub>	14140	zušlecht.+ karben. ponamu ochlaz.	73,5	603 1061 zj	185	70,00	39,44	40,4	42
K <sub>5</sub>	14140	zušlecht.+ karben. rychle ochlaz.	74,6	467 1413 zj	380	102,7	58,0	58,7	47
K <sub>6</sub>	12020	n. žíh. + karben. ponamu ochlaz.	75	842 (HV 0,1)	334 222 zj	46,8 39	26,46 22,05	28,08 5)	75
K <sub>7</sub>	12060	zušlecht.+ karben. ponamý ochlaz.	82	710 (HV 0,1)	334 222 zj	46,8 39	26,46 22,05	32,50 5)	65
K <sub>8</sub>	12060	zušlecht. + karben. ponamu ochlaz.	90	629 (HV 0,1)	334 222 zj	46,8 39	26,46 22,05	31,2 5)	63

1) hodnoty při oxyd. vrstvě

2) hodnoty v konkrétní vrstvě

3) hodnoty při výkusu 30 k

4) hodnoty při výkusu 20 k

5) hodnoty při 5,4 . 10<sup>8</sup> cyklech

Tabulka 5.5 (pekračování)

Přehled výsledků běhových zkoušek ozubených kol

označ. skup. kol	materiál	způsob tepelného zpracování	pevnost jádra 2 /kp/mm <sup>2</sup> /	tvrdost bokù z. HM30	øhv. síla Pø/kp/	Hertz tlak η <sub>2</sub> /kp/mm <sup>2</sup> /	kritické namáhání nři 10 <sup>8</sup> cyklov.	te- /ø/ /kp/mm <sup>2</sup> /
N <sub>1</sub>	15330	zušlecht.+nitru.	750	79	808 (856)	146 (150)	81,78 (84,68)	87,5
N <sub>2</sub>	15330	zušlecht.+nitru.	750	80	856	150	84,68	81,37
N <sub>3</sub>	15330	zušlechtění	270	89	184 (184)	70 (70)	39,44 (39,44)	39,2
N <sub>4</sub>	15230	zušlecht.+nitrid	750	82	856	150	84,68	87,55
N <sub>6</sub>	14223	zušlecht.+nitrid	700	80	376 (250)	110 (89,6)	54,7 (44,5)	-
N <sub>7</sub>	12020	norm.žíh.+nitrid	660	75	376 (250)	110 (89,6)	54,7 (44,5)	-
C <sub>1</sub>	14220	cementováno	750	97	856	150	84,68	79,4
C <sub>2</sub>	14223	cementováno	710	100	334 (222)	46,8 (39)	26,06 (22,05)	-

1) hodnoty v závorkách - kritické namáhání nři 2.10<sup>7</sup> cykloch

2) hodnoty při výkusu 30 k

3) hodnoty při výkusu 20 k

tabulka 5.6

Přehled složení karbenitridovaných vrstev u jednotlivých skupin kůl

skupina kůl cel zpracování	vrstva karbenitr.			tlušť. vrstvy C - N	hleu průa N(l)
	celková tlušť.	tlušťka kompakt. vrstvy	max.ebs. N v nov- vrstv.		
	[μm]	[μm]	%	[μm]	[μm]
12020, nerm. žíh. karbenitridováno pomalu ochlazováno	6 - 41	2 - 21	4,94	5 - 16	800
12020, nerm. žíh. karbenitridováno rychle ochlazováno	8 - 53	1 - 26	4,68	5 - 16	800
14140, zušlechtěno karbenitridováno pomalu ochlazováno	7 - 15	1 - 4	3,42	0	590
14140, zušlechtěno karbenitridováno rychle ochlazováno	24 - 74	4 - 17	5,35	10-17,5	1000
12020, nerm. žíháno karbenitridováno pomalu ochlazováno	58	39	-	-	-
12060, zušlechtěno karbenitridováno pomalu ochlazováno	70	35	-	-	-
12060, zušlechtěno karbenitridováno pomalu ochlazováno	50	29	-	-	-

(1) - de hleubky s obsahem dusíku větším než 0,05 %

## Obsah

	str.
1. Úvod . . . . .	2
2. Kontaktní namáhání na zubech ozubených kol . . . . .	7
2.1. Skluz na profilech zubů ozubených kol . . . . .	7
2.2. Skluzová a valivá rychlosť ozubených kol . . . . .	10
2.3. Tření a koeficient tření na zubech ozubených kol . . . . .	16
2.4. Faktory ovlivňující koeficient tření na zubech ozubených kol . . . . .	26
2.5. Zatížení a síly na zubech ozubených kol . . . . .	30
2.6. Typy poškození zubů ozubených kol . . . . .	44
2.7. Výpočet kontaktní pevnosti ozubených kol . . . . .	47
3. Výpočet kontaktní pevnosti tvrzených ozubených kol . . . . .	59
3.1. Kontaktní namáhání . . . . .	59
3.2. Kontaktní namáhání a požadavky na tloušťku vrstvy . . . . .	62
3.3. Kritérium k posuzení kontaktní únosnosti . . . . .	65
4. Základní teorie o nevrchovém tvrzení ozubených kol chemickotepelným zpracováním . . . . .	67
4.1. Sycení nevrchu oceli uhlíkem a dusíkem při chemickotepelném zpracování . . . . .	67
5./ Výsledky běhových zkoušek nevrchově tvrzených ozubených kol . . . . .	107
5.1. Zkušební zařízení . . . . .	107

5.2.	Mazání zkoušených ozubených kol . . . . .	107
5.3.	Způsob zkoušení ozubených kol . . . . .	108
5.4.	Zkušební kola . . . . .	108
5.5.	Výsledky běhových zkoušek . . . . .	113
5.6.	Zhodnocení výsledků běhových zkoušek s ohledem na výpočetové podklady ozubení . .	124
5.7.	Zhodnocení faktorů ovlivňujících kontaktní únavovou pevnost tvrzených ozubených kol .	125
6.	Závěr . . . . .	126
	Obrázková část . . . . .	128
	Tabulková část . . . . .	167
	Obsah . . . . .	183
	Seznam neužité literatury . . . . .	185

## Literatura

- /1/ Linhart, V.: Únosnost ozubených kol nízkoteplotně karbenitridovaných v plynu. Zpráva SVÚM, Z-70-2360.
- /2/ Přenesil, B.: Výzkum nízkoteplotního karbenitridování konstrukčních ocelí a slitin. Zpráva SVÚM, Z-68-2096.
- /3/ Niemann, G. - Rettig, H.: Weinichtrierte Zahneräder. VDI-Z, 102, 1960, s. 193-202.
- /4/ Rettig, H.: Nitrieren in Getriebebau. Konstruktion, 18, 1966
- /5/ Linhart, V.: Nitridovaná ozubená kola a jejich únosnost. Strojírenství 19, č. 8, 1969, str. 501 - 508
- /6/ Meduna, O. - Beneš, Š.: Únosnost povrchově kalených ozubených kol v stlačení. Sborník vědeckých prací, VŠST. Liberec, 1972
- /7/ Klementjěv, M.N.: Koeficient trenija kak funkcija teploty kontakta. "Vestnik mašinostrejenija", 1962. 42, č. 10, s. 43 - 45.
- /8/ Keteva, F. - Kečina, I.: Teorija mehanizmov i mašin. Moskva 1949
- /9/ Trubim, T., G.: Kontaktajaja ustanova zubev prijameugelnykh šestěren. Moskva, 1950.
- /10/ Zablenskij, K.J.: Respredelenije nagruski po kontaktnym linijam zaceplenija Zubčatych peredač, "Vestnik mašinostrejenija", 1969, 49, č. 8, s. 24 - 29.
- /11/ Rešetov, M.D.: Detali mašin. Moskva, 1961

- /12/ Meduna, O.: Vybrané statí z částí strøjů II. SNTL, Praha, 1965.
- /13/ Beleš, A.: Části strøjů II. SNTL Praha, 1963
- /14/ Camerøn, A.: The principles of Lubrication. Londen, 1966.
- /15/ Glaubic, H.: Die zwackmässige Einhärtungstiefe bei oberflächengehärteten Getriebetägnen. "Z. VDI", 1958, 100, č. 6. s- 216 - 226
- /16/ Rechter, W.: Dr FZG - Pittig - Test zur Ermittlung der Zahnflanken, Tragfähigkeit. Konstruktion, 1960
- /17/ Přenosil, B.: Nitrocementace. SNTL, Praha 1964
- /18/ Grubin, A.N.: Kontaktneje napraženija zubčatych i čerbjačnych zaceplenijach. = Im: Issledovaniye kontakta dětalej mašin. Moskva 1949,
- /19/ Levanov, V.L. & Kudrjacev, V.N.: Izgibnaja vinoslivost zubčatych keles podvergautych rezličnym uprečněníjem. Vestnik Mašinestrojenija č. 3, 1968